

รายงานวิจัยฉบับสมบูรณ์

โครงการ การหล่อแข็งกากตะกอนโลหะหนักโดยการกระตุ้น เถ้าแกลบดำด้วยสารเคมีและความร้อน

โดย รศ.ดร.สุวิมล อัศวพิสิษฐ และคณะ

31 พฤศจิกายน 2548

บทคัดย่อ

งานวิจัยนี้ศึกษาการหล่อแข็งกากตะกอนโลหะหนัก โดยใช้เถ้าแกลบดำผสมปูนขาวเป็น วัสดุยึดประสาน ในสภาวะที่มีและไม่มีการกระตุ้นปฏิกิริยาของวัสดุยึดประสานด้วยโซเดียมซิลิ เกต ความร้อน และ โซเคียมซิลิเกตร่วมกับความร้อน โดยทำการแปรเปลี่ยนอัตราส่วนระหว่างเถ้า แกลบดำและปูนขาวที่ 45:55, 50:50, 55:45 และ 60:40 พบว่า อัตราส่วนระหว่างเถ้าแกลบดำและ ปูนขาวที่ 55:45 มีอัตราการพัฒนากำลังอัดสูงกว่าอัตราส่วนอื่นๆ เมื่อนำเถ้าแกลบดำและปูนขาวที่ 55:45 มาทำการกระตุ้นปฏิกิริยาด้วยโซเดียมซิลิเกต และความร้อน พบว่า เถ้าแกลบดำและปนขาว ที่กระตุ้นปฏิกิริยาด้วยโซเดียมซิลิเกตที่ Alkali Modulus 3.0 ในปริมาณร้อยละ 1.5 ที่กระตุ้น ปฏิกิริยาด้วยการบ่มที่อุณหภูมิ 50 °ซ และที่กระตุ้นปฏิกิริยาด้วยโซเดียมซิลิเกตที่ Alkali Modulus 3.0 ในปริมาณร้อยละ 1.5 ร่วมกับการบ่มที่อุณหภูมิ 50 °ซ มีการพัฒนากำลังอัดในระยะแรกสูง (7 วัน) เมื่อทำการเติมกากตะกอนโลหะหนักลงในก้อนหล่อแข็งในปริมาณร้อยละ 10, 30 และ 50 โดยน้ำหนัก พบว่า ก้อนหล่อแข็งของเสียสามารถรองรับกากตะกอน โลหะหนัก ได้ถึงร้อยละ 50 โดยมีค่ากำลังรับแรงอัดที่ 28 วัน ผ่านเกณฑ์มาตรฐานการฝังกลบอย่างปลอดภัย ความเข้มข้นของ ตะกั่ว โครเมียม สังกะสี แคคเมียม เหล็ก ทองแคง และนิเกิลในน้ำสกัด TCLP มาตรฐานที่กำหนดไว้ ยกเว้นก้อนหล่อแข็งของเสียที่ไม่มีการกระตุ้นปฏิกิริยา ที่ผสมกากตะกอน โลหะหนักร้อยละ 50 โดยน้ำหนักของวัสคุยึดประสานที่มีความเข้มข้นของโครเมียมสูงกว่าค่าที่ กำหนดไว้

คำสำคัญ : เถ้าแกลบคำ / โซเคียมซิลิเกต / กากตะกอน โลหะหนัก / กำลังอัด / การรั่วไหล

Abstract

This research work investigated the solidification of heavy metal sludge using black rice

husk ash and hydrated lime with and without sodium silicate, thermal and co-activation between

sodium silicate and thermal. The proportions between black rice husk ash and hydrated lime of

45:55, 50:50, 55:45 and 60:40 were studied. The results showed that a higher rate of strength

development was found from black rice husk ash and hydrated lime at the ratio of 55:45. The

black rice husk ash and hydrated lime at the ratio of 55:45 was then activated with sodium

silicate and thermal. It was found that black rice husk ash and hydrated lime activated with

Alkali Modulus 3.0 sodium silicate at 1.5 wt. %, curing at 50°C for 24 hrs and co-activation

using Alkali Modulus 3.0 sodium silicate at 1.5 wt. % and curing at 50°C for 24 hrs gave high

early compressive strength (7 days). The heavy metal sludge was then added to the above three

mixes at 10, 30 and 50 wt. %. It was found that heavy metal sludge could be loaded to black rice

husk ash and hydrated lime as much as 50 wt.% and have a 28 day compressive strength that

meets the standard criteria for landfilling. Concentrations of Pb, Cr, Zn, Cd, Fe, Cu and Ni in

TCLP leachates were lower than the regulatory limit. However, concentration of Cr in TCLP

leachate from the solidified waste containing 50 wt. % heavy metal sludge and with no sodium

silicate and thermal activation exceed that regulated by Ministry of industry.

Keywords: Black Rice Husk Ash / Sodium Silicate / Heavy Metal Sludge / Strength / Leaching

ข

บทสรุปย่อผู้บริหาร

ของเสียที่ปนเปื้อนด้วยโลหะหนักจัดเป็นของเสียอันตราย ซึ่งมีสัดส่วนประมาณ 60% ของ ของเสียอันตรายทั้งหมดที่เกิดขึ้นจากภาคอุตสาหกรรม ความเป็นพิษของโลหะหนักเหล่านี้ไม่ สามารถทำลายฤทธิ์ได้ด้วยวิธีทางเคมี ชีวภาพ หรือ ความร้อน แต่สามารถลดความเป็นพิษได้โดย การปรับสภาพความเป็นกรดค่างของน้ำเสียให้อยู่ในช่วงพีเอช 8 – 11 เพื่อเปลี่ยนรูปโลหะหนัก เหล่านี้ให้อยู่ในรูปโลหะใฮครอกไซค์ซึ่งมีความสามารถในการละลายต่ำมาก อย่างไรก็ดีกาก ตะกอนโลหะไฮครอกไซค์เหล่านี้หากถูกทิ้งหรือฝังกลบโดยไม่ได้รับการบำบัคอย่างถูกวิธี สามารถเกิดผลกระทบทั้งต่อสุขภาพอนามัยของประชาชนและสิ่งแวคล้อม

โดยทั่วไปการบำบัดกากตะกอนโลหะหนักเหล่านี้มักใช้วิธีทำเป็นก้อนแข็ง โดยการเติมสารที่ มีสมบัติในการยึดประสาน ได้แก่ ปูนซีเมนต์ปอร์ตแลนด์ แต่เนื่องจากวิกฤตในเรื่องของพลังงาน ทำให้ค่าใช้จ่ายในการบำบัดสูงขึ้น การนำเถ้าแกลบคำซึ่งเป็นกากของเสียจากภาคเกษตรกรรมมา ใช้เป็นวัสดุยึดประสานร่วมกับปูนขาวจึงเป็นทางเลือกที่น่าสนใจ แต่เนื่องจากปฏิกิริยาระหว่างเถ้า แกลบคำและปูนขาวเกิดช้าเมื่อเทียบกับปูนซีเมนต์ปอร์ตแลนด์ ทำให้ไม่สามารถเคลื่อนย้ายก้อน หล่อแข็งของเสียไปทำการฝังกลบได้ในเวลาที่รวดเร็ว

งานวิจัยนี้แสดงให้เห็นว่าเถ้าแกลบดำสามารถนำมาใช้เป็นวัสดุยึดประสานร่วมกับปูนขาวใน การหล่อแข็งกากตะกอนโลหะหนักได้ โดยใช้เถ้าแกลบดำและปูนขาวที่อัตราส่วน 55:45 และ กระตุ้นปฏิกิริยาปอสโซลานด้วยโซเดียมซิลิเกตที่ Alkali Modulus 3.0 ในปริมาณร้อยละ 1.5 โดย ปริมาตรต่อน้ำหนักของวัสดุยึดประสาน ร่วมกับการบ่มที่อุณหภูมิ 50 ° ซ เป็นเวลา 1 วัน หลังจาก นั้นนำมาบ่มต่อที่อุณหภูมิห้อง พบว่าสามารถรองรับกากตะกอนโลหะหนักได้สูงถึง 50 โดย น้ำหนัก โดยกำลังรับแรงอัดของก้อนหล่อแข็งของเสีย และปริมาณโลหะหนักที่ถูกชะล้างจาก ก้อนหล่อแข็งของเสียเป็นไปตามเกณฑ์มาตรฐานสำหรับการฝังกลบของกรมโรงงานอุตสาหกรรม

สารบัญ

	หน้า
บทคัดย่อ	กิ
Abstract	ข
บทสรุปผู้บริหาร	ค
สารบัญ	9
รายการตาราง	ฉ
รายการรูปประกอบ	ு
1. บทน้ำ	1
1.1 ความเป็นมาและความสำคัญของโครงการ	1
1.2 วัตถุประสงค์ของโครงการ	2
2. ทฤษฎีและงานวิจัยที่เกี่ยวข้อง	2
2.1 การทำเสถียรและการหล่อแข็ง	2
2.2 สมบัติของวัสคุยึคประสาน	8
2.2.1 ปูนขาว (Lime)	8
2.2.2 วัสคุปอชโซลาน (Pozzolanic Material)	11
2.3 ปฏิกิริยาของวัสคุปอชโซลาน	14
2.3.1 การเกิดปฏิกิริยาปอซโซลาน	14
2.3.2 กระบวนการกระตุ้นปฏิกิริยาปอซโซลาน	15
2.4 โลหะหนัก	16
2.5 การตรึงโลหะหนักของแคลเซียมซิลิเกตไฮเครต	18
2.6 การตกตะกอนทางเคมี	19
2.7 การชะละลาย (Leaching)	21
2.7.1 กลไกการชะละลาย	22
2.7.2 การวัดความสามารถในการชะละลาย	23
2.8 งานวิจัยที่เกี่ยวข้อง	24
3. วิธีการดำเนินงานวิจัย	27
3.1 ขั้นตอนการเตรียมวัสคุ	27
3.1.1 การเตรียมเถ้าแกลบคำ	27
3.1.2 การเตรียมสารกระตุ้นปฏิกิริยา	29
3.1.3 การเตรียมกากตะกอน โลหะหนัก	29

สารบัญ

	หน้า
3.2 การเตรียมตัวอย่างและการทดสอบ	30
3.2.1 การหาปริมาณน้ำที่เหมาะสมของแต่ละอัตราส่วนผสมของก้อนหล่อแข็ง	30
3.2.2 การหาอัตราส่วนที่เหมาะสมระหว่างเถ้าแกลบคำกับปูนขาว	30
3.2.3 ผลการศึกษากำลังรับแรงอัดของก้อนหล่อแข็งที่มีการกระตุ้นปฏิกิริยา	32
ด้วยสารเคมี ความร้อน และสารเคมีร่วมกับความร้อน	
3.2.4 ผลการศึกษากำลังรับแรงอัดของก้อนหล่อแข็งของเสียที่มีการกระตุ้น	43
ปฏิกิริยาด้วยสารเคมี ความร้อน และสารเคมีร่วมกับความร้อน	
3.2.5 ผลการทคสอบการรั่วใหลของโลหะหนักจากก้อนหล่อแข็งของเสีย	48
4. สรุปผลการศึกษา	51
4.1 การหาอัตราส่วนที่เหมาะสมระหว่างเถ้าแกลบคำ ปูนขาว และสภาวะที่	51
กระตุ้นปฏิกิริยาปอซโซลาน	
4.2 ความสามารถในการรับแรงอัดของก้อนหล่อแข็งของเสีย	51
4.3 ผลการทคสอบการรั่วใหลของโลหะหนักจากก้อนหล่อแข็งของเสีย	51
4. ข้อเสนอแนะ	52
5. เอกสารอ้างอิง	53
ภาคผนวก	
ภาคผนวก ก. การเตรียมสารเคมีและวิธีการทคลอง	56
ภาคผนวก ข. ความสามารถกำลังรับแรงอัดของก้อนหล่อแข็งของเสีย	62
ภาคผนวก ค. งานวิจัยที่จะตีพิมพ์	78

รายการตาราง

ตาราง	ที่	หน้า
1	สมบัติของปูนสุกและ ปูนขาว	9
2	สมบัติของปูนขาวบริสุทธิ์	9
3	สมบัติของผลิตภัณฑ์ปูนขาวที่ใช้ในวงการอุตสาหกรรม	10
4	แสคงรายละเอียดของสมบัติและสารประกอบของปูนขาวแต่ละชนิด	11
5	แสคงองค์ประกอบทางเคมีของขี้เถ้าแกลบ	13
6	ส่วนประกอบของเถ้าแกลบคำที่วิเคราะห์ด้วยเครื่อง XRF	28
7	ผลการทคสอบคัชนีกำลัง	29
8	ความเข้มข้นของโลหะหนักในกากตะกอน(กรัม / กก. กากตะกอนแห้ง)	30
9	ปริมาณน้ำที่เหมาะสมที่ได้จากการทดสอบความข้นเหลวปกติ	31
10	ความเข้มข้นของโลหะหนักในน้ำสกัดด้วยวิธี TCLP	50
ข.1	ค่ากำลังรับแรงอัดของก้อนหล่อแข็งที่มีการแปรเปลี่ยนอัตราส่วนระหว่างเถ้าแกลบคำ	63
	: ปูนขาวที่ 45:55, 50:50, 55:45 และ 60:40 ที่อายุ 7, 14, 28 และ 56 วัน	
ข.2	ค่ากำลังรับแรงอัคของก้อนหล่อแข็งที่อัตราส่วนระหว่างเถ้าแกลบคำ:ปูนขาวที่ 55:45	64
	ในสภาวะที่มีการกระตุ้นปฏิกิริยาด้วยโซเดียมซิลิเกต ที่Alkali Modulus 1.0	
ข.3	ค่ากำลังรับแรงอัคของก้อนหล่อแข็งที่อัตราส่วนระหว่างเถ้าแกลบคำ:ปูนขาวที่ 55:45	65
	ในสภาวะที่มีการกระตุ้นปฏิกิริยาด้วยโซเดียมซิลิเกต ที่Alkali Modulus 2.0	
ข.4	ค่ากำลังรับแรงอัดของก้อนหล่อแข็งที่อัตราส่วนระหว่างเถ้าแกลบคำ:ปูนขาวที่ 55:45	66
	ในสภาวะที่มีการกระตุ้นปฏิกิริยาด้วยโซเดียมซิลิเกต ที่Alkali Modulus 3.0	
ข.5	ค่ากำลังรับแรงอัคของก้อนหล่อแข็งของเสียที่อัตราส่วนระหว่างเถ้าแกลบคำ:ปูนขาว	67
	ที่ 55:45 ในสภาวะที่มีการกระตุ้นปฏิกิริยาด้วยโซเดียมซิลิเกต ที่Alkali Modulus 3.0	
	ปริมาณร้อยละ 1.5 โคยปริมาตรต่อน้ำหนักวัสคุยึคประสาน	
ข.6	ค่ากำลังรับแรงอัคของก้อนหล่อแข็งของเสียที่อัตราส่วนระหว่างเถ้าแกลบคำ:ปูนขาว	68
	ที่ 55:45 ในสภาวะที่มีการกระตุ้นปฏิกิริยาด้วยความร้อนที่อุณหภูมิห้อง	
ข.7	ค่ากำลังรับแรงอัคของก้อนหล่อแข็งของเสียที่อัตราส่วนระหว่างเถ้าแกลบคำ:ปูนขาว	69
	ที่ 55:45 ในสภาวะที่มีการกระตุ้นปฏิกิริยาด้วยความร้อนที่อุณหภูมิ 40 °ซ	
ข.8	ค่ากำลังรับแรงอัดของก้อนหล่อแข็งของเสียที่อัตราส่วนระหว่างเถ้าแกลบคำ:ปูนขาว	70
	ที่ 55:45 ในสภาวะที่มีการกระตุ้นปฏิกิริยาด้วยความร้อนที่อุณหภูมิ 50 °ซ	
ข.9	ค่ากำลังรับแรงอัดของก้อนหล่อแข็งของเสียที่อัตราส่วนระหว่างเถ้าแกลบคำ:ปูนขาว	71
	ที่ 55:45 ในสภาวะที่มีการกระตุ้นปฏิกิริยาด้วยโซเดียมซิลิเกต ที่Alkali Modulus 1.0	
	และที่อุณหภูมิ 40 °ซ	

รายการตาราง (ต่อ)

ตารา	ง หน้า	
ข.10	ค่ากำลังรับแรงอัดของก้อนหล่อแข็งของเสียที่อัตราส่วนระหว่างเถ้าแกลบคำ:ปูนขาว	72
	ที่ 55:45 ในสภาวะที่มีการกระตุ้นปฏิกิริยาด้วยโซเดียมซิลิเกต ที่Alkali Modulus 1.0	
	และที่อุณหภูมิ 50 °ซ	
ข.11	ค่ากำลังรับแรงอัดของก้อนหล่อแข็งของเสียที่อัตราส่วนระหว่างเถ้าแกลบคำ:ปูนขาว	73
	ที่ 55:45 ในสภาวะที่มีการกระตุ้นปฏิกิริยาด้วยโซเดียมซิลิเกต ที่Alkali Modulus 2.0	
	และที่อุณหภูมิ 40 °ซ	
ข.12	ค่ากำลังรับแรงอัคของก้อนหล่อแข็งของเสียที่อัตราส่วนระหว่างเถ้าแกลบคำ:ปูนขาว	74
	ที่ 55:45 ในสภาวะที่มีการกระตุ้นปฏิกิริยาด้วยโซเดียมซิลิเกต ที่Alkali Modulus 2.0	
	และที่อุณหภูมิ 50 °ซ	
ข.13	ค่ากำลังรับแรงอัคของก้อนหล่อแข็งของเสียที่อัตราส่วนระหว่างเถ้าแกลบคำ:ปูนขาว	75
	ที่ 55:45 ในสภาวะที่มีการกระตุ้นปฏิกิริยาด้วยโซเดียมซิลิเกต ที่Alkali Modulus 3.0	
	และที่อุณหภูมิ 40 °ซ	
ข.14	ค่ากำลังรับแรงอัคของก้อนหล่อแข็งของเสียที่อัตราส่วนระหว่างเถ้าแกลบคำ:ปูนขาว	76
	ที่ 55:45 ในสภาวะที่มีการกระตุ้นปฏิกิริยาด้วยโซเดียมซิลิเกต ที่Alkali Modulus 3.0	
	และที่อุณหภูมิ 50 °ซ	
ข.15	ค่ากำลังรับแรงอัคของก้อนหล่อแข็งของเสียที่อัตราส่วนระหว่างเถ้าแกลบคำ:ปูนขาว	77
	ที่ 55:45 ในสภาวะที่มีการกระตุ้นปฏิกิริยาด้วยโซเดียมซิลิเกต ที่Alkali Modulus 3.0	
	ในปริมาณร้อยละ 1.5 โดยปริมาตรต่อน้ำหนักวัสคุยึดประสาน และที่อุณหภูมิ 50°ซ	

รายการรูปประกอบ

รูปที่		หน้า
1	ผลกระทบของอุณหภูมิที่มีต่อกำลังรับแรงอัด	16
2	อุณหภูมิของการเกิดปฏิกิริยาไฮเดรชั่น เมื่อใช้สารเคมีในการกระตุ้นที่แตกต่างกัน	17
3	ความสัมพันธ์ระหว่างความสามารถในการละลายของโลหะไฮดรอกไซด์กับค่า pH	20
4	ความสัมพันธ์ระหว่างค่าความเข้มข้นของโลหะใฮครอกใชค์ในสารละลายกับค่า pH	21
5	วิเคราะห์โครงสร้างผลึกของซิลิกอนไดออกไซด์โดย X-Ray Diffraction	27
6	การพัฒนากำลังรับแรงอัดของก้อนหล่อแข็งระหว่างเถ้าแกลบดำและปูนขาว	31
7	การพัฒนากำลังรับแรงอัดของก้อนหล่อแข็งที่กระตุ้นปฏิกิริยาด้วยโซเดียมซิลิเกต	36
	ที่อุณหภูมิห้อง	
8	การพัฒนากำลังรับแรงอัดของก้อนหล่อแข็งที่บ่มที่อุณหภูมิต่างๆ	37
9	การพัฒนากำลังรับแรงอัดของก้อนหล่อแข็งที่กระตุ้นปฏิกิริยาด้วยโซเดียมซิลิเกต	16
	ที่ Alkali Modulus 1.0	
10	การพัฒนากำลังรับแรงอัดของก้อนหล่อแข็งที่กระตุ้นปฏิกิริยาด้วยโซเดียมซิลิเกต	17
	ที่ Alkali Modulus 2.0	
11	การพัฒนากำลังรับแรงอัดของก้อนหล่อแข็งที่กระตุ้นปฏิกิริยาด้วยโซเดียมซิลิเกต	18
	ที่ Alkali Modulus 3.0	
12	การพัฒนากำลังรับแรงอัคของก้อนหล่อแข็งที่มีปริมาณกากตะกอนโลหะหนัก	20

1. บทน้ำ

1.1 ความเป็นมาและความสำคัญของโครงการ

ประเทศไทยเป็นประเทศกำลังพัฒนา จึงต้องมีการพัฒนาทางด้านต่างๆ โดยเฉพาะ ทางด้านอุตสาหกรรม ซึ่งในกระบวนการผลิตจะก่อให้เกิดของเสียขึ้น รวมทั้งของเสียอันตรายด้วย ของเสียอันตรายที่เกิดขึ้นประมาณ 60 % เป็นของเสียที่ปนเปื้อนด้วยโลหะหนัก ของเสียที่ปนเปื้อน ด้วยโลหะหนักเหล่านี้จัดเป็นประเภทของเสียอันตรายที่มีความเป็นพิษและมักพบอยู่จำนวนมาก ในน้ำทิ้งจากโรงงานอุตสาหกรรมประเภทชุบผิวโลหะ อุตสาหกรรมผลิตแบตเตอรี่ อุตสาหกรรม ฟอกย้อม และอุตสาหกรรมสี เป็นต้น

ความเป็นพิษของโลหะหนักเหล่านี้ไม่สามารถทำลายฤทธิ์ได้ด้วยวิธีทางเคมี (ใช้สารเคมี ในการตกตะกอน), ชีวภาพ (ระบบบำบัดน้ำเสียต่างๆ) หรือ ความร้อน (การเผา) แต่สามารถลด ความเป็นพิษได้โดยการเปลี่ยนรูปให้อยู่ในรูปสารประกอบที่ไม่ละลายน้ำ โดยส่วนใหญ่จะใช้การ ปรับสภาพความเป็นกรดค่างของน้ำเสียให้อยู่ในช่วงพีเอช 8 – 11 ด้วยสารประเภทค่าง เพื่อ ตกตะกอนโลหะหนักเหล่านี้ให้อยู่ในรูปสารประกอบไฮดรอกไซด์ ซึ่งมีความสามารถในการ ละลายต่ำมาก กากตะกอนโลหะไฮดรอกไซด์เหล่านี้หากถูกทิ้งไว้หรือฝังกลบโดยไม่ได้รับการ บำบัดอย่างถูกวิธีจะสามารถเปลี่ยนกลับไปอยู่ในรูปละลายน้ำได้อีก เมื่อสภาพความเป็นกรดค่าง เปลี่ยนไป ทำให้โลหะหนักเกิดการปนเปื้อนดิน แหล่งน้ำผิวดิน แหล่งน้ำใต้ดิน หรืออาจจะถูกดูด ซับโดยพืช ซึ่งก็จะเข้าสู่ห่วงโซ่อาหาร ทำให้เกิดอันตรายต่อมนุษย์และสัตว์ต่างๆ

ในการบำบัดกากตะกอนโลหะหนักส่วนใหญ่จะใช้การหล่อแข็งซึ่งเป็นกระบวนการ บำบัดของเสียอันตรายโดยอาศัยตัวยึดประสาน เพื่อป้องกันการรั่วใหลของโลหะหนักสู่ สิ่งแวดล้อม สารที่เป็นตัวยึดประสานส่วนใหญ่ใช้ปูนซีเมนต์ปอร์ตแลนด์ธรรมดา เนื่องจากราคา ไม่แพง หาได้ง่าย และคุณภาพสม่ำเสมอ นอกจากนี้ยังสามารถนำวัสดุปอซโซลาน เช่น เถ้าแกลบ ฝุ่นซิลิก้า เถ้าลอยลิกในต์ และกากขี้เหล็ก มาผสมเพิ่มหรือใช้แทนปูนซีเมนต์เพื่อลดต้นทุนการ บำบัด และเพิ่มคุณภาพของก้อนหล่อแข็งของเสีย แต่การใช้วัสดุปอซโซลานเป็นตัวยึดประสาน นั้น ปฏิกิริยาที่เกิดขึ้นจะช้ามากทำให้การพัฒนากำลังอัดช้าด้วย

วัสคุปอซโซลานเป็นผลพลอยได้จากกระบวนการผลิตทางอุตสาหกรรมหรือเป็นกาก ของเสียจากภาคอุตสาหกรรม และเกษตรกรรม ที่มีองค์ประกอบหลักเป็นสารประกอบออกไซด์ ต่างๆ ได้แก่ ซิลิกอนไดออกไซด์ (SiO₂), อลูมิเนียมออกไซด์ (Al₂O₃), เฟอร์ริคออกไซด์ (Fe₂O₃), แคลเซียมออกไซด์ (CaO) และ แมกนิเซียมออกไซด์ (MgO) เป็นต้น วัสดุปอซโซลานเหล่านี้เมื่อ ทำปฏิกิริยากับน้ำจะไม่มีสมบัติในการยึดประสาน แต่เมื่อทำปฏิกิริยากับด่าง เช่น แคลเซียมไฮดร อกไซด์ จะให้ผลิตภัณฑ์ที่มีสมบัติในการยึดประสานคล้ายซีเมนต์ และสามารถพัฒนากำลังได้ แต่ การใช้วัสดุปอซโซลานก็มีข้อจำกัดคือ ปฏิกิริยาระหว่างแคลเซียมไฮดรอกไซด์และวัสดุปอซโซลาน เกิดค่อนข้างช้าที่อุณหภูมิห้อง ดังนั้นจึงต้องกระตุ้นปฏิกิริยาปอซโซลาน เพื่อให้อัตราการ พัฒนากำลังอัดในระยะแรกสูงขึ้น การกระตุ้นปฏิกิริยาปอซโซลานสามารถทำได้โดยการใช้ความ ร้อน หรือสารเคมี

ดังนั้นงานวิจัยนี้จึงทำการศึกษาการหล่อแข็งกากตะกอนโลหะหนักโดยใช้ปูนขาวและ เถ้าแกลบดำที่เกิดจากการใช้แกลบเป็นเชื้อเพลิงในการอบแห้งข้าวเปลือกเป็นวัสดุยึดประสาน โดยการแปรเปลี่ยนปริมาณกากตะกอนโลหะหนักในอัตราร้อยละ 10, 30 และ 50 และทำการ กระตุ้นปฏิกิริยาปอซโซลานระหว่างปูนขาวและเถ้าแกลบดำด้วยสารละลายโซเดียมซิลิเกต และความร้อน โดยสารละลายโซเดียมซิลิเกตที่ใช้จะแปรเปลี่ยนอัตราส่วนระหว่าง SiO₂/Na₂O ที่ 1, 2 และ 3 ในอัตราร้อยละ 0.5, 1.0 และ 1.5 และทำการบ่มก้อนหล่อแข็งของเสียที่อุณหภูมิห้อง, 40 ℃ และ 50 ℃ เพื่อจำลองอุณหภูมิที่เกิดขึ้นในระหว่างการฝังกลบก้อนหล่อแข็งของเสียใน แหล่งฝังกลบ จากนั้นจึงทำการทดสอบความสามารถในการรับกำลังอัดและการรั่วไหลของโลหะหนักจากก้อนหล่อแข็งของเสียด้วยวิธีทดสอบของกรมโรงงาน

1.2 วัตถุประสงค์ของโครงการ

- 1) ศึกษาผลของสารเคมีร่วมกับความร้อนต่อความสามารถในการรับแรงอัดของซีเมนต์ ผสมระหว่างเถ้าแกลบดำและปูนขาว
- 2) ศึกษาอิทธิพลของกากตะกอนโลหะหนักต่อคุณสมบัติของก้อนหล่อแข็งของเสียใน สภาวะที่มีการกระตุ้นด้วยสารเคมี ความร้อน และสารเคมีร่วมกับความร้อน

2 ทฤษฎีและงานวิจัยที่เกี่ยวข้อง

2.1 การทำเสถียรและการหล่อแข็ง [1, 2]

การทำเสถียร (Stabilization) เป็นกระบวนการบำบัดของเสียอันตราบเบื้องต้น โดยการเติม สารเคมีเพื่อทำลายฤทธิ์หรือลดความเป็นพิษของของเสียนั้น ทำให้ความสามารถในการละลาย ความสามารถในการแพร่กระจายสู่สิ่งแวดล้อม และความเป็นพิษของของเสียอันตรายลดลง การหล่อแข็ง (Solidification) เป็นกระบวนการบำบัดของเสียอันตรายทั้งที่อยู่ในรูปของเหลวหรือ ของเหลวกึ่งของแข็งกับตัวยึดประสาน ทำให้ของเสียอันตรายถูกเปลี่ยนสถานะไปเป็นของแข็งที่มี ความสามารถในการรับกำลังอัดสูงขึ้น ง่ายต่อการเคลื่อนย้าย ของเสียอันตรายจะถูกตรึงโดยการกัก (Encapsulation) อยู่ในโครงสร้างของตัวยึดประสานที่มีความสามารถในการรับแรงอัดสูง และมี ความสามารถในการซึมผ่านของน้ำ ต่ำ โดยไม่จำเป็นว่าจะต้องเกิดพันธะเคมีกับตัวยึดประสาน ทำให้พื้นที่ผิวสัมผัสระหว่างของเสียอันตรายกับสิ่งแวคล้อมลดลง และส่งผลให้อัตราการรั่วไหล ของ ของเสียอันตรายสู่สภาพแวคล้อมลดลง ทำให้มีความสามารถเคลื่อนย้ายหรือฝังกลบของเสีย อันตรายได้อย่างปลอดภัย เทคนิคการหล่อแข็งกากของเสียอันตราย เช่น

Cement-Based Techniques

การหล่อแข็งกากตะกอนที่ใช้ซีเมนต์เป็นตัวยึดประสาน โดยซีเมนต์เป็นของผสมระหว่าง แกลเซียม, ซิลิเกต, อลูมิเนียม และเหล็กออกไซด์ เมื่อผสมกับน้ำจะทำให้เกิดปฏิกิริยาไฮเดรชั่นได้ โครงสร้างแข็งคล้ายหิน และเพื่อเพิ่มสมบัติทางกายภาพและทางเคมีของการหล่อแข็ง ซึ่งจะช่วย ลดการรั่วไหลของโลหะจากก้อนหล่อแข็งได้ จึงเพิ่มสารที่มีสมบัติปอซโซลาน เช่น เถ้าลอย ลิกไนต์ และขี้เถ้าแกลบ ผสมร่วมกับซีเมนต์ซึ่งเหมาะสำหรับการหล่อแข็งกากตะกอนโลหะหนัก เนื่องจากส่วนผสมมีค่า pH สูง โลหะหนักที่อยู่ในส่วนผสมอยู่ในรูปของไฮดรอกไซด์หรือเกลือ การ์บอเนตที่ไม่ละลายน้ำ อิออนของโลหะอาจเข้าไปเกาะอยู่ในโครงสร้างของวัสดุยึดประสาน ส่วนการเกิดปฏิกิริยาของวัสดุยึดประสานทำให้ได้ผลิตภัณฑ์สุดท้ายที่มีความแข็งพอที่จะสามารถ นำไปทำการฝังกลบแบบปลอดภัยได้

ข้อดีของวิธี Cement-Based Techniques คือ วัตถุดิบที่ใช้ (ซีเมนต์) มีอยู่มากมาย และราคา ไม่แพงซีเมนต์มีสมบัติที่แน่นอน การผสมและการจัดการสามารถทำได้สะดวก เนื่องจากอุปกรณ์ที่ ใช้ในกระบวนการมีพร้อมอยู่แล้ว ไม่ต้องการผู้ชำนาญเป็นพิเศษ กากตะกอนที่ใช้ผสมไม่ต้องทำ ให้แห้ง หรือการเอาน้ำออก และซีเมนต์มีความด้านทานต่อการเปลี่ยนแปลงทางเคมี ความเป็นด่าง ของซีเมนต์สามารถทำให้กรดในของเสียเปลี่ยนสภาพเป็นกลางได้

ข้อเสียของวิธี Cement-Based Techniques คือ ต้องใช้ซีเมนต์ปริมาณมาก น้ำหนักสุดท้าย ของก้อนหล่อแข็งมากกว่าเทคนิคอื่นๆ ซีเมนต์ที่มีกำลังต่ำจะมีการรั่วไหลของของเสียอันตราย ออกมามาก เมื่ออยู่ในสภาพที่เป็นกรด และของเสียอันตรายบางชนิดเมื่อนำมาผสมจะทำให้การก่อ ตัวของซีเมนต์ช้าลง

Lime-Based Techniques

เป็นการหล่อแข็งโดยใช้ปูนขาวผสมกับกากตะกอนของเสีย และอาจเพิ่มสารผสมที่มี องค์ประกอบของซิลิก้า เช่น เถ้าลอยลิกในต์หรือขี้เถ้าแกลบ ผสมร่วมกับซีเมนต์ การแข็งตัวใช้ เวลานาน เหมาะที่จะใช้กับกากของเสียพวกสารอนินทรีย์มากกว่าพวกสารอินทรีย์ เนื่องจากกาก ของเสียพวกสารอินทรีย์เมื่อผ่านกรรมวิธีการกำจัดแล้ว ภายหลังการบ่มจะได้กากของเสียที่มีความ แข็งแรงลดลง และอาจมีการแพร่ซึมเพิ่มขึ้นได้ นอกจากการเติมปูนขาวโดยตรง แล้ววัสดุอื่นที่ สามารถใช้แทนปูนขาวได้ ทั้งยังมีสมบัติและกลไกการทำปฏิกิริยาใกล้เคียงกัน ได้แก่ ขี้เถ้าลอย เมื่อเปรียบเทียบกับการหล่อแข็งด้วย Cement-Based พบว่าก้อนหล่อแข็งที่ได้จาก Lime-Based ยอมให้น้ำซึมผ่านได้ดีกว่าและมีความสามารถในการรับแรงอัดได้น้อยกว่า

ข้อดีของวิธี Lime-Based Techniques คือ วัตถุคิบราคาไม่แพง และอุปกรณ์ที่ใช้หาได้ ทั่วไป การเกิดปฏิกิริยาของปูนขาว วัสคุปอซโซลานจะคล้ายกับปฏิกิริยาไฮเครชั่นของซีเมนต์ ซึ่ง สามารถพัฒนากำลังคัดได้

ข้อเสียของวิธี Lime-Based Techniques คือ ปูนขาว และสารเติมแต่งอื่นๆ จะไปเพิ่ม น้ำหนักของของเสียที่ถูกขนส่ง และการฝังกลบ การเกิดปฏิกิริยาระหว่างปูนขาวกับวัสดุปอซโซ ลาน เกิดขึ้นช้ำทำให้การแข็งตัวของก้อนหล่อแข็งเป็นไปได้ช้ำ

Pozzolan-Based Techniques

ปอชโซลานเป็นวัสดุที่ไม่ทำปฏิกิริยากับน้ำเหมือนปูนซีเมนต์ปอร์ตแลนด์ แต่จะทำ ปฏิกิริยาไฮเดรชั่นได้ถ้ามีปูนขาว เป็นสารตั้งต้นด้วย และจะให้ผลิตผลที่มีสมบัติในการยึด ประสานคล้ายซีเมนต์

ข้อดีของ Pozzolan-Based Techniques คือ ก้อนหล่อแข็งมีสมบัติการซึมน้ำได้ดีกว่าก้อน หล่อแข็งที่ใช้เทคนิคอื่นๆ มีน้ำหนักเบา และวัสดุปอชโซลานส่วนใหญ่ที่นำมาใช้เป็นของเหลือ จากการเกษตรซึ่งเป็นการลดของเสียจากการเกษตรกรรมได้

ข้อเสียของ Pozzolan-Based Techniques คือ ก้อนหล่อแข็งมีกำลังรับแรงอัดต่ำกว่าวิธีอื่นๆ

Thermoplastic Techniques

เป็นการหล่อแข็งกากตะกอนของเสียที่ใช้ บิทูเมน พาราฟิน หรือโพลีเอธิลีน ซึ่งเป็นสารโพลิ เมอร์ชนิดที่เป็นเทอร์โมพลาสติกผสมกับกากตะกอนของเสียที่แห้ง ณ อุณหภูมิสูงกว่า 100 °ซ จะ ทำให้ส่วนผสมหลอมเหลวเข้ากับกากตะกอน เมื่อปล่อยให้อุณหภูมิลดลงจึงได้ก้อนหล่อแข็งซึ่งมี สมบัติต้านทานต่อความชื้นได้ดี ปกติมักใช้กับสารกัมมันตรังสีไม่สามารถใช้กับสารอินทรีย์ หรือ สารออกซิไดซ์ที่รุนแรง เช่น ในเตรทเปอร์คลอเรต และเกลือแอนไฮดรัส

ข้อดีของวิธี Thermoplastic Techniques คือ อัตราการรั่วซึมของสารปนเปื้อนต่ำกว่า กระบวนการ Cement-Based หรือ Lime-Based ปริมาตรรวมของของเสียอาจจะลดลง เพราะว่า จำเป็นต้องเอาน้ำออกจากของเสียก่อนที่จะใช้เทคนิคเทอร์โมพลาสติก ก้อนหล่อแข็งมีความ ทนทานต่อสารละลาย ทำให้เกิดการสลายตัวด้วยจุลินทรีย์ต่ำ วัตถุดิบที่ใช้สามารถเอากลับมาใช้ ใหม่ได้น้ำหนักของก้อนหล่อแข็งที่ได้จะเบากว่าการใช้เทคนิค Cement-Based เพราะว่าน้ำหนัก ของเทอร์โมพลาสติกน้อย ทำให้ความหนาแน่นน้อยซึ่งช่วยลดค่าใช้จ่ายในการขนส่ง

ข้อเสียของวิธี Thermoplastic Techniques คือ อุปการณ์ที่ใช้มีราคาแพง และจำเป็นต้องใช้ ผู้ชำนาญพิเศษสำหรับกระบวนการ ไม่สามารถใช้กับสารที่สลายตัวที่อุณหภูมิสูง วัสดุเทอร์โม-พลาสติกติดไฟได้ เมื่ออยู่ใกล้บริเวณที่มีสารอินทรีย์พวกบิทูเมนที่อุณหภูมิสูง ระหว่างการให้ ความร้อน และสารผสมบางชนิดที่มีสารอินทรีย์ระเหยจะสามารถผลิตน้ำมัน และกลิ่น ซึ่งเป็น สาเหตุให้เกิดมลภาวะอากาศ กากตะกอนของเสียที่ใช้จะต้องทำให้แห้งก่อนนำมาผสมกับวัสดุ เทอร์โม-พลาสติก ทำให้ต้องการพลังงานในปริมาณมาก

Organic Polymer Techniques

เป็นการหล่อแข็งโดยการเติมสารอินทรีย์โมโนเมอร์ลงในกากตะกอนที่แห้งแล้วผสมให้เข้า กัน แล้วจึงเติมตัวเร่งปฏิกิริยา เพื่อให้เกิดการรวมตัวของโมโนเมอร์กลายเป็นโพลิเมอร์อยู่ในรูปของแข็งซึ่งมีความหนาแน่นต่ำ ของเสียจะถูกจับไว้ในโครงสร้างโพลิเมอร์ที่เกิดขึ้น ของเสียที่ นำมาหล่อแข็งด้วยวิธีนี้อาจอยู่ในรูปของแข็ง หรือกึ่งของแข็งก็ได้ ตัวอย่างโมโนเมอร์และตัวเร่งปฏิกิริยาที่ใช้ เช่น ยูเรียฟอร์มัลดีไฮด์, ไวนิลเอสเทอร์, สไตรีโพลิเมอร์ เป็นต้น โดยใช้กรดแก่เป็น ตัวเร่งปฏิกิริยา วิธีการนี้เหมาะสำหรับของเสียที่เป็นสารอินทรีย์ แต่ไม่เหมาะสำหรับของเสียที่ ปนเปื้อนด้วยโลหะ เนื่องจากโลหะละลายน้ำได้ดีในกรดแก่ซึ่งใช้เป็นตัวเร่งปฏิกิริยา ดังนั้นโลหะ บางส่วนอาจไม่ถูกจับไว้ในโครงสร้างของโพลิเมอร์ แต่ละลายปนออกมากับตัวเร่งปฏิกิริยาได้

ข้อดีของวิธี Organic Polymer Techniques คือ ใช้วัสดุในการตรึงน้อยกว่าเทคนิค Cement-Based และ Lime-Based ของเสียที่ใช้จะต้องเอาน้ำออก ไม่จำเป็นต้องแห้งสมบูรณ์ เนื่องจากโพลิ-เมอร์แข็งที่เสร็จแล้วจะต้องถูกทำให้แห้งก่อนกำจัด ก้อนหล่อแข็งที่ได้มีความ

หนาแน่นต่ำกว่าซีเมนต์ และสารหล่อแข็งพวกเรซินไม่ติดไฟและการทำเรซินไม่จำเป็นต้องใช้ อุณหภูมิสูง

ข้อเสียของวิธี Organic Polymer Techniques คือ ต้องใช้ตัวเร่งปฏิกิริยาที่ใช้ใน กระบวนการ Urea – Formaldehyde เป็นกรดแก่ ซึ่งทำให้โลหะส่วนใหญ่ละลายได้ที่ pH ต่ำ จึง สามารถปนออกมากับน้ำไม่ถูกจับไว้ระหว่างกระบวนการ Polymerization และตัวเร่งปฏิกิริยา อาจจะมีความสามารถกัดกร่อนสูง ทำให้ยังต้องการอุปกรณ์ผสม รีแอกเตอร์ ภาชนะบรรจุ เกิดการ ชำรุดเสียหาย และในการนำมาฝังกลบจำเป็นต้องบรรจุในถังเหล็กก่อนทิ้ง ทำให้เพิ่มค่าใช้จ่ายใน การขนส่ง

Encapsulation Techniques

เป็นการหล่อแข็งโดยทำให้กากตะกอนแห้งจับกันเป็นก้อน แล้วเคลือบด้วยสารโพลิเมอร์ สารที่ห่อหุ้มนี้มีความแข็งแรงทนทานต่อน้ำ และสภาพแวคล้อมได้ดี

ข้อดีของวิธี Encapsulation Techniques คือ ก้อนหล่อแข็งแยกจากสิ่งแวคล้อม และไม่ จำเป็นต้องใส่ภาชนะก่อนทิ้ง เพราะกากของเสียถูกหุ้มอย่างมิดชิด และเลื่อยต่อปฏิกิริยาเคมี

ข้อเสียของวิธี Encapsulation Techniques คือ วัสดุที่ใช้สำหรับห่อหุ้มมีราคาแพง ต้องการ พลังงานปริมาณมากสำหรับการทำให้แห้ง การหลอมตัวยึดประสานและการหล่อ วัสดุที่ใช้หุ้ม สามารถติดไฟได้ง่าย อุปกรณ์ที่ใช้ต้องมีความเฉพาะเจาะจงพิเศษ และต้องใช้คนที่ชำนาญเป็น พิเศษในการควบคุมอุปกรณ์การหล่อและการหลอม

Self-Cementing Techniques

ใช้กับกากของเสียที่มีการปนเปื้อนของซัลเฟต ซัลไฟค์ และมีสารแคลไซน์ 8 - 10 % ซึ่งทำ ให้เกิดผลิตภัณฑ์คล้ายปูนปลาสเตอร์

ข้อดีของวิธี Self-Cementing Techniques คือ ไม่ต้องเติมสารเติมแต่งตลอดกระบวนการ ระยะเวลาในการหล่อสั้นกว่าเมื่อเปรียบเทียบกับระบบ Cement-Based และ Lime-Based วิธีนี้ สามารถกักเก็บโลหะหนักได้อย่างมีประสิทธิภาพ ระบบนี้ไม่ต้องการของเสียที่แห้งสมบูรณ์ เนื่องจากการเกิดปฏิกิริยาไฮเดรชั่นต้องใช้น้ำ

ข้อเสียของวิธี Self-Cementing Techniques คือ ใช้ได้เฉพาะกากของเสียที่ปนเปื้อนซัลเฟต และ ซัลไฟท์สูง กากของเสียของกระบวนการนี้มีลักษณะการรั่วซึมเหมือนกับกระบวนการ Cement-Based และ Lime-Based ต้องการพลังงานสูงในการเกิดซีเมนต์ และต้องใช้ผู้ชำนาญพิเศษ ในการผสมของเสียกับสารเติมแต่ง

Glassification (Vitrification)

ใช้สำหรับการหล่อแข็งโดยใช้การตะกอนผสมกับซิลิก้า แล้วให้ความร้อนจนมีอุณหภูมิสูง ถึง 1350° ซ ทำให้เกิดการหลอมเหลว แล้วทำให้เย็นลงอย่างรวดเร็วจนเกิดเป็นโครงสร้างคล้ายแก้ว ซึ่งมีความคงตัวสูงมาก ของเสียอันตรายจะถูกจับอยู่ในรูปผลึกแก้วและไม่สามารถถูกชะออกมาสู่ สิ่งแวดล้อมภายนอกได้ วิธีการนี้ต้องใช้เครื่องมือที่มีเทคโนโลยีสูงและมีราคาแพง จึงใช้สำหรับ ของเสียที่มีความเป็นพิษสูงมากและสารกัมมันตรังสีที่มีระดับสูงมากเท่านั้น

ข้อดีของวิธี Glassification คือ ให้คุณภาพดี และสารเติมแต่งมีราคาถูก

ข้อเสียของวิธี Glassification คือ ต้องใช้พลังงานสูง เนื่องจากแก้วต้องถูกให้ความร้อนถึง 1350℃ เพื่อให้หลอมรวมกับของเสียสารประกอบบางชนิด โดยเฉพาะอย่างยิ่งโลหะอาจจะระเหย เนื่องจากอุณหภูมิสูงก่อนที่มันจะรวมกับซิลิกาที่หลอมในแก้ว และต้องใช้อุปกรณ์พิเศษ และ บุคลากรที่ได้รับการฝึกฝน

สำหรับกากของเสียอันตรายที่มีโลหะหนักปนเปื้อน นิยมใช้การหล่อแข็งด้วยวิธี Cement-Based, Lime-Based หรือ Thermoplastic and Organics Polymer Techniques แต่วิธีที่นิยมใช้กันมากที่สุดคือ Cement-Based Techniques ทั้งนี้เพราะ

- ต้นทุนถูกกว่า
- ไม่ต้องใช้เทคโนโลยีชั้นสูง
- ไม่ต้องการแรงงานที่ชำนาญการเฉพาะ
- ใช้เทคนิคการผสมสารเคมี (วัสคุยึดประสาน) ในกากของเสีย
- เหมาะสำหรับทำการหล่อแข็งของเสียอนินทรีย์ เช่น โลหะหนัก
- ซีเมนต์เมื่อทำปฏิกิริยากับน้ำ มีค่า pH ประมาณ 10 12 เพราะมีแคลเซียมไฮครอกไซค์ที่เกิด จากปฏิกิริยาไฮเครชั่น ส่วนโลหะที่ปนเปื้อนในกากของเสียอยู่ในรูปของโลหะไฮครอกไซค์ ซึ่งมี เสถียรภาพที่ค่า pH สูง
 - มีความต้านทานสภาพเป็นกรดได้ดี เนื่องจากธรรมชาติของก้อนหล่อแข็งมีความเป็นค่างสูง
 - ก้อนหล่อแข็งที่ได้สามารถนำไปกำจัดโดยการฝังกลบต่อไป

2.2 สมบัติของวัสดุยึดประสาน

2.2.1 ปูนขาว (Lime) [3]

ปูนขาวเป็นวัสดุก่อสร้างที่เก่าแก่ที่สุดที่มนุษย์สร้างขึ้น โดยนำมาเป็นวัสดุยึดประสานในการ ก่อสร้างอาคารหรือถนนมาตั้งแต่สมัยกรีก โรมัน และอียิปต์โบราณ โดยทั่วไปนิยามของปูนขาว คือ สารที่มีองค์ประกอบของออกไซค์และไฮครอกไซค์ ของแคลเซียมและแมกนีเซียม เป็น ผลผลิตที่ได้มาจากการเผาหินปูนที่มีชื่อทางเคมีว่า แคลเซียมคาร์บอเนต (CaCO₃) สามารถขุดพบ หินที่ใช้ผลิตปูนขาวได้ทั้งในสภาพที่บริสุทธิ์และไม่บริสุทธิ์ ปูนขาวสามารถแบ่งตามลักษณะทาง เคมีได้เป็น 2 ประเภท คือ ปูนสุก (Quick Lime) และ ปูนขาว (Hydrated Lime)

2.2.1.1 ปูนสุก (Quick Lime)

Quick Lime คือ ปูนขาวที่มี Calcium Oxide (CaO) เป็นส่วนประกอบหลักและมี Magnesium Oxide (MgO) เป็นส่วนประกอบรอง ปูนสุกสามารถจำแนกได้เป็น 2 ประเภท

- 1. High Calcium Quicklime (CaO)
- 2. Dolomitic Calcium Quicklime (CaO+MgO)

กรรมวิธีในการผลิตคือ การเผาหินปูนโดยใช้อุณหภูมิสูงเพื่อขจัดคาร์บอนไดออกไซด์ (CO₂) และน้ำที่มีอยู่ในหินปูนให้เหลือแต่ CaO ดังสมการ

$$CaCO_3 \xrightarrow{1650^{\circ} \text{ gs}} CaO + CO_2$$

จากสมการจะเห็นได้ว่า จะต้องใช้อุณหภูมิในการเผาหินปูนสูงถึง 1650°ฟ (900°ซ) จึงทำ ให้ หินปูน แตกตัวออกเป็น CaO และ ${
m CO_2}$ แต่ในบางครั้งอาจต้องใช้ อุณหภูมิสูงถึง 2000°ฟ (1100°ซ) เพื่อให้ Calcitic Limestone เกิดการแตกตัว

ส่วนกรรมวิธีที่ใช้ในการผลิต Dolomitic Quicklime คือ การเผา Dolomitic Quicklime ที่ อุณหภูมิ 1350°ฟ (750°ซ) ทำให้ได้ MgO และ ${\rm CO_2}$ แต่อาจจะต้องใช้อุณหภูมิสูงถึง 2000°ฟ (1100° ซ) เพื่อให้เกิดการแตกตัวของ ${\rm CO_2}$ ที่สมบูรณ์เต็มที่ ดังสมการ

$$CaMg(CO_3)_2 \xrightarrow{1350^{\circ} \Re} MgO + CaCO_3 + CO_2$$

$$MgO + CaCO_3 \xrightarrow{2000^{\circ} \Re} MgO + CaO + CO_2$$

ปูนสุกเมื่อผสมกับน้ำจะเกิดปฏิกิริยาอย่างรวดเร็ว ผลของปฏิกิริยาจะทำให้ปูนสุกแตกตัว ออกเป็นปูนขาว หรือ Slake Lime และมีความร้อนเกิดขึ้นดังสมการ

$$CaO + H_2O \longrightarrow Ca(OH)_2 + 65.3KJ/mol$$

ในกระบวนการผลิตนอกจากจะให้ความร้อนแล้ว ยังทำปริมาตรเพิ่มขึ้นอีก ซึ่งจากการ เปลี่ยนแปลงของปูนสุกเป็นปูนขาวทำให้สมบัติต่างๆ เปลี่ยนแปลงไป ดังแสดงในตารา<mark>งที่ 1</mark>

ตารางที่ 1 สมบัติของปูนสุกและ ปูนขาว [3]

Characteristic	Quick Lime	Water	Hydrate Lime
Molecular Weight	56	18	78
Specific Gravity	3.3	1	2.2
Relative Weight	1	0.32	1.32
Relative Volume	1	1	1.99

Herrin และ Mitchell ได้แสดงสมบัติของปูนขาวบริสุทธิ์ หรือตามทฤษฎี ดังแสดงใน ตารางที่ 2 และสมบัติของผลิตภัณฑ์ปูนขาวที่ใช้ในวงการอุตสาหกรรมดังแสดงในตารางที่ 3

ตารางที่ 2 สมบัติของปูนขาวบริสุทธิ์ [3]

PROPERTIES OF THE ORETICALLY PURE LIMES					
Characteristic	Quio	ck Lime	Hydrate Lime		
Chemical Name	Calcaim or Calcium Oxide	Magnesia or Magnesium Oxide	Calcium Hydroxide	Magnesium Hydroxide	
Chemical Formula	CaO	MgO	Ca(OH) ₂	$Mg(OH)_2$	
Crystalline From	Cubic	Cubic	Hexagonal	Hexagonal	
Melting Point	2570°F	2800°C	-	-	
Decomposition Point	-	-	580°C	345°C	
Boiling Point	2850°C	3600°C	-	-	
Heat of Solution at 18°C	+18.33 kg-cal	-	+2.79 kg-cal	+0.0 kg-cal	
Molecular Weight	56.09	40.32	74.10	58.34	
Specific Gravity	3.40	3.65	2.34	2.4	

ตารางที่ 3 สมบัติของผลิตภัณฑ์ปูนขาวที่ใช้ในวงการอุตสาหกรรม [3]

PROPERTIES OF THE ORETICALLY PURE LIMES			
(a) Quick Lime			
Chemical Composition	High Calcium (%)	Dolomitic (%)	
CaO	92.25-98.00	55.00-57.50	
MgO	0.30-2.50	37.60-40.80	
CO_2	0.40-1.50	0.40-1.50	
SiO ₂	0.20-1.50	0.10-1.50	
Fe ₂ O ₃	0.10-0.40	0.05-0.40	
Al_2O_3	0.10-0.50	0.05-0.50	
H ₂ O	0.10-0.90	0.10-0.90	
Specific Gravity	3.20-3.40	3.20-3.40	
Specific Heat at 100°F, Btu/lb	0.19	0.21	
Bulk Density (People Lime), pcf	55.00-60.00	55.00-60.00	

(b) Hydrate Lime

Characteristic	High	Monohydrate	Dihydrate	
Characteristic	Calcium	Dolomitic	Dolomitic	
Principle Chemical Composition	Ca(OH) ₂	Ca(OH) ₂ +MgO	Ca(OH) ₂ +Mg(OH) ₂	
Specific Gravity	2.30-2.40	2.70-2.90	2.40-2.60	
Specific Heat at 100°F, Btu/lb	0.29	0.29	0.29	
Bulk Density, pcf	25.00-35.00	25.00-35.00	30.00-40.00	

2.2.1.2 ปูนขาว (Hydrate Lime)

เมื่อปูนสุกรวมตัวกับน้ำให้เกิดปฏิกิริยา Hydrations กลายเป็นปูนขาวซึ่งจำแนกได้เป็น 3 ประเภท คือ

- 1. Hydrate high Calcium Lime, Ca(OH)₂
- 2. Normal hydrate or Monohydrate Dolomitic Lime, Ca(OH)₂+MgO
- 3. Predure Hydrate or Dihydrate Dolomitic Lime, Ca(OH)₂ + Mg(OH)₂
 ขนาดอนุภาคของปูนขาวจะมีขนาดเล็กมาก โดยทั่วไปจะมีขนาดประมาณ 1 ใน 10 เท่า
 ของขนาดอนุภาคของปูนซีเมนต์

ปูนขาวประเภท Hydrate Lime จะนิยมใช้กันกว้างกว่าประเภท Quick Lime ทั้งนี้เป็นเพราะ Hydrate Lime เมื่อทำปฏิกิริยากับน้ำจะคายความร้อนออกมาน้อยกว่า มีฤทธิ์ในการกัดกร่อน เครื่องจักร และเป็นอันตรายต่อผู้ใช้น้อยกว่า Quick Lime ส่วนรายละเอียดของสมบัติ และ สารประกอบของปูนขาวแต่ละชนิด รายละเอียดดังแสดงในตารางที่ 4

ตารางที่ 4 แสดงรายละเอียดของสมบัติและสารประกอบของปูนขาวแต่ละชนิด [3]

Characteristic	Lime		
Characteristic	Quick Lime	Hydrate Lime	
CaO + MgO	≥ 92 %	≥ 95 %	
CO ₂ - at Kiln	≤3 %	≤ 5 %	
- elsewhere fineness	≤ 10 %	≤ 7 %	

2.2.2 วัสดุปอซโซลาน (Pozzolanic Material) [1]

วัสคุปอช โซลานเป็นผลพลอยได้จากกระบวนการผลิตทางอุตสาหกรรม หรือเป็นกากของ เสียอุตสาหกรรมที่มีองค์ประกอบหลักเป็นสารประกอบออกไซค์ต่างๆ ได้แก่ ซิลิกอนไดออกไซค์ (SiO₂), อะลูมิเนียมออกไซค์ (Al₂O₃), เฟอรัสออกไซค์ (Fe₂O₃), แคลเซียมออกไซค์ (CaO) และ แมกนีเซียมออกไซค์ (MgO) เป็นต้น วัสคุปอซโซลานเหล่านี้โดยปกติเมื่อทำปฏิกิริยากับน้ำไม่มี สมบัติในการยึดประสาน แต่เมื่อทำปฏิกิริยากับค่าง เช่น แคลเซียมไฮครอกไซค์ จะทำให้ผลผลิตที่ ได้มีสมบัติในการยึดประสานคล้ายซีเมนต์ และสามารถพัฒนากำลังอัดได้

ตามมาตรฐาน ASTM C 219 – 96 และ ASTM C 618 - 91 ได้ให้คำจำกัดความของคำว่า "ปอซโซลาน" คือ วัสดุที่มีซิลิกา หรือมีซิลิกาและอลูมินาเป็นองค์ประกอบหลัก โดยทั่วไปสาร ปอซโซลานจะมีสมบัติในการยึดประสานน้อยมากหรือไม่มีเลย แต่ถ้าสารปอซโซลานนั้นมีความ ละเอียดมากและมีน้ำเพียงพอจะสามารถทำปฏิกิริยา กับแคลเซียมไฮดรอกไซด์ที่อุณหภูมิปกติทำ ให้ได้สารประกอบที่มีสมบัติในการยึดประสานคล้ายซีเมนต์ คือ แคลเซียมซิลิเกตไฮเดรตและ แคลเซียมอลูมิเนตไฮเดรต ปริมาณตัวยึดประสานเพิ่มขึ้นตามเวลาโดยปฏิกิริยาดังกล่าวเรียกว่า ปฏิกิริยาปอซโซลาน

การนำเอาสารปอชโซลานมาใช้เป็นวัสดุซีเมนต์ ได้มีมาตั้งแต่สมัยโบราณ โดยเป็นที่ ยอมรับกันว่าเมื่อนำวัสดุที่ได้จากการระเบิดภูเขาไฟมาใช้ร่วมกับหินปูนที่มีแคลเซียมเป็น องค์ประกอบ แล้วสามารถปรับปรุงคุณภาพมอร์ต้า (ปูนซีเมนต์ผสมทราย) ให้ดีขึ้นโดยมอร์ต้านั้น สามารถทำให้แข็งตัวในน้ำได้ ในปัจจุบันสารปอชโซลานที่ใช้กันมากที่สุดคือ ขี้เถ้าลอยหรือขี้เถ้า แกลบที่นำมาบดเป็นผง นอกจากนี้แล้วยังสารปอซโซลานอีกหลายชนิดที่สามารถใช้ได้ยังเป็นวัสดุ เหลือใช้จากภาคเกษตรกรรม เช่น ได้มีการนำเอาแกลบซึ่งเป็นผลพลอยได้จากการสีข้าวมาเผาเพื่อ จะใช้เป็นสารปอซโซลาน ตามมาตรฐาน ASTM C 618 – 91 จำแนกสารประกอบปอซโซลานออก เป็น 3 กลุ่ม คือ

- Class N ได้แก่ สารปอชโซลานที่ได้จากธรรมชาติ คือ วัสดุที่เกิดจากการระเบิดของ ภูเขาไฟ และหินพรุน
- Class F ได้แก่สารปอซโซลานสังเคราะห์ คือ วัสดุที่ได้จาการผ่านกระบวนการทาง ความร้อนโดยการเผาวัตถุดิบที่ได้จากธรรมชาติ ได้แก่ ดินเหนียว หินเชลล์ หินที่มีซิลิกาเป็น องค์ประกอบ ขี้เถ้าหิน ขี้เถ้าแกลบ เป็นต้น
- Class C เป็นสารปอซโซลานสังเคราะห์ที่ผ่านกระบวนการทางความร้อนโดยการเผา วัตถุดิบ เช่น เดียวกับ Class F แต่มีข้อกำหนดสมบัติบางประการที่ต่างกัน

วัสดุปอซโซลานถูกนำมาใช้เป็นสารผสมเพิ่มในการทำคอนกรีตหรือ วัสดุก่อสร้างอื่นๆ ที่ มีส่วนผสมของปูนซีเมนต์ หรือ Alkali Materials นั้นจะเกิดการทำปฏิกิริยาก่อตัวทำให้เกิดความ แข็งแรง ซึ่งจะมีข้อดีและข้อด้อย ซึ่งสามารถสรุปได้ดังนี้

- **ข้อดี** ทำให้มีความทนทานต่อการกัดกร่อนจากสารเคมีใด้ดีขึ้น
- สามารถใช้ทดแทนบางส่วนของปูนซีเมนต์ปอร์แลนด์ในงานคอนกรีต และยังช่วยลด ความร้อนที่จะเกิดจากปฏิกิริยาไฮเดรชั่นของคอนกรีต โดยเฉพาะในงานคอนกรีตหลา
 - ทำให้มีความทึบน้ำสูงขึ้น
- ข้อด้อย ทำให้มีการก่อตัวและพัฒนากำลังรับแรงอัคช้าลง
- มีการหดตัวเพิ่มมากขึ้น เนื่องจากวัสดุปอซโซลานมีความต้องการน้ำมาก พอเมื่อเริ่มมี ความร้อนเกิดขึ้นน้ำก็จะเริ่มมีการระเหยออกไป ทำให้ปริมาตรลดลง
 - มีความต้านทานต่อการแข็งตัวของน้ำในโพรงได้ต่ำ

2.2.2.1 ขี้เถ้าแกลบ (Rice Husk Ash) [4]

ขี้เถ้าแกลบ เป็นผลผลิตที่ได้จากการเผาแกลบ ที่อุณหภูมิที่เหมาะสม และนำขี้เถ้าแกลบที่ เผาและเย็นตัวลงมาบดให้ละเอียดด้วยเครื่องบดก็จะได้ขี้เถ้าแกลบที่เหมาะสมในการนำมาใช้เป็น วัสดุปอซโซลานได้ ในประเทศไทยได้แกลบจากการสีข้าวประมาณ 5 ถ้านตัน/ปี ปริมาณแกลบ 200 กก. เมื่อทำการเผาจะได้เถ้าแกลบประมาณ 20 % โดยน้ำหนักหรือประมาณ 40 กก. จึงมี ปริมาณเปลือกข้าวหรือที่เรียกว่าแกลบประมาณ 1 ถ้านตัน/ปี [5]

การเผาแกลบโดยปกติจะมีทั้งแบบเปิดและแบบปิด โดยในการเผาแกลบแบบเปิดนั้น จะมี ซิลิกาอยู่ในรูปผลึกที่มีความว่องไวต่อปฏิกิริยาน้อยมาก เช่น Critabolite Tridymite แต่ก็มีบางส่วน ที่ละเอียดมาก และมีสมบัติคล้ายสารปอชโซลาน ส่วนการเผาแบบปิดหรือควบคุมการเผาใหม้นั้น จะได้ขี้เถ้าแกลบที่มีสมบัติเป็นปอชโซลานที่ไวต่อปฏิกิริยาคือ เป็นซิลิกาที่มีโครงสร้างเป็น Cellular ซึ่งไม่เป็นผลึก และมีงานวิจัยที่เกี่ยวกับการนำขี้เถ้าแกลบมาใช้ประโยชน์ โดยพบว่า ถ้านำ แกลบข้าวไปเผาที่อุณหภูมิ 450°ช นาน 4 ชม. จะพบว่าขี้เถ้าแกลบจะมีองค์ประกอบของซิลิกอน ออกไซด์ อลูมิเนียมออกไซด์ และเหล็กออกไซด์รวมกันถึงร้อยละ 93.76 ขององค์ประกอบทั้งหมด และองค์ประกอบหลักดังกล่าวแล้ว ขี้เถ้าแกลบยังมีส่วนประกอบของ แมกนีเซียมออกไซด์ แกลเซียมออกไซด์ โซเดียมออกไซด์ และโปแตสเซียมออกไซด์ปนอยู่ด้วย ซึ่งบริษัทปูนซีเมนต์ ไทย จำกัด ได้ทำการทดสอบและวิเคราะห์หาองค์ประกอบทางเคมีของขี้เถ้าแกลบ ดังแสดงใน ตารางที่ 5

ตารางที่ 5 แสดงองค์ประกอบทางเคมีของขี้เถ้าแกลบ [6]

องค์ประกอบ	ขี้เถ้าแกลบ (%)
ซิลิกอนใดออกไซค์ (SiO ₂)	93.15
อลูมิเนียมไดออกไซด์ (Al ₂ O ₃)	0.41
เหล็กออกไซค์ (Fe ₂ O ₃)	0.20
แคลเซียมออกไซค์ (CaO)	0.41
แมกนีเซียมออกไซด์ (MgO)	0.45
โซเคียมออกไซค์ (Na ₂ O)	0.08
โปแตสเซียมออกใซค์ (K ₂ O)	2.31
การสูญเสียเนื่องจากการเผาใหม้	2.77

2.3 ปฏิกิริยาของวัสดุปอซโซลาน

2.3.1 การเกิดปฏิกิริยาปอซโซลาน [6]

ปูนขาวที่มีแคลเซียมไฮดรอกไซด์ และน้ำเป็นส่วนประกอบ คือผลผลิตส่วนหนึ่งที่ได้จาก กระบวนการไฮเดรชั่น ซึ่งถูกปล่อยให้เป็นอิสระในระหว่างการก่อตัวของปูนซีเมนต์ ตามทฤษฎี พื้นฐาน ปฏิกิริยาปอซโซลานเกิดขึ้นเมื่อ สารประกอบซิลิกาในวัสดุปอซโซลานทำปฏิกิริยากับ แคลเซียมไฮกรอกไซด์อิสระเพื่อที่จะเปลี่ยนรูปเป็นสารซีเมนต์ สำหรับปฏิกิริยานี้ซิลิกาต้องอยู่ใน รูป อสัณฐาน ถ้าอยู่ในรูปผลึกจะมีผลต่อปฏิกิริยาช้ามาก ดังนั้นอัตราการเพิ่มกำลังรับแรงอัดจึง ขึ้นอยู่กับความว่องไวในการเข้าทำปฏิกิริยาและอัตราส่วนผสมระหว่างปูนซีเมนต์กับวัสดุปอซโซลาน โดยทั่วไปอัตราส่วนของวัสดุปอซโซลานที่ใช้จะอยู่ระหว่างร้อยละ 15-40

วัสคุปอซโซลานสามารถทำปฏิกิริยากับแคลเซียมไฮครอกไซค์อิสระที่เหลือจากปฏิกิริยาไฮ เครชั่นระหว่างปูนซีเมนต์ปอร์ตแลนค์กับน้ำ เพื่อทำให้เกิดสารซีเมนต์ที่มีคุณสมบัติในการยึด ประสาน ดังปฏิกิริยาที่เกิดตามสมการข้างล่างนี้

ขั้นตอนที่1

$$2(3\text{Ca.SiO}_2) + 6\text{H}_2\text{O} \rightarrow 3\text{CaO.2SiO}_2.3\text{H}_2\text{O} + \text{Ca(OH)}_2$$
 $2(2\text{Ca.SiO}_2) + 4\text{H}_2\text{O} \rightarrow 3\text{CaO.2SiO}_2.3\text{H}_2\text{O} + \text{Ca(OH)}_2$
 $\frac{7}{2}$ $\frac{7$

จากสมการจะเห็นว่าปฏิกิริยาปอซโซลานเกิดในขั้นตอนที่ 2 เพราะในขั้นตอนแรก ปฏิกิริยาไฮเดรชั่นเกิดช้า ดังนั้นจึงกาดการณ์ไว้ว่าการพัฒนากำลังรับแรงอัดในช่วงแรกๆ ของ ปูนซีเมนต์ปอร์ตแลนด์ผสมวัสดุปอซโซลานจะต่ำกว่าปูนซีเมนต์ปอร์ตแลนด์ เพราะแกลเซียมไฮ ดรอกไซด์ทำปฏิกิริยากับซิลิกาในวัสดุปอซโซลานแล้วเปลี่ยนรูปไปเป็นสารซีเมนต์ ไม่มีความ แตกต่างอย่างเด่นชัดของการเกิดปฏิกิริยาไฮเดรชั่นระหว่างซีเมนต์ – ปอซโซลาน ปูนขาว – ปอซโซลาน และสารประกอบซีเมนต์ – ปอซโซลาน ภายหลังการผสมวัสดุปอซโซลานกับแคลเซียมไฮ ดรอกไซด์ (ปูนขาวกับน้ำ) ของเหลวจะอิ่มตัวอย่างรวดเร็วด้วยปูนขาว ค่า pH มากกว่า 12.7 อนุภาคปอซโซลานจะสัมผัสกับน้ำในสภาพที่เป็นด่างสูง จึงทำให้ SiOH (Siliga Hydroxyl group) ไปเคลือบอยู่บนอนุภาคปอซโซลานในรูปของ SiO_4^{4-} และ H^+ ในขณะที่ Ca^{2+} ทำให้ชั้นผิวหนามาก

ขึ้น เพราะฉะนั้นสาเหตุหลักของการเกิดปฏิกิริยาไฮเดรชั่นต่อมาเกิดจากการแพร่กระจายของกลุ่ม อะตอมผ่านชั้นที่หนาแน่นด้วยผลิตภัณฑ์ไฮเดรตที่เกิดกับวัสดุปอซโซลานกับ Ca (OH),

2.3.2 กระบวนการกระตุ้นปฏิกิริยาปอซโซลาน [7]

เนื่องจากปฏิกิริยาปอซโซลานระหว่างปูนขาวกับวัสคุปอซโซลานจะเกิดขึ้นช้า ทำให้มีการ พัฒนากำลังอัดและการก่อตัวช้า เนื่องจากชั้นที่ผิวหน้าของอนุภาควัสคุปอซโซลานนั้นมีความ หนาแน่นสูงและมีความเสถียรภาพทางเคมี โดยชั้นที่ผิวของวัดุปอซโซลานนี้จะป้องกันไม่ให้ สารประกอบในอนุภาควัสคุปอซโซลานที่มีความไวในการทำปฏิกิริยากับวัสคุที่สามารถทำปฏิกิริยาได้ เหตุผลอีกข้อคือ วัสคุปอซโซลานนั้นมีพันธะ Silica-Alumina ซึ่งเป็นพันธะที่แข็งแรง เป็นองค์ประกอบ ในการทำปฏิกิริยานั้นจะต้องทำลายพันธะเหล่านั้นก่อน ดังนั้นจึงต้องมีการ กระตุ้นปฏิกิริยาปอซโซลานในก้อนหล่อแข็ง เพื่อช่วยลคระยะเวลาการก่อตัวและเพิ่ม ความสามารถในการรับแรงอัดในระยะยาว กระบวนการที่สำคัญที่นำมาใช้ในการกระตุ้นปฏิกิริยา มี 3 วิธี ดังต่อไปนี้

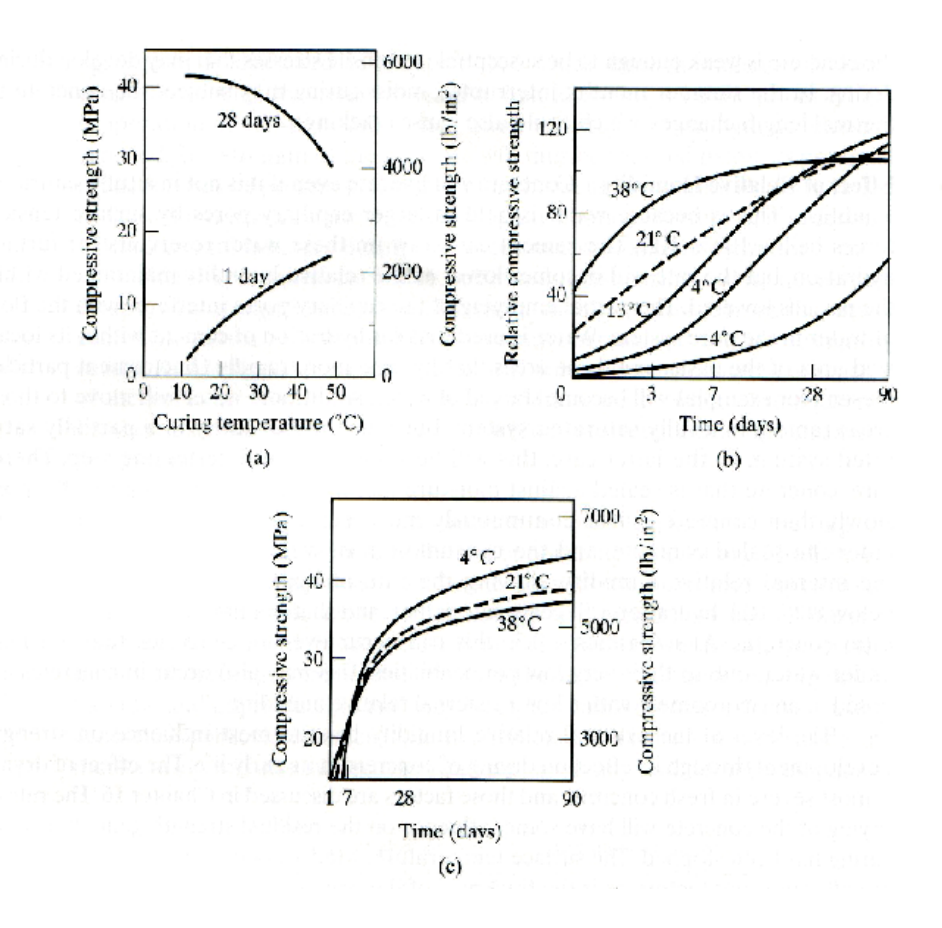
2.3.2.1 การกระตุ้นด้วยการบดลดขนาด (Mechanical Activation)

เป็นวิธีการที่สามารถเร่งการเกิดปฏิกิริยาปอซโซลานได้ดี เนื่องจากความละเอียดของวัสดุ ทำให้มีพื้นที่ผิวที่ว่องไวต่อการทำปฏิกิริยาสูง ดังนั้นจึงเพิ่มโอกาสในการเกิดปฏิกิริยาได้ดี ซึ่ง สอดคล้องกับงานวิจัยของบุรฉัตรและคณะ [8] ที่ได้ทำการศึกษาวิจัยเรื่องการผลิตขี้เถ้าแกลบที่มี ความไวต่อปฏิกิริยา โดยเตรียมมอร์ต้าผสมขี้เถ้าแกลบอัตราส่วนซีเมนต์ต่อเถ้าแกลบเท่ากับ 70:30 ทดสอบความสามารถในการรับแรงอัดที่เวลา 3, 7 และ 28 วัน พบว่า ขี้เถ้าแกลบที่บดเป็นเวลา 90 นาที จะให้การพัฒนากำลังอัดสูงสุดในทุกอายุการบ่ม

2.3.2.2 การกระตุ้นด้วยความร้อน (Thermal Activation)

การบ่มคอนกรีต ในสภาวะที่เหมาะสมหรืออุณหภูมิที่พอเหมาะ สามารถเร่งการ เกิดปฏิกิริยาไฮเครชั่นของซีเมนต์ได้เช่นกัน การบ่มคอนกรีตมีวิธีการบ่ม 2 วิธีคือ แบบแช่ในน้ำ และแบบห่อหุ้ม ทั้ง 2 วิธีมีความแตกต่างกันตรงที่การบ่มแบบแช่น้ำเป็นการบ่มเพื่อป้องกันการ สูญเสียความชื้น แต่ในขณะเดียวกันก็มีการเพิ่มเติมน้ำเข้าไปด้วย ส่วนการบ่มแบบห่อหุ้มเป็นการ ป้องกันการสูญเสียความชื้นเพียงอย่างเดียว เมื่อพิจารณาถึงความสามารถในการรับแรงอัดพบว่า การกระตุ้นที่อุณหภูมิสูงสามารถเร่งปฏิกิริยาในช่วงแรกได้ดี แต่เมื่อระยะเวลาผ่านไปค่า ความสามารถในการรับแรงจะลดลง ทั้งนี้เนื่องจากความร้อนสามารถเร่งปฏิกิริยาไฮเดรชั่นกับ ซีเมนต์ในช่วงแรกให้เกิดขึ้นอย่างรวดเร็ว การลดลงในช่วงหลังนั้นอาจเกิดจากความร้อนที่บ่มทำ

ให้โครงสร้างของผลิตภัณฑ์ที่ได้จากปฏิกิริยาไฮเครชั่นไม่คงตัวและสูญเสียความแข็งแรงไป เมื่อ อุณหภูมิสูงมากขึ้นความสามารถในการรับแรงอัดในระยะยาว จึงลดลงผลกระทบของอุณหภูมิที่ ใช้ในการบ่มคอนกรีตได้แสดงดังร<mark>ูปที่</mark> 1



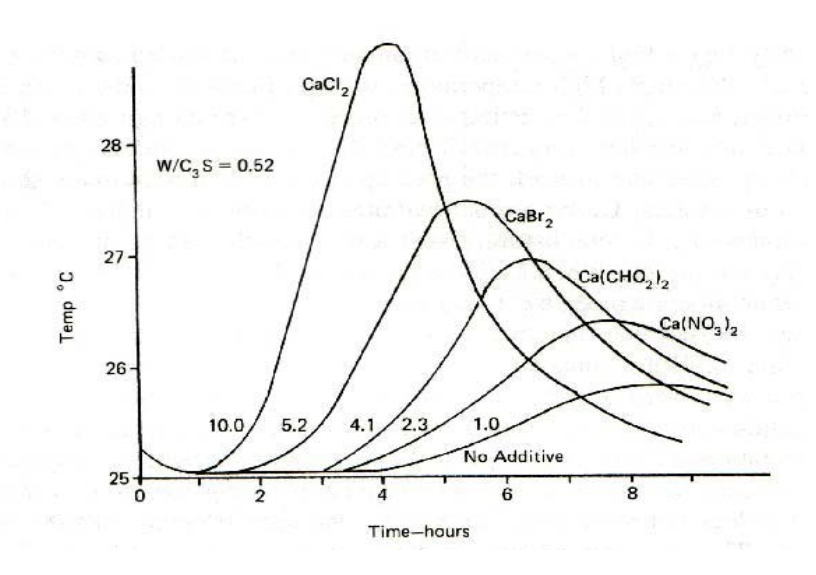
รูปที่ 1 ผลกระทบของอุณหภูมิที่มีต่อกำลังรับแรงอัด [9]

- (a) เปรียบเทียบ 1 วันและ 28 วัน (โดยอุณหภูมิคงที่)
- (b) การบ่มด้วยอุณหภูมิอย่างต่อเนื่อง
- (c) การบ่มด้วยอุณหภูมิในระยะแรกและบ่มที่อุณหภูมิปกติที่ 21°ซ

2.3.2.3 การกระตุ้นด้วยสารเคมี (Chemical Activation)

การกระตุ้นด้วยสารเคมีเป็นวิธีที่จะทำให้เกิดปฏิกิริยาปอซโซลานดีขึ้น และมีอัตราการ พัฒนากำลังอัดที่เร็วขึ้น ส่วนใหญ่ใช้วิธีการเติมสารเคมีในการกระตุ้น เพราะเป็นวิธีที่ง่ายและไม่ ยุ่งยากเหมือนวิธีอื่น และมีค่าใช้จ่ายที่ถูก โดยสารเคมีที่นิยม ได้แก่ สารละลายที่มีฤทธิ์เป็นเบส เนื่องจากสารละลายที่เป็นเบสสามารถกัดกร่อนพันธะ Silica-Alumina โดยสารเคมีที่นิยมใช้ ได้แก่ โซเดียมซิลิเกต (Na,SiO,) โซเดียมการ์บอเนต (Na,CO,) แคลเซียมคลอไรด์ (CaCl,) โซเดียม

ซัลเฟต (Na_2SO_4) เป็นต้น ซึ่งสามารถเร่งปฏิกิริยาไฮเครชั่นและช่วยลคระยะเวลาก่อตัวให้น้อยลง ทำให้อุณหภูมิในการเกิดปฏิกิริยาเพิ่มมากขึ้น ดังแสดงในรูปที่ 2 สารเคมีที่ใช้ในการกระคุ้นจัดเป็น สารผสมเพิ่มในประเภทสารเร่งหรือการก่อตัว



ร**ูปที่ 2** อุณหภูมิของการเกิดปฏิกิริยาไฮเดรชั่น เมื่อใช้สารเคมีในการกระตุ้นที่แตกต่างกัน [7]

ในงานวิจัยนี้ ได้ทำการศึกษาถึงสมบัติของสารเคมีที่ใช้ในการกระตุ้นปฏิกิริยา โดยศึกษา จากงานวิจัยหลายๆ งานวิจัยถึงสมบัติของก้อนหล่อแข็งที่ใช้สารเคมีในการกระตุ้น พบว่า สารละลายโซเดียมซิลิเกตเมื่อทำปฏิกิริยากับน้ำจะได้โซเดียมไฮดรอกไซด์ (NaOH) และยัง สามารถทำปฏิกิริยากับปูนขาวได้โดยตรงแล้วเกิด Calcium Silicate Hydrate (CSH) ได้โดยตรง ทำ ให้ก้อนหล่อแข็งมีรูพรุนน้อย ซึ่งทำให้ก้อนหล่อแข็งมีความหนาแน่นมาก จึงมีการพัฒนาอย่าง รวดเร็วและมีกำลังอัดสูง [9]

2.4 โลหะหนัก [<mark>10</mark>]

โลหะหนักจัดเป็นสารอันตรายประเภทที่มีความเป็นพิษ ตามนิยามขององค์กรพิทักษ์ สิ่งแวคล้อมแห่งสหรัฐอเมริกา หรือ U.S.EPA ซึ่งให้ความหมายว่า เป็นสารอันตรายที่สามารถทำ ให้เกิดพิษ โดยเฉียบพลัน และสามารถสะสมในร่างกายของสิ่งมีชีวิต ก่อให้เกิดโรคจนถึงขั้น เสียชีวิตได้ส่วนใหญ่โลหะหนักมักใช้อยู่ในอุตสาหกรรมหลายประเภท เช่น อุตสาหกรรมเคลือบ ผิวหรือชุบโลหะ อุตสาหกรรมสี อุตสาหกรรมชิ้นส่วนรถยนต์ เป็นต้น ซึ่งการนำโลหะหนักมาใช้ ประโยชน์จะทำให้เกิดโทษได้หากผู้ใช้ไม่มีความรู้และความระมัดระวัง ซึ่งจะก่อให้เกิดอันตราย

ต่อสิ่งแวดล้อม และมนุษย์ การปล่อยน้ำทิ้งที่มีปริมาณ โลหะหนักเกินมาตรฐานน้ำทิ้ง การนำกาก ตะกอน โลหะหนักมากองทิ้งไว้ในชุมชนหรือสถานที่ทิ้ง โดยปราสจากการคูแลเอาใจใส่ ซึ่งสิ่ง เหล่านี้จะเป็นอันตรายต่อสิ่งแวดล้อมและสิ่งมีชีวิต เพราะ โลหะหนักสามารถกระจายเข้าสู่ดิน แหล่งน้ำธรรมชาติ น้ำบาดาล และในที่สุดก็เข้าห่วงโซ่อาหารหรือสายใยอาหารของสิ่งมีชีวิต ก่อให้เกิดโรกและผลกระทบต่อสิ่งแวดล้อมและสิ่งมีชีวิตในที่สุด

โลหะหนักที่ใช้ในงานอุตสาหกรรมที่มีมากที่สุดคือ ตะกั่ว ปรอท แคดเมียม นิเกิล เซเล เนียม และโครเมียม โลหะเหล่านี้จะถูกทิ้งออกมาจากโรงงานทางน้ำเสีย และเขม่าควันไฟจาก โรงงาน สารโลหะหนักที่เป็นพิษสามารถแบ่งออกได้เป็น 3 กลุ่ม ตามความเป็นพิษ คือ

- สาร โลหะที่ทำให้เกิด โรคเกี่ยวกับทางเดินหายใจ ส่วนใหญ่เป็นอนุภาค โลหะที่แขวนลอย ในอากาศ ได้แก่ เหล็ก ทั้งสเตน และ ในโอเนียม
- สารโลหะที่ทำให้เกิดโรคเกี่ยวกับอวัยวะภายใน เช่น ตับ ไต และหัวใจ โลหะหนักที่เป็น พิษ ได้แก่ โครเมียม โมลิบดินัม นิเกิล วานาเดียม โคบอลต์ ทองแคง เงิน และแคคเมียม
- สารโลหะที่มีพิษร้ายแรงจนเกินความสามารถที่จะให้รักษาให้หายได้ยาก ได้แก่ ปรอท ตะกั่ว แมงกานีส สารหนู และพลวง สารพิษในกลุ่มนี้อาจเป็นพิษต่อระบบทางเดินหายใจ และ ระบบประสาทส่วนกลางด้วย การละลายของสารพิษเป็นปฏิกิริยาเคมี จึงเป็นการยากที่จะขจัด หรือ ทำลายให้หมดไปในระยะเวลาอันสั้น

2.5 การตรึงโลหะหนักของแคลเซียมซิลิเกตไฮเดรต [2]

ปฏิกิริยาไฮเครชั่นและปฏิกิริยาปอซโซลานจะเกิดแคลเซียมซิลิเกตไฮเครต (CSH) ซึ่งจะเกิด จากปูนซีเมนต์ปอร์แลนด์หรือจากวัสดุปอซโซลานถึง 70-80 % CSH ที่เกิดนี้มีความสามารถใน การตรึงโลหะหนัก ได้แก่ แคดเมียม โครเมียม ปรอท ตะกั่ว และสังกะสี ฯลฯโดยปฏิกิริยาที่เกิดขึ้น ระหว่าง CSH และโลหะหนักนั้นสามารถเกิดได้ 2 กลไก ดังสมการข้างล่าง

การตรึงโดยปฏิกิริยาการเติม (Addition Reaction) ซึ่ง M เป็นตัวแทนของใอออนโลหะหนัก

$$CSH + M \rightarrow MCSH$$

MCSH = Metallic Calcium silicate hydrate

การตรึงโดยปฏิกิริยาการแทนที่ (Substitution Reaction) ซึ่ง M เป็นตัวแทนของไอออนของ โลหะหนัก

$$CSH + M \rightarrow MSH + Ca^{2+}$$

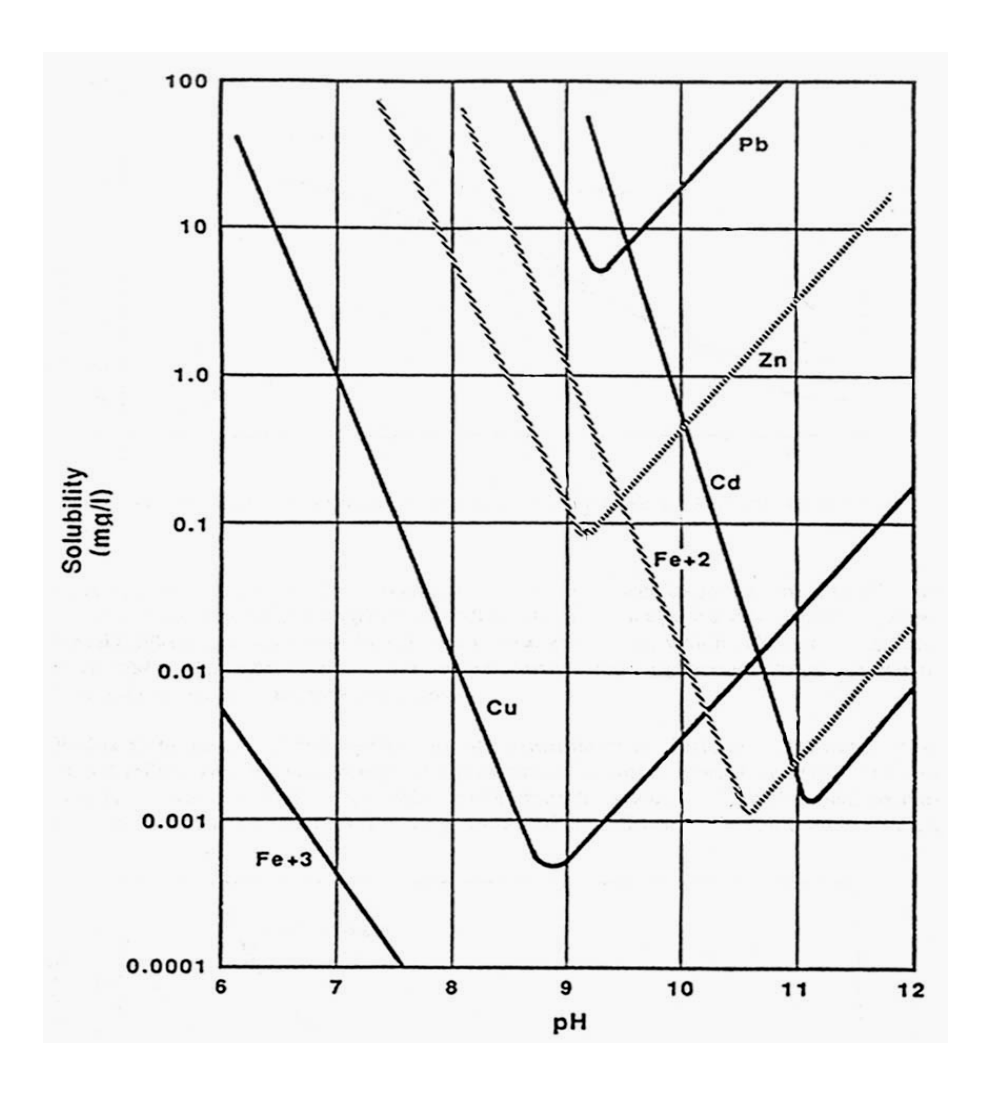
2.6 การตกตะกอนทางเคมี [6]

การตกตะกอนทางเคมี เป็นกระบวนการเปลี่ยนรูปสารให้เป็นของแข็งที่ไม่ละลายน้ำ โดย อาศัยปฏิกิริยาเคมี หรือการเปลี่ยนองค์ประกอบของตัวทำละลาย ซึ่งของแข็งที่เกิดขึ้นสามารถแยก ออกจากสารละลายน้ำได้โดยการตกตะกอน หรือการกรอง สารเคมีที่ใช้ในการตกตะกอนโลหะ หนักมีหลายชนิด เช่น การตกตะกอนในรูปโลหะไฮดรอกไซด์ โดยใช้ปูนขาวหรือโซเดียมไฮดร อกไซด์ การตกตะกอนในรูปซัลไฟด์ การตกตะกอนในรูปคาร์บอเนต การตกตะกอนโลหะหนักใน รูปไฮดรอกไซด์ โดยใช้ปูนขาวหรือโซเดียมไฮดรอกไซด์แสดงดังสมการข้างล่างนี้

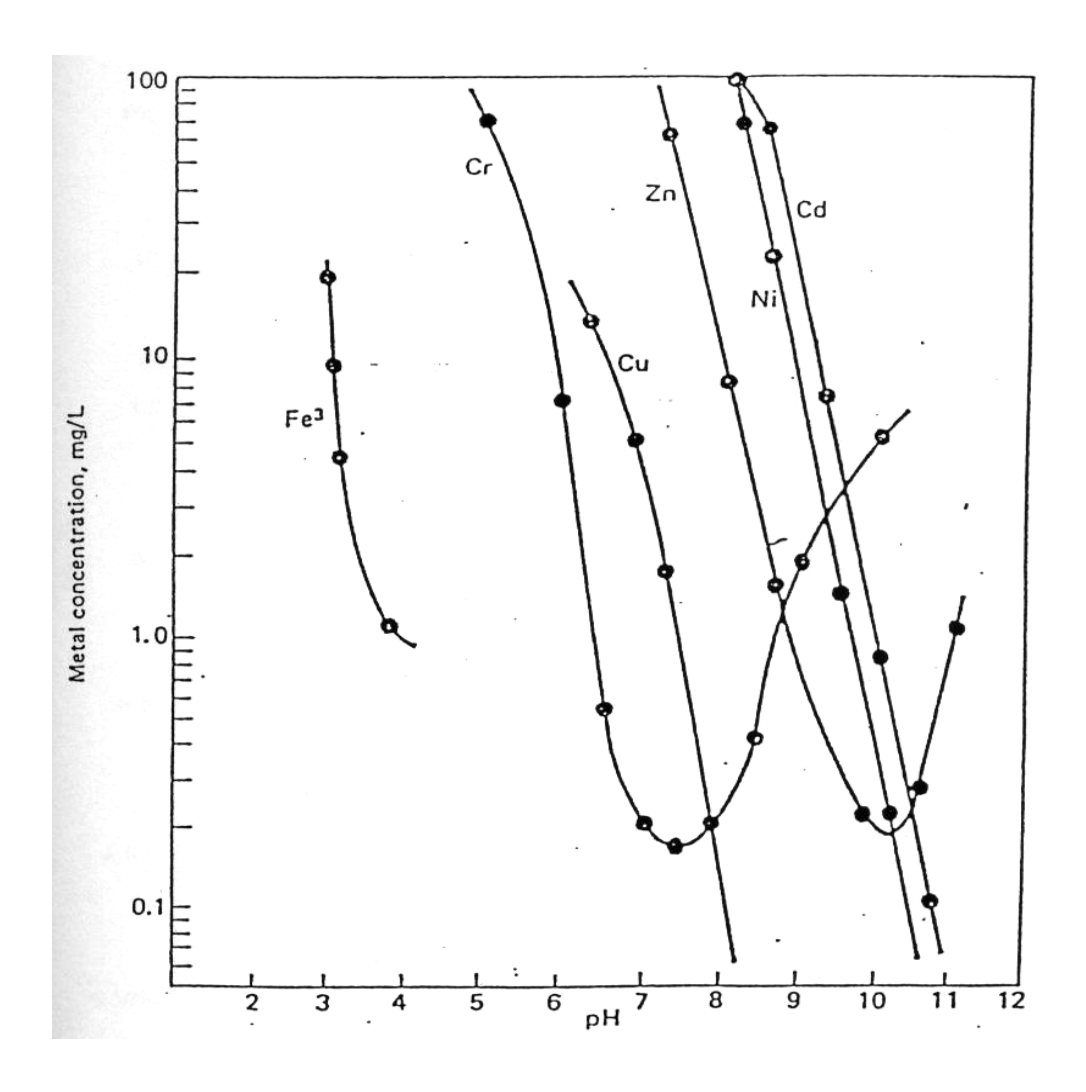
$$M^{2+}+Ca(OH) \rightarrow M(OH)+Ca^{2+}$$

 $M^{2+}+2Na(OH) \rightarrow M(OH)+2Na^{+}$

ความเข้มข้นของโลหะ ไอออนที่เหลืออยู่หลังการบำบัดขึ้นอยู่กับชนิดของโลหะ ไอออน ชนิด ของสารที่ใช้ในการตกตะกอนและสภาวะ ในการเกิดปฏิกิริยา เช่น pH และการมีสารรบกวนการ ตกตะกอนอยู่ด้วย โดยตามทฤษฎีแล้วโลหะ ไฮดรอก ไซด์ส่วนมากเป็นสารแอมโฟเทอริก ซึ่งมี ความสามารถละลายน้ำ ได้ต่ำในช่วง pH แคบๆ และจะละลาย ได้ดีในสภาวะ ที่เป็นกรดและด่างสูง ดังนั้นความสามารถในการละลายของสารแอมโฟเทอริกจะเพิ่มขึ้นเมื่ออยู่ในสภาวะ ที่สารละลายมี pH ที่สูงหรือต่ำกว่า ค่า pH ที่ตกตะกอน ซึ่งโลหะต่างชนิดกันค่า pH ที่เหมาะสมในการตกตะกอน ก็มีค่าที่แตกต่างกัน ดังแสดงในรูปที่ 3 และ รูปที่ 4



รูปที่ 3 ความสัมพันธ์ระหว่างความสามารถในการละลายของโลหะไฮดรอกไซด์กับค่า pH [2]



ร**ูปที่ 4** ความสัมพันธ์ระหว่างค่าความเข้มข้นของโลหะไฮดรอกไซด์ในสารละลายกับค่า pH [2]

2.7 การชะละลาย (Leaching) [11]

กากของเสียอันตรายเมื่อไม่ได้รับการบำบัดและกำจัดอย่างถูกวิธี เช่น การนำกากของเสีย อันตรายไปทิ้งบนพื้นดินหรือการนำไปฝังกลบ อาจเกิดการย่อยสลายของกากของเสียออกมาทำให้ เกิดการชะละลายของสารพิษซึ่งอาจสามารถแพร่กระจายลงสู่แหล่งน้ำธรรมชาติ ทะเล หรือซึมลง สู่แหล่งน้ำใต้ดินได้ และส่งผลกระทบต่อสิ่งมีชีวิตจากสารพิษที่รั่วไหลออกมา

น้ำชะ (Leachant) คือ น้ำที่ชะสารมลพิษต่างๆ ออกมาจากของเสีย เช่น ฝน น้ำใต้ดินหรือน้ำ ผิวดิน ซึ่งประกอบด้วยสารอินทรีย์ สารอนินทรีย์ โลหะหนัก และของแข็งอื่นๆ ปนออกมาอยู่ใน รูปสารละลายและตะกอนแขวนลอย ซึ่งขึ้นอยู่กับลักษณะและองค์ประกอบของกากของเสีย อันตรายรวมทั้งปฏิกิริยาที่ทำให้เกิดมลพิษต่อสิ่งแวดล้อม การรั่วไหลของสารมลพิษอาจบอกใน รูปความสามารถในการรั่วไหล (Leach ability: L) ซึ่งเป็นอัตราส่วนระหว่างปริมาณสารมลพิษที่

ออกมาจากตัวอย่างหลังการสกัด 24 ชั่วโมง ($W_{_{\rm I}}$) และปริมาณสารมลพิษที่มีอยู่เคิมในตัวอย่าง ($W_{_{\rm O}}$)

$$L = W_1/W_0$$

เมื่อ $\mathbf{W}_{_{1}}$ และ $\mathbf{W}_{_{0}}$ มีหน่วยเป็น มิลลิกรัม หรือ ไมโครกรัม

การทดสอบการชะละลายของสารปนเปื้อนจากก้อนหล่อแข็งมีหลายวิธี แต่ละวิธีมีจุดเด่น หรือวัตถุประสงค์ในการทดสอบที่แตกต่างกันซึ่งส่วนใหญ่จะมีอยู่ 3 ข้อ คือ

- Regulatory Test เป็นการทดสอบตามมาตรฐานขององค์กร ซึ่งระบุได้ว่าผ่านหรือไม่ผ่าน
- Predictive Test เป็นการทดสอบเพื่อพิสูจน์เปรียบเทียบกับของจริงในสนาม เพื่อนำมา ทำนายได้
- Investigation Test เป็นการทคสอบเพื่อนำผลการทคสอบไปศึกษาถึงกลไกการยึดเกาะ และการรวบรวมละเอียดอื่นๆ เกี่ยวกับการหล่อแข็ง

2.7.1 กลใกการชะละลาย [1]

ก้อนหล่อแข็งของเสียเป็นของแข็งที่มีรูพรุนซึ่งอิ่มตัวด้วยน้ำ ประกอบด้วยเฟสของแข็งหนึ่ง เฟสหรือมากกว่า ช่องว่างของอากาศ และเฟสของเหลวที่เรียกว่า สารละลายที่อยู่ตามรูพรุน โดย เฟสทั้งหมดอยู่ในสมคุลเคมี เมื่อก้อนหล่อแข็งของเสียได้สัมผัสกับสารชะละลาย จะเกิดการแพร่ ของสารชะละลายเข้าไปภายในก้อนหล่อแข็งตามช่องเปิดต่างๆ ทำให้สมคุลเคมีภายในก้อนหล่อ แข็งถูกรบกวน และเกิดการละลายขององค์ประกอบต่างๆ ภายในก้อนหล่อแข็งของเสีย และเกิด การเคลื่อนตัวเข้ามาใน Pore Solution มากขึ้น ส่งผลให้เกิดความแตกต่างของความเข้มข้นระหว่าง Pore Solution และ Leachant ทำให้เกิดการแพร่ ของสารต่างๆจากภายในก้อนหล่อแข็งออกมาสู่ สารชะละลาย กลไกย่อยที่เกี่ยวกับการชะละลายมีดังนี้

2.7.1.1. การละลาย (Solubilization)

การชะละลายขององค์ประกอบต่างๆ จากก้อนหล่อแข็งของเสีย ขั้นตอนแรกองค์ประกอบ นั้นๆ จะต้องละลายเข้ามาอยู่ในสารละลายที่อยู่ในรูพรุนของแข็ง หรือละลายในสารชะที่แพร่เข้า ไปในของแข็ง อัตราการละลายถูกควบคุมโดยความสามารถในการละลายของแต่ละองค์ประกอบ ที่อยู่ภายในก้อนหล่อแข็งของเสีย และความเข้มข้นขององค์ประกอบนั้นในสารละลายที่อยู่บริเวณ ผิวหน้าของของแข็ง ภายใต้สภาวะที่เป็นกรด อัตราการละลายถูกจำกัดโดยจำนวนไฮโดรเจนอิ ออนที่มีอยู่ในสารชะละลาย หลังจากนั้นจะถูกจำกัดโดยการแพร่ขององค์ประกอบต่างๆ จากก้อน หล่อแข็งของเสีย เพราะว่าการแพร่ของไฮโดรเจนอิออนจะเร็วกว่าอนุภาคอื่นๆ มาก

2.7.1.2. การเคลื่อนตัวผ่านของแข็ง (Transport Through the Solid)

เนื่องจากก้อนหล่อแข็งของเสียมีความสามารถในการซึมผ่านต่ำ คังนั้นการแพร่จึงเป็น กระบวนการเคียวที่มีผลต่อการเคลื่อนที่มีขององค์ประกอบต่างๆ ในสารละลายทั้งในสภาวะที่ใช้ ในการทดสอบการชะละลาย และสภาวะที่เป็นจริงในแหล่งฝังกลบ

2.7.1.3. การแพร่ชั้นที่ถูกชะ (Diffusion Through the Leached Layer)

เนื่องจากองค์ประกอบต่างๆ ในก้อนหล่อแข็งของเสียถูกชะละลายออกมาภายนอกเป็น จำนวนมากทำให้เกิดชั้นที่ถูกชะ ซึ่งมีความพรุนสูง ดังนั้นการแพร่ของโมเลกุล ในสารละลายจึง เป็นตัวที่จำกัดอัตราการชะละลายด้วย

2.7.1.4. การเคลื่อนที่ผ่านชั้นที่กั้นระหว่างของแข็งกับของเหลว (Transport Through the Solid-Liquid Boundary Layer)

ชั้นที่เชื่อมระหว่างของแข็งและของเหลว อาจทำให้เกิดสภาวะที่จำกัดสำหรับการชะ ละลายเหมือนกับปรากฏการณ์ไฟฟ้าเคมี ความเร็วที่ระบบเข้าสู่สมคุลมักถูกจำกัดโดยความหนา และลักษณะของชั้นที่กั้นอยู่

2.7.1.5. การเคลื่อนตัวในสารชะ (Bulk Transport in Liquid Leachant)

เมื่อระบบเข้าใกล้สมคุล อัตราการชะละลายจะลดลงตามความแตกต่างของความเข้มข้น ระหว่างเฟสของแข็งและเฟสของสารละลายจนเข้าใกล้สูนย์ ปรากฏการณ์นี้อาจเกิดขึ้นได้ในแหล่ง ฝังกลบที่อิ่มตัว และไม่มีการเคลื่อนตัวของน้ำใต้ดิน ซึ่งจะมีผลต่อความเข้มข้นสูงสุดที่จะเป็นไป ได้ขององค์ประกอบใน น้ำชะแต่อัตราการชะละลายทั้งหมดอาจต่ำกว่าระบบที่มีการเคลื่อนตัวของ น้ำใต้ดินอย่างรวดเร็ว

2.7.2 การวัดความสามารถในการชะละลาย [11]

การทดสอบของเสียอันตรายก่อนนำไปฝังกลบโดยทั่วไปมักใช้วิธี TCLP (Toxicity Characteristic Leaching Procedure) ซึ่งพัฒนาขึ้นมาแทนที่ EP Tox วิธีการทดสอบส่วนใหญ่จะ เป็นกระบวนการแบบ batch โดยให้ของเสียสัมผัสกับสารชะ ซึ่งสารชะที่ใช้ในการทดสอบส่วน ใหญ่ คือ สารละลายกรดอะซิติด หรือบัฟเฟอร์ซึ่งเป็นกรดอินทรีย์ที่พบได้ทั่วไปในแหล่งฝังกลบ และใช้อัตราส่วนระหว่างปริมาตรของสารชะต่อน้ำหนักของของเสียเท่ากับ 20:1 โดยให้ของเสีย สัมผัสกับสารชะเป็นช่วงเวลาหนึ่งโดยการเขย่าส่วนผสมอย่างต่อเนื่องเพื่อให้ได้สมคุลทางเคมี จากนั้นจึงทำการแยกของเหลวออกไปทำการวิเคราะห์หาองค์ประกอบต่างๆใน Leachate

2.8 งานวิจัยที่เกี่ยวข้อง

งานวิจัยที่เกี่ยวข้องที่มีการใช้เถ้าแลบที่ได้จากการเผาโดยไม่ควบคุมอุณหภูมิมาใช้แทน ปูนซีเมนต์ปอร์ตแลนด์มีน้อยมาก เพราะผลิตภัณฑ์ที่ได้นั้นจะมีสมบัติในการรับกำลังอัดของ ผลิตภัณฑ์ลดลง เนื่องจากเถ้าแลบที่ได้จากการเผาในสภาวะที่ไม่มีการควบคุมอุณหภูมิมี องค์ประกอบทางเคมีส่วนมากเป็นผลึก ซึ่งจะไม่ทำปฏิกิริยาจึงทำให้ไม่มีการพัฒนากำลังอัดของ ผลิตภัณฑ์ และยังมีสีดำ ซึ่งสมบัตินั้นทำให้ผลิตภัณฑ์มีสมบัติทางกายภาพที่ไม่น่าดู ดังนั้นเถ้าแลบ ดำจึงถูกทิ้งเป็นของเหลือทางการเกษตร เถ้าแกลบคำส่วนใหญ่ได้มาจากการนำแกลบไปใช้เป็น เชื้อเพลิงในโรงสีข้าว สำหรับอบแห้งข้าวเปลือก เชื้อเพลิงในการเผาอิฐ ใช้ทำถ่าน และเชื้อเพลิงอัด แท่ง ดังนั้นงานวิจัยที่จะกล่าวถึงต่อไปนี้จะเกี่ยวข้องกับการใช้เถ้าแกลบที่ได้จากการควบคุมเท่านั้น

บุตรฉัตร ฉัตรวีระ และพีรชล สุภัททธรรม, 2538 [12] ได้ศึกษาคุณสมบัติด้านความต้านทาน ของปูนซีเมนต์ผสมเถ้าแกลบที่ได้จากโรงงานทำอิฐ โดยศึกษาเกี่ยวกับองค์ประกอบทางเคมี คุณสมบัติทางกายภาพ กำลังรับแรงอัด ความสามารถต้านทานต่อสภาพแวดล้อมที่เป็นกรดโดยแช่ ในสารละลายกรดซัลฟูริก ลักษณะการเกิดปฏิกิริยาคาร์บอเนชั่น และความสามรถในการเก็บกัก คลอไรด์ มีตัวแปรหลักคือ อัตราส่วนน้ำต่อวัสดุผสม และร้อยละการแทนที่ขี้เถ้าแกลบใน ปูนซีเมนต์ พบว่าการแทนที่ขี้เถ้าแกลบในปริมาณที่เหมาะสมสามารถให้กำลังรับแรงอัด กำลังรับ แรงดึง ความสามารถเก็บกักคลอไรด์ของมอร์ต้าร์ผสมขี้เถ้าแกลบมีค่าเพิ่มขึ้น โดยปริมาณการ แทนที่ขี้เถ้าแกลบร้อยละ 20 ให้ค่าที่สูงสุด และเมื่อปริมาณการแทนที่ขี้เถ้าแกลบเพิ่มมากขึ้น รวมทั้งความสามารถในการด้านทานการเกิดปฏิกิริยาคาร์บอเนชั่นและความสามารถต้านทานต่อ สภาพแวดล้อมที่เป็นกรดก็เพิ่มขึ้นด้วยเช่นกัน

สมบัติของเถ้าแกลบที่ได้จากการเผาควบคุมขึ้นกับ[13] อุณหภูมิในการเผา เวลาในการ เผา การบด สภาพการระบายอากาศระหว่างการเผาแกลบ และอัตราการปล่อยให้เย็นตัวลงอย่าง รวดเร็วของขึ้เถ้าแกลบหลังการเผา จะทำให้ได้เถ้าแลบที่ไวต่อการทำปฏิกิริยา โดยศึกษาการ แปรเปลี่ยนอุณหภูมิ และระยะเวลาในการเผาที่มีผลต่อกำลังอัดของมอร์ต้าผสมเถ้าแกลบและปูน ขาว โดยเตรียมมอร์ต้าที่มีอัตราส่วนปูนขาว:เถ้าแกลบที่ 0.5 อัตราส่วนน้ำต่อปูนขาว และเถ้าแกลบ มีค่า 0.8 และทำการบ่มตัวอย่างมอร์ต้าที่อุณหภูมิ 45-50 °C เป็นเวลา 1 วัน พบว่าอุณหภูมิและ เวลาที่เหมาะสมในการเผาประมาณ 600°C เป็นเวลา 2-3 ชั่วโมง และที่อุณหภูมิ 400°C เป็นเวลา 4 ชั่วโมง มอร์ต้าจากทั้ง 2 สภาวะมีค่ากำลังอัดสูงสุด

มีการศึกษาถึงความไวต่อของเกิดปฏิกิริยาของขี้เถ้าแกลบโดย D.L., Cook [14] รายงานว่า ถ้าใช้อุณหภูมิในการเผาต่ำจะทำให้ปริมาณคาร์บอนเหลืออยู่มาก และมีสีคำ ส่งผลให้ ความสามารถในการรับแรงอัดของคอนกรีตลดต่ำลง แต่ถ้าใช้อุณหภูมิในการเผาสูงเกินไป ซิลิก้าที่ อยู่ในขี้เถ้าแกลบจะมีการเปลี่ยนรูปร่างจากรูปอสัณฐาน (Amorphous) ซึ่งมีความไวในการทำ ปฏิกิริยากลายเป็นรูปร่างผลึก (Crystalline) ที่ไม่ไวในการทำปฏิกิริยา ซึ่งได้มีการเสนอว่าอุณหภูมิ ในการเผาขี้เถ้าแกลบควรอยู่ในช่วง 400-500 °C ซึ่งเป็นช่วงอุณหภูมิที่ซิลิก้าจะอยู่ในรูปอสัณฐาน (Amorphous)

เนื่องจากการเป็นที่ทราบกันว่าปฏิกิริยาระหว่างปูนขาวและวัสคุปอซโซลานเกิดค่อนข้าง ช้า เวลาที่ใช้ในการก่อตัวและพัฒนากำลังอัดได้ช้า ดังนั้นจึงต้องมีการกระตุ้นปฏิกิริยา โดยใช้วิธี ต่างๆเช่น ความร้อน การบด หรืออาจจะเป็นการใช้สารเคมี เป็นต้น Shi และ Day,1993[15] จึงได้ ทำการศึกษาถึงการกระตุ้นปฏิกิริยาของซีเมนต์ผสมระหว่างปูนขาวและวัสดุปอซโซลานธรรมชาติ โดยใช้สารเคมีกระตุ้นปฏิกิริยา ด้วยอัตราส่วนปอซโซลานธรรมชาติ 80%ผสมกับปูนขาว20% ใช้ สารเคมี 4 ชนิดทำการกระตุ้นปฏิกิริยา คือ แคลเซียมคลอไรด์(CaCl,2H2O) โซเดียมซัลเฟต (Na2SO4) แคลเซียมซัลเฟต (CaSO4,0.5H2O) และ โซเดียมคลอไรด์ (NaCl) โดยใช้ความเข้มข้น ตั้งแต่ 0-8% ผลจาการศึกษาพบว่าการเติมสารเคมีประเภทด่างสามารถเพิ่มกำลังรับแรงอัดให้กับ เพสต์อย่างมีนัยสำคัญ โดยเฉพาะโซเดียมซัลเฟตซึ่งสามารถเพิ่มกำลังรับแรงอัดได้ดีทั้งในระยะ เริ่มต้นและระยะสุดท้าย ระดับความเข้มข้นที่เหมาะสมคือ 2-4% โดยน้ำหนักวัสดุยึดประสาน นอกจากนี้ แคลเซียมคลอไรด์ให้ผลการทดลองที่ดีเช่นเดียวกันแต่ต้องใช้เวลา 3 วันขึ้นไป ซึ่งจะให้ กำลังรับแรงอัดมากกว่าเพสต์ที่ผสมโซเดียมซัลเฟต 4% ในช่วงหลัง ส่วนแคลเซียมซัลเฟตเพิ่ม กำลังรับแรงอัดได้แต่น้อยกว่าแคลเซียมคลอไรด์ สำหรับโซเดียมคลอไรด์ไม่มีผลต่อการเพิ่มขึ้น ของกำลังรับแรงอัด

Asavapisit, S., และ Chotklang, 2544 [16] ได้ทำการศึกษาในการนำกากของเสียจาก ภาคอุตสาหกรรมมา 3 ชนิด ได้แก่ ตะกรันเตาหลอมเหล็ก เถ้าลอยลิกในต์ และขี้เถ้าแกลบมาหล่อ แข็ง โดยทำการศึกษาการพัฒนากำลังอัดในระยะแรกของซีเมนต์ ที่เตรียมจากปูนขาวและกากของ เสียนี้ ทั้งในสภาวะที่มีและไม่มีสารกระตุ้น ซึ่งในการศึกษาจะใช้อัตราส่วน 20 : 80 และทำการ ปรับเปลี่ยนปริมาณสารเคมีทั้ง 2 ชนิด คือ โซเดียมซิลิเกตและโซเดียมคาร์บอเนต ในอัตราส่วน ร้อยละ 0 , 4 , 5 และ 6 ตามลำดับ จากการศึกษาพบว่า ทั้งโซเดียมซิลิเกตและโซเดียมคาร์บอเนต สามารถพัฒนากำลังอัดในระยะแรกของปอซโซลานซีเมนต์ได้ดี แต่โซเดียมซิลิเกตสามารถพัฒนา ได้ดีกว่าโซเดียมการ์บอเนตในช่วงแรก โดยซีเมนต์ที่เตรียมจากปูนขาวและเถ้าลอยลิกในต์จะให้ กำลังรับแรงอัดสูงกว่าซีเมนต์ที่เตรียมจากตะกรันเตาหลอมเหล็ก และที่เตรียมจากขี้เถ้าแกลบ

เนื่องจากซิลิกาออกไซด์ที่เป็นองค์ประกอบหลักในเถ้าลอยลิกไนต์นั้น อยู่ในรูปที่ไวต่อการ เกิดปฏิกิริยาดีกว่าตะกรันจากเตาหลอมเหล็กและขี้เถ้าแกลบ

ในการกระตุ้นปฏิกิริยาปอซโซลาน ด้วยสารเคมีร่วมความร้อน Shi,C. และ R.L.,1993 [17] ได้ศึกษาเกี่ยวกับการกระตุ้นปฏิกิริยาของซีเมนต์ผสมระหว่างปูนขาวและวัสดุปอซ โซลานธรรมชาติ โดยใช้สารเคมี 4 ชนิดกระตุ้นปฏิกิริยา คือ แคลเซียมคลอไรค์(CaCl,,2H,O) โซเคียมซัลเฟต (Na_2SO_4) แคลเซียมซัลเฟต ($CaSO_4.0.5H_2O$) และ โซเคียมคลอไรค์(NaCl) โดยใช้ ความเข้มข้นตั้งแต่ 0-8 % นอกจากนี้ได้ใช้การบ่มที่อุณหภูมิสูงถึง 50°C ร่วมด้วย ผลการศึกษา สามารถเพิ่มกำลังรับแรงอัดให้กับเพสต์ได้อย่างมีนัยสำคัญ พบว่าการเติมสารเคมีประเภทค่าง โดยเฉพาะ โซเดียมซัลเฟตซึ่งสามารถเพิ่มกำลังรับแรงอัดได้ดีทั้งในระยะเริ่มต้นและระยะสุดท้าย ระดับความเข้มข้นที่เหมาะสมคือ 2-4 % โดยน้ำหนักวัสคุยึดประสาน นอกจากนี้ แคลเซียมคลอ ไรด์จะไม่มีความสำคัญต่อกำลังอัดในช่วง 3 วัน ปริมาณที่เหมาะสมและคุ้มค่าคือ 4 % ส่วน แคลเซียมซัลเฟตมีผลต่อการพัฒนากำลังอัดที่ 28 วัน โซเดียมคลอไรด์ แทบจะไม่มีผลต่อการ พัฒนากำลังอัด ซึ่งเมื่อทำการเปรียบเทียบสารเคมีในการกระตุ้นที่ให้กำลังอัดสูงสุดคือ แคลเซียม คลอไรค์และโซเดียมซัลเฟต ที่ปริมาณการผสม 4 % ส่วนการใช้สารเคมี 2 ชนิคร่วมกันระหว่าง จะมีอัตราการพัฒนากำลังอัดน้อยมากจนเกือบเท่ากับการใช้ แคลเซียมคลอไรด์และ โซเดียม โซเดียมซัลเฟตในการกระตุ้นเพียงอย่างเดียว

หลังจากเมื่อทำการหล่อแข็งกากตะกอนโลหะหนัก ก่อนที่จะลงแหล่งฝังกลบจึงต้องมีการ รั่วใหลของกากตะกอนออกมาจากก้อนหล่อแข็งของเสีย โดยวิธีการทดสิบต่างๆ หลายวิธี เช่น TCLP, DLT เป็นต้น ซึ่งโดยมีนักวิจัย Asavapisit, S., Intarawong, S. และ Harnwajanawong, N., 2003 [18] ศึกษาพฤติกรรมการชะละลายของโลหะหนักจากก้อนหล่อแข็งของเสียประเภทสังกะสีใชยาในท์ โดยใช้วิธีการทดสอบคือ TCLP, DLT และ การควบคุมค่า pH โดยค่า pH ที่ใช้คือ 4.0, 8.0 และ 11.0 ของสารชะละลาย วัสดุยึดประสานที่ใช้ในการหล่อแข็งคือ OPC และ OPC กับ 10 % ของ Pulverized Fuel Ash (PFA) และใช้ค่า W/S = 0.5 จากการศึกษาพบว่าจากวิธี TCLP Cr ถูกชะ ละลายออกมามากที่สุดแต่ไม่เกินค่ามาตรฐานของ US.EPA ส่วนในภาวะที่ใช้การทดสอบแบบ DLT Zn, Fe และ Cr จะถูกชะละลายใน 0.1 N ของกรดอะซิติกมากกว่าในฝนกรดสังเคราะห์และ ใน Deionized Water และในการควบคุม pH การชะละลายของโลหะหนักใน pH = 4 จะมีมากที่สุด

ในงานวิจัยนี้ได้นำเถ้าแลบคำที่เป็นกากของเสียที่เหลือใช้ทางการเกษตรกรรม มาใช้ในการ บำบัดกากตะกอนโลหะหนักร่วมกับปูนขาว ในสภาวะที่มีและไม่มีการกระตุ้นด้วยสารเคมี ความ ร้อน และสารเคมีร่วมกับความร้อน โดยทำการทดสอบคุณภาพของก้อนหล่อแข็งของเสียด้วย การ ทคสอบกำลังรับแรงอัด ความสามารถในการกักเก็บโลหะหนัก ซึ่งถ้าสามารถนำเถ้าแกลบมาใช้ เป็นวัสดุยึดประสานแทนปูนซีเมนต์ได้ในการบำบัดของเสียอันตรายประเภทกากตะกอนโลหะ หนักได้ จะสามารถลดลผลกระทบต่อสิ่งแวดล้อมที่เกิดจากของเสียประเภทนี้และยังประหยัด พลังงานที่ต้องสูญเสียในการผลิตปูนซีเมนต์ได้อีกด้วย

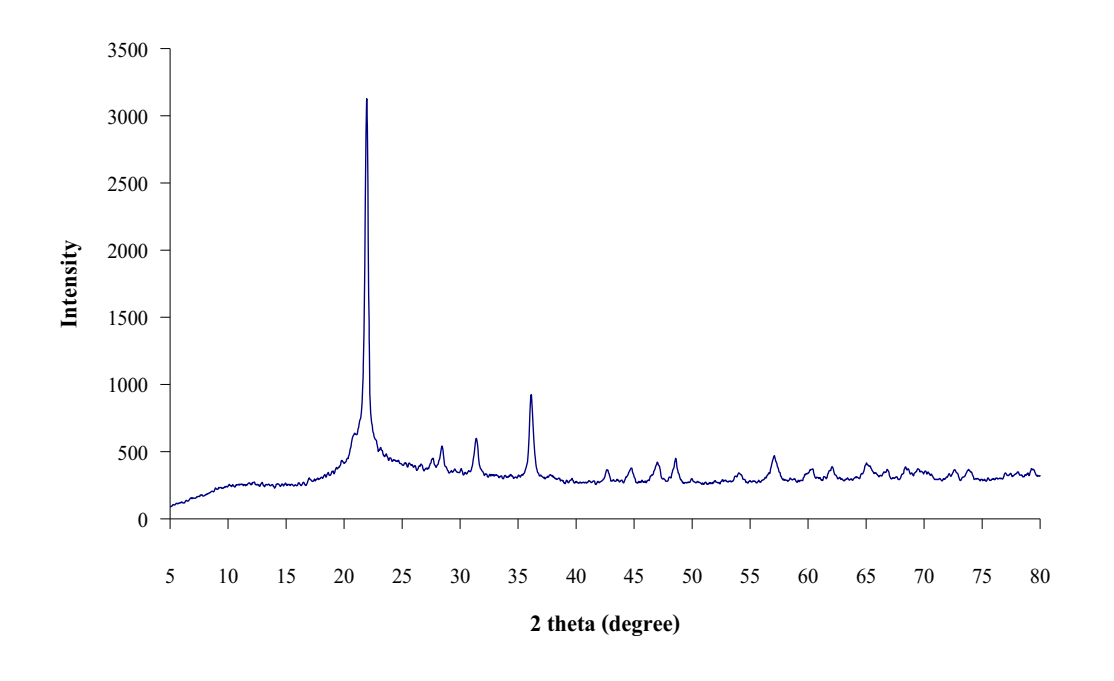
3. วิธีการดำเนินงานวิจัย

3.1 ขั้นตอนการเตรียมวัสดุ

3.1.1 การเตรียมเถ้าแกลบดำ

ก. นำเถ้าแกลบคำที่ได้จากโรงสีที่ใช้แกลบเป็นเชื้อเพลิงในการอบแห้งข้าวเปลือกใน Boiler มาบคด้วยเครื่อง Los Angeles Abrasion Machine โคยใช้ลูกเหล็กจำนวน 12 ลูก ความเร็วรอบ 30 - 33 รอบ/นาที น้ำหนักลูกเหล็กรวม 2500 ± 10 กรัม นาน 5 ชั่วโมง ให้มีขนาคอนุภาคเล็กกว่า 45 ไมครอน ซึ่งได้จากการร่อนผ่านตะแกรงเบอร์ 325 โคยใช้การร่อนแบบเปียกให้มีเปอร์เซ็นต์คงค้าง บนตะแกรงไม่เกิน 34 % ตามมาตรฐาน ASTM C 618 – 91

ข. นำเถ้าแกลบดำที่ผ่านการบดไปตรวจดูโครงสร้างผลึกของซิลิกอนไดออกไซด์ที่อยู่ในเถ้า แกลบดำ ด้วย X-Ray Diffraction ได้ผลการวิเคราะห์ดังแสดงในรูปที่ 1



รูปที่ 1 วิเคราะห์โครงสร้างผลึกของซิลิกอนไดออกไซด์โดย X-Ray Diffraction

โดยปกติกราฟของซิลิกอนใดออกใชด์มีจุดยอดสูงสุดปรากฏอยู่ที่ 24 degree ของ 2 theta แต่จากรูปที่ 1 ผลการวิเคราะห์พบว่ากราฟมีจุดยอดสูงสุดอยู่ที่ 22 degree ของ 2 theta ซึ่งน่าจะเป็น ผลึกของซิลิกอนใดออกใชด์ แต่อาจจะเกิดการปนเปื้อนของสารบางอย่างทำให้ degree ของ 2 theta เปลี่ยนไปเล็กน้อย สำหรับรูปแบบของกราฟซิลิกอนใดออกไซด์มีลักษณะที่เป็นยอดแหลม และมีฐานค่อนข้างกว้าง ซึ่งอาจเป็นไปได้ว่า ซิลิกอนใดออกไซด์ที่อยู่ในเถ้าแกลบดำ มีทั้งที่เป็น โครงสร้างแบบผลึกผสมกับโครงสร้างแบบอสัณฐาน

ค. นำเถ้าแกลบดำที่ผ่านการบดไปวิเคราะห์ปริมาณซิลิกอนไดออกไซด์โดยเครื่อง X-Ray Fluorescence (XRF) ซึ่งได้ผลการวิเคราะห์ดังแสดงในตารางที่ 6

ตารางที่ 6 องค์ประกอบทางเคมีของเถ้าแกลบคำที่วิเคราะห์ด้วยเครื่อง XRF

องค์ประกอบ	เถ้าแกลบดำ				
Silicon Dioxide (SiO ₂) %	94.45				
Aluminum Oxide (Al ₂ O ₃) %	< 0.01				
Iron Oxide (Fe ₂ O ₃) %	0.14				
Calcium Oxide (CaO) %	0.80				
Magnesium Oxide (MgO) %	0.26				
Sulfur Trioxide (SO ₃) %	0.04				
Loss on Ignition (LOI) %	2.45				

ผลการวิเคราะห์องค์ประกอบของเถ้าแกลบคำด้วยเครื่อง XRF พบว่า เถ้าแกลบคำมี ปริมาณซิลิกอนใดออกใชค์สูงสุดถึงร้อยละ 94.45 ซึ่งสอดคล้องกับมาตรฐานASTM C 618 - 91 ที่ระบุว่า วัสดุที่มีคุณสมบัติเป็นวัสดุปอชโซลาน จะต้องมีปริมาณ ซิลิกอนใดออกใชค์, อลูมิเนียม ออกใชค์ และเฟอร์ริคออกใชค์ รวมกันมากว่าร้อยละ 70

ง. นำเถ้าแกลบคำที่ผ่านการบดมาทำการทดสอบดัชนีกำลัง (Strength Activity Index) ตาม มาตรฐานASTM C 618 - 91 โดยนำเถ้าแกลบคำมาแทนที่ปูนซีเมนต์ 20 % ในมอร์ต้า และทดสอบ กำลังรับแรงอัดที่อายุ 7 และ 28 วัน ได้ค่ากำลังรับแรงอัดดังแสดงในตารางที่ 7

ตารางที่ 7 ผลการทดสอบดัชนีกำลัง

ตัวอย่างมอร์ต้า	อายุการบ่ม (วัน)			
M 199 1/199 141	7	28		
ซีเมนต์	215.4	606.8		
ซีเมนต์+เถ้าแกลบคำ 20 %	161.6	579.0		
เปรียบเทียบ (%)	75.0	95.4		

ตามมาตรฐาน ASTM C 618 - 91 ระบุว่าวัสคุที่จัดว่าเป็นวัสคุปอชโซลาน เมื่อนำมาผสม มอร์ต้าโดยแทนที่ปูนซีเมนต์ในปริมาณร้อยละ 20 จะต้องมีค่าดัชนีกำลังไม่น้อยกว่า 75% มอร์ต้า ปกติ จากตารางที่ 7 ค่ากำลังรับแรงอัดที่อายุการบ่ม 7 และ 28 วัน โดยเฉลี่ยค่ากำลังรับแรงอัดเฉลี่ย จาก 5 ตัวอย่าง มีค่าเท่ากับ 161.6 และ 579.0 กก./ชม² ตามลำดับ คิดเป็นร้อยละ 75 และ 95.4 ของ กำลังรับแรงอัดของมอร์ต้าปกติ ซึ่งสามารถนำมาใช้เป็นวัสคุแทนปูนซีเมนต์ปอร์ตแลนค์ได้

3.1.2 การเตรียมสารกระตุ้นปฏิกิริยา

สารกระคุ้นปฏิกิริยา (Activator) ที่ใช้ในงานวิจัยนี้คือ สารละลายโซเดียมซิลิเกต (Na₂Si₃O₇) โดยทำการปรับอัตราส่วนของค่า Alkali Modulus (SiO₂:Na₂O) ให้ได้ 1.0, 2.0 และ 3.0 ด้วยสารละลายโซเดียมไฮดรอกไซด์ (NaOH) จากนั้นเติมสารละลายที่ผสมแล้วในของผสม ระหว่างตัวยึดประสานและกากตะกอนโลหะหนัก ในปริมาณร้อยละ 0.5, 1.0 และ 1.5 รายละเอียด การคำนวณเพื่อปรับอัตราส่วนของค่า Alkali Modulus แสดงในภาคผนวก ก

3.1.3 การเตรียมกากตะกอนโลหะหนัก

กากตะกอนโลหะหนักที่ใช้ในงานวิจัยนี้นำมาจากระบบบำบัดน้ำเสียรวม ทำการตากแห้ง กากตะกอนจนมีน้ำหนักคงที่ จากนั้นทำการบดแล้วร่อนผ่านตะแกรงเบอร์ 40 และทำการวิเคราะห์ หาปริมาณโลหะหนักในกากตะกอนด้วยวิธี Microwave Digestion โดยนำกากตะกอน 0.5 กรัม มา เติมกรดในตริก (65 %) 5 มิลลิลิตร, ไฮโครเจนเปอร์ออกไซค์ (30%) 1 มิลลิลิตร และไฮโครเจน ฟลูออไรค์ (48 %) 1 มิลลิลิตร จากนั้นปิดฝานำตัวอย่างใส่เครื่อง Microwave Digestion นำ สารละลายที่ได้มาปรับปริมาตรเป็น 100 มิลลิลิตร ด้วยน้ำปราสจากไอออน จากนั้นนำไปวิเคราะห์ หาปริมาณโลหะหนักด้วยเครื่อง Atomic Absorption Spectrophotometer (AAS) ซึ่งความเข้มข้น ของโลหะหนักในกากตะกอนแสดงในตารางที่ 8

ตารางที่ 8 ความเข้มข้นของ โลหะหนักในกากตะกอน (กรัม / กก. กากตะกอนแห้ง)

องค์ประกอบ	ความเข้มข้น (กรัม/กิโลกรัม น้ำหนักแห้ง)	องค์ประกอบ	ความเข้มข้น (กรัม/กิโลกรัม น้ำหนักแห้ง)
สังกะสี	12.75	นิเกิล	14.25
เหล็ก	354	โครเมี่ยม	8.37
อาร์เซนิก	5.54	ตะกั่ว	3.43
แคดเมี่ยม	0.69	ทองแดง	4.40

3.2 การเตรียมตัวอย่างและการทดสอบ

3.2.1 การหาปริมาณน้ำที่เหมาะสมของแต่ละอัตราส่วนผสมของก้อนหล่อแข็ง

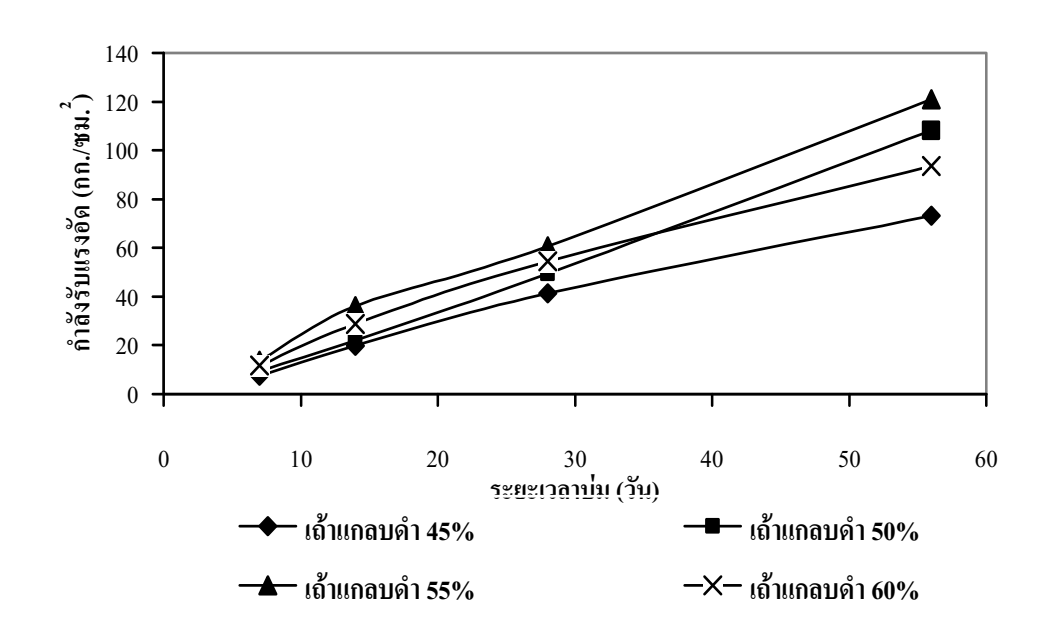
ปริมาณน้ำที่ใช้ในการเตรียมก้อนหล่อแข็งจะถูกนำไปใช้ในการทำปฏิกิริยาปอซโซลาน ซึ่งปริมาณน้ำที่ใช้ต้องเพียงพอกับความต้องการ ถ้าปริมาณน้ำมีมากจะทำให้ก้อนหล่อแข็งมี ความแข็งแรงต่ำลง เนื่องมาจากน้ำที่ระเหยออกจากก้อนหล่อแข็งในช่วงการบ่มจะทำให้เกิด ช่องว่างขึ้นในก้อนหล่อแข็ง ปริมาณน้ำที่ใช้ผสมสามารถหาได้จากการประยุกต์วิธีทดสอบตาม ASTM C 187 – 86 โดยใช้ชุดเครื่องทดสอบ Vicat Apparatus หาความข้นเหลวปกติ (Normal Consistency) ปริมาณน้ำที่ใช้ในการผสมสำหรับแต่ละส่วนผสมแสดงในตารางที่ 9

3.2.2 การหาอัตราส่วนที่เหมาะสมระหว่างเถ้าแกลบดำและปูนขาว

การหาอัตราส่วนที่เหมาะสมระหว่างเถ้าแกลบคำและปูนขาว ทำการศึกษาโดยแปรเปลี่ยน อัตราส่วนระหว่างเถ้าแกลบคำและปูนขาวที่ 45:55, 50:50, 55:45 และ 60:40 โดยเตรียมก้อน ตัวอย่างในแบบหล่อทรงกระบอกที่ทำจากท่อ PVC ขนาดเส้นผ่าศูนย์กลาง 5 เซนติเมตร สูง 10 เซนติเมตร และประยุกต์วิธีการผสมจาก ASTM C 305 - 94 ทำการบ่มที่อุณหภูมิห้อง จากนั้นทำ การทดสอบกำลังอัดที่อายุ 7, 14, 28 และ 56 วัน โดยค่ากำลังอัดที่ได้เฉลี่ยจากชุดตัวอย่างซึ่งมีชุด ละ 3 ตัวอย่าง โดยใช้ระดับความเชื่อมั่นที่ 95 เปอร์เซ็นต์

ตารางที่ 9 ปริมาณน้ำที่เหมาะสมสำหรับแต่ละส่วนผสม

เถ้าแกลบดำ : ปูนขาว	น้ำ (ร้อยละ โดยน้ำหนัก)		
45:55	57.5		
50:50	58.0		
55:45	58.5		
60:40	59.0		
เถ้าแกลบดำ : ปูนขาว (55 : 45)	น้ำ		
ปริมาณกากตะกอนโลหะหนัก	ไ (ร้อยละโดยน้ำหนัก)		
(ร้อยละ โดยน้ำหนัก)			
(ร้อยละ โคยนำหนัก) 10 %	58.5		
	58.5 59.5		



ร<mark>ูปที่ 6</mark> การพัฒนากำลังรับแรงอัคของซีเมนต์ที่เตรียมจากเถ้าแกลบคำและปูนขาว

รูปที่ 6 แสดงการพัฒนากำลังอัดของซีเมนต์ที่เตรียมจากเถ้าแกลบดำและปูนขาว พบว่า ทุกอัตราส่วนผสมของซีเมนต์ที่เตรียมจากเถ้าแกลบดำและปูนขาว มีการพัฒนากำลังรับแรงอัด สูงขึ้น เมื่ออายุการบ่มเพิ่มขึ้น เนื่องจากเถ้าแกลบคำและปูนขาวทำปฏิกิริยาปอซโซลานิก และให้ CSH gel เป็นผลผลิตที่มีสมบัติในการยึดประสาน ทำให้กำลังรับแรงอัดของซีเมนต์เพิ่มขึ้น

ปกติ Calcium Oxide (CaO) เมื่อละลายน้ำเกิดเป็นแคลเซียมไฮดรอกไซด์ (Ca(OH)2) ซึ่ง สามารถเข้าทำปฏิกิริยากับซิลิกอนไดออกไซด์ (SiO2) ที่เป็นองค์ประกอบหลักอยู่ในเถ้าแกลบดำ โดยในสภาพที่เป็นค่างสูง (pH มากกว่า 12.7) ซิลิกอนไดออกไซด์สามารถละลายออกจากอนุภาค เถ้าแกลบดำ และอยู่ในรูปของ ${\rm SiO}_4^+$ ซึ่งสามารถเข้าทำปฏิกิริยากับ ${\rm Ca}^{2^+}$ ที่แตกตัวออกมาจาก ${\rm Ca}({\rm OH})_2$ ได้ผลิตภัณฑ์ที่มีสมบัติในการยึดประสานคือ CSH gel เคลือบอยู่เป็นชั้นบางๆที่ผิวของ อนุภาคเถ้าแกลบดำ ดังนั้นปฏิกิริยาปอสโซลานจึงเกิดจากการแพร่กระจายของอิออนต่างๆผ่านชั้น ที่หนาแน่นด้วยผลิตภัณฑ์ไฮเดรตที่เกิดจากวัสดุปอสโซลานกับ ${\rm Ca}({\rm OH})_2$ [3]

สมการการเกิดปฏิกิริยาปอซโซลานระหว่างปูนขาวกับซิลิกอนไดออกไซด์

$$RO \xrightarrow{H_2O} R(OH)_2 + OH$$

$$R(OH)_2 + SiO_2 \xrightarrow{H_2O} xRO.y SiO_2.zH_2O$$

โดยที่ R= แคลเซียม ใอออน (Ca^{2^+}) และ w,x,y,z เป็นตัวแปรที่ขึ้นกับชนิดของ CSH

จากรูปที่ 6 พบว่ากำลังรับแรงอัดของก้อนหล่อแข็งที่อายุการบ่ม 28 วัน ของอัตราส่วน ผสมระหว่างเถ้าแกลบดำและปูนขาวที่ 45:55, 50:50, 55:45 และ 60:40 มีค่าซิลิกอนไดออกไซด์ เท่ากับ 41.5, 49.6, 60.7 และ 54.6 กก./ซม.² ตามลำดับ ผลการทดสอบพบว่าที่อัตราส่วนระหว่าง เถ้าแกลบดำและปูนขาวที่ 55:45 มีการพัฒนากำลังรับแรงอัดสูงสุดในทุกอายุการบ่ม เนื่องจากที่ อัตราส่วนดังกล่าวมีปริมาณปูนขาวที่พอเพียงสำหรับการเกิดปฏิกิริยาปอซโซลานกับเถ้าแกลบดำ ในขณะที่อัตราส่วนที่ 60:40 จะมีปริมาณปูนขาวไม่พอเพียงสำหรับการเกิดปฏิกิริยาปอซโซลาน กับเถ้าแกลบคำที่มีอยู่ในส่วนผสมทั้งหมด ทำให้เกิดผลิตภัณฑ์ CSH gel ได้น้อยกว่าซึ่งส่งผลต่อ กำลังรับแรงอัด เช่นเดียวกันกับที่อัตราส่วนระหว่างเถ้าแกลบคำและปูนขาวที่ 45:55 และ 50:50 มี ปริมาณปูนขาวมากเกินพอทำให้สัดส่วนของเถ้าแกลบคำในส่วนผสมลดลง ดังนั้นกำลังรับแรงอัด จึงมีค่าต่ำกว่าอัตราส่วนระหว่างเถ้าแกลบคำกับปูนขาวที่ 55:45 [19]

3.2.3 ผลการศึกษากำลังรับแรงอัดของซีเมนต์ผสมระหว่างเถ้าแกลบดำและปูนขาวที่มีการกระตุ้น ปฏิกิริยาด้วยสารเคมี ความร้อน และสารเคมีร่วมกับความร้อน

ในงานวิจัยนี้ได้ทำการศึกษาการกระตุ้นปฏิกิริยาปอสโซลานระหว่างเถ้าแกลบดำและปูน ขาวโดยใช้สารเคมี, ความร้อน และสารเคมีร่วมกับความร้อน โดยนำอัตราส่วนที่เหมาะสมระหว่าง เถ้าแกลบกับปูนขาวที่ 55:45 มาใช้ในการศึกษาตลอดงานวิจัย

3.2.3.1 การศึกษากำลังรับแรงอัดของซีเมนต์ผสมระหว่างเถ้าแกลบดำและปูนขาวในสภาวะที่มี การกระตุ้นปฏิกิริยาด้วยสารเคมี

การพัฒนากำลังรับแรงอัดของซีเมนต์ผสมที่เตรียมจากเถ้าแกลบคำและ ปูนขาวที่อัตราส่วน 55:45 ในสภาวะที่มีการกระตุ้นด้วยสารละลายโซเดียมซิลิเกตที่มีการ แปรเปลี่ยนค่า Alkali Modulus ที่ 1.0, 2.0 และ 3.0 ในปริมาณร้อยละ 0.5, 1.0 และ 1.5 โดย ปริมาตรต่อน้ำหนักวัสดุยึดประสาน แสดงดังรูปที่ 7 ก - ค

กำลังรับแรงอัดของซีเมนต์ผสมที่มีอายุ 1 วันในสภาวะที่ไม่มีการกระคุ้นปฏิกิริยาด้วย สารละลายโซเดียมซิลิเกต ไม่สามารถนำมาทำการทดสอบกำลังรับแรงอัดได้ เนื่องจากตัวอย่างมี ความชื้นสูงและไม่สามารถถอดจากแบบหล่อได้ ในขณะที่ซีเมนต์ผสมที่กระคุ้นปฏิกิริยาด้วย สารละลายโซเดียม-ซิลิเกตที่ Alkali Modulus 1.0 ในปริมาณร้อยละ 0.5, 1.0 และ 1.5 มีค่ากำลังรับ แรงอัดเท่ากับ 2.16, 3.64 และ 6.65 กก./ซม² ตามลำดับ และเมื่อค่า Alkali Modulus เพิ่มขึ้นเป็น 2.0 และ 3.0 ก้อนตัวอย่างที่มีสารละลายโซเดียมซิลิเกตในปริมาณร้อยละ 0.5, 1.0 และ 1.5 ให้ค่า กำลังรับแรงอัดเท่ากับ 1.75, 3.13, 5.41 กก./ซม.² และ 1.17, 2.42, 4.07 กก./ซม.² ตามลำดับ

สาเหตุที่ โซเคียมซิลิเกตสามารถพัฒนากำลังรับแรงอัคได้คีในช่วงระยะ 1 วันแรก เนื่องมาจาก 2 สาเหตุหลัก คือสาเหตุแรกเนื่องจากโซเคียมซิลิเกตสามารถเข้าทำปฏิกิริยากับปูนขาว (Ca(OH)₂) ได้ โดยตรง ทำให้ได้ผลผลิตเป็น CSH gel ซึ่งมีสมบัติในการยึดประสาน ทำให้กำลังรับ แรงอัดสูงขึ้น อีกสาเหตุหนึ่งคือ โซเดียมซิลิเกตที่เติมลงไปสามารถเกิดปฏิกิริยาไฮโดรไลซีสกับน้ำ ได้ NaOH ทำให้ OH ในสารละลายเพิ่มขึ้น จึงสามารถกัดกร่อนพันธะ Si-O ได้ดีขึ้น ส่งผลให้ เกิดปฏิกิริยาปอซโซลานิคมากขึ้น [20]

นอกจากนี้ยังสังเกตเห็นว่าการเติมสารละลายโซเดียมซิลิเกตที่ Alkali Modulus 1.0 ให้ค่า กำลังอัดที่อายุ 1 วันสูงกว่าที่ค่า Alkali Modulus 2.0 และ 3.0 ซึ่งสอดคล้องกับการศึกษาของ Shi และ Day [21] ที่รายงานว่า pH เริ่มต้นของสารละลายมีผลต่อกำลังรับแรงอัดในระยะแรก ดังนั้น การเติมปูนขาวเพียงอย่างเดียวอาจทำให้ค่าความเป็นค่างของสารละลายไม่มากพอที่จะทำลาย พันธะ Si-O ได้ โดยในงานวิจัยนี้พบว่าสารละลายโซเดียมซิลิเกตที่ Alkali Modulus 1.0, 2.0 และ 3.0 มีค่า pH เท่ากับ 12.87, 11.75 และ 11.07 ตามลำดับ

เมื่อทำการพิจารณากำลังรับแรงอัดของซีเมนต์ผสมที่อายุ 3 วัน ในสภาวะที่มีสารละลาย โซเดียมซิลิเกต Alkali Modulus 1.0 ในปริมาณร้อยละ 0, 0.5, 1.0 และ 1.5 พบว่ามีค่าเท่ากับ 2.46, 4.26, 7.72 และ 10.65 กก./ซม.² ตามลำดับ เมื่อค่า Alkali Modulus เพิ่มขึ้นเป็น 2.0 และ 3.0 ก้อน ตัวอย่างที่มีสารละลายโซเดียมซิลิเกตในปริมาณร้อยละ 0.5, 1.0 และ 1.5 ให้ค่ากำลังรับแรงอัด เท่ากับ 4.35, 8.80, 12.03 กก./ซม.² และ 5.87, 10.23, 15.37 กก./ซม.² ตามลำดับ โดยจะเห็นว่าที่อายุ การบ่ม 3 วัน ซีเมนต์ผสมที่มีการกระตุ้นปฏิกิริยาด้วยโซเดียมซิลิเกตที่ Alkali Modulus 3.0 ให้ค่า กำลังรับแรงอัดสูงกว่าที่ Alkali Modulus 2.0 และ 1.0 ตามลำดับ โดยในสภาวะที่มีสารละลาย โซเดียมซิลิเกตที่ทุกค่า Alkali Modulus ให้ค่ากำลังอัดสูงกว่าในสภาวะที่ไม่มีสารละลายโซเดียมซิลิเกต

สาเหตุที่ทำให้ซีเมนต์ผสมที่เติมสารละลายโซเดียมซิลิเกตที่ Alkali Modulus 1.0 ที่อายุ การบ่ม 3 วัน มีอัตราการพัฒนากำลังรับแรงอัดลดลงเมื่อเทียบกับที่เติมสารละลายโซเดียมซิลิเกตที่ Alkali Modulus 2.0 และ 3.0 เนื่องจากที่ Alkali Modulus 1.0 มีความเป็นด่างสูงจึงกัดกร่อน ${
m SiO}_2$ จากเถ้าแกลบดำและก่อตัวเป็น CSH gel อย่างรวดเร็ว และห่อหุ้มอนุภาคเถ้าแกลบดำเป็นชั้นหนา ขึ้น ทำให้อิออนต่างๆในสารละลายแพร่ผ่านชั้นห่อหุ้มของ CSH gel เข้าไปทำปฏิกิริยาปอซโซลาน กับอนุภาคเถ้าแกลบดำได้ช้าลง [21]

กำลังรับแรงอัดของก้อนหล่อแข็งที่อายุ 28 วัน ในสภาวะที่ไม่มีการกระตุ้นปฏิกิริยาด้วย สารละลาย โซเดียมซิลิเกตมีค่ากำลังรับแรงอัดเท่ากับ 60.4 กก./ซม.² และในสภาวะที่มีการกระตุ้น ปฏิกิริยาด้วยสารละลาย โซเดียมซิลิเกตที่ Alkali Modulus 1.0 ในปริมาณร้อยละ 0.5, 1.0 และ 1.5 มีค่ากำลังรับแรงอัดเท่ากับ 21.5, 28.3 และ 41.1 กก./ซม.² ตามลำดับ ก้อนหล่อแข็งที่มีการเติม สารละลาย โซเดียมซิลิเกตที่ Alkali Modulus 2.0 มีค่ากำลังรับแรงอัดเท่ากับ 23.4, 31.5 และ 42.0 กก./ซม.² ตามลำดับ และก้อนหล่อแข็งที่กระตุ้นปฏิกิริยาด้วยสารละลาย โซเดียมซิลิเกตที่ Alkali Modulus 3.0 มีค่ากำลังรับแรงอัดเท่ากับ 25.3, 34.5 และ 56.4 กก./ซม.² ตามลำดับ จะเห็นได้ว่าเมื่อ อายุบ่มมากขึ้นซีเมนต์ผสมที่ไม่มีการกระตุ้นด้วยโซเดียมซิลิเกตมีค่ากำลังรับแรงอัดสูงกว่าตัวอย่าง ที่มีการเติมสารละลาย โซเดียมซิลิเกต ทั้งนี้เนื่องจาก CSH gel ที่เกิดขึ้นในช่วงแรกมีอยู่น้อยจึง

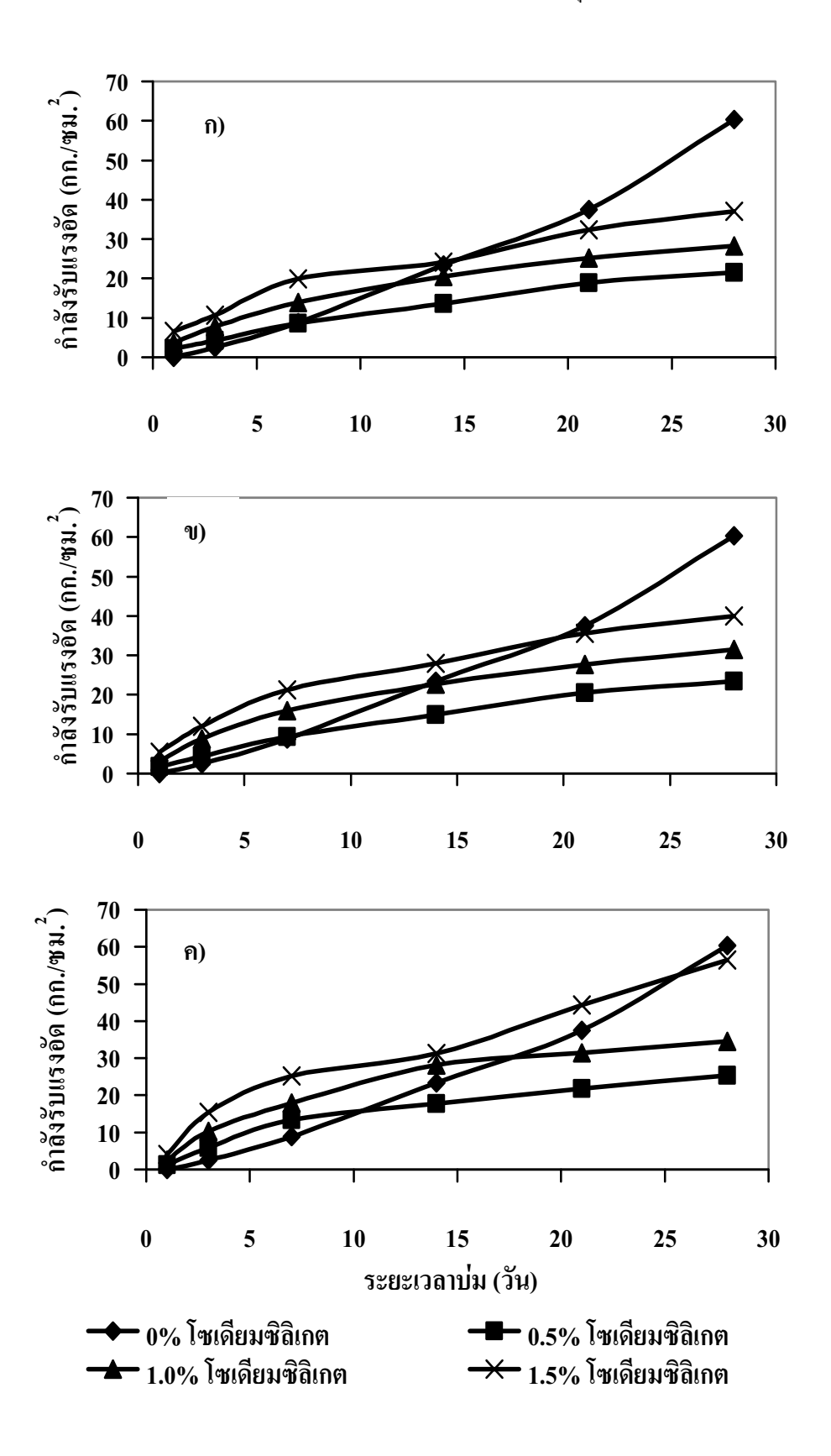
ห่อหุ้มอนุภาคเถ้าแกลบคำเป็นชั้นบางๆ ทำให้อิออนต่างๆในสารละลายสามารถแพร่ผ่านเข้าไปทำ ปฏิกิริยากับเถ้าแกลบคำได้ง่ายกว่า

ในงานวิจัยขั้นต่อไปจะเลือกใช้สารละลายโซเดียมซิลิเกตที่ Alkali Modulus 3.0 ใน ปริมาณร้อยละ 1.5 โดยปริมาตรต่อน้ำหนักวัสดุยึดประสานในการกระตุ้นปฏิกิริยาปอสโซลาน ระหว่างเถ้าแกลบดำและปูนขาว ในการศึกษาความสามารถในการรองรับกากตะกอนโลหะหนักล โดยมีเหตุผลในการเลือกดังนี้

เหตุผลที่ 1 ผลที่ได้จากการทดลอง (รูปที่ 3 ก-ค) พบว่าซีเมนต์ผสมที่มีสารละลายโซเดียม ซิลิเกตที่ Alkali Modulus 3.0 มีการพัฒนากำลังรับแรงอัดในช่วง 3 – 28 วันแรกสูงกว่าที่ Alkali Modulus 2.0 และ 1.0

เหตุผลที่ 2 ความยุ่งยากในขั้นตอนการเตรียมสารละลายโซเคียมซิลิเกตที่ Alkali Modulus ที่ 2.0 และ 1.0 และเมื่อทิ้งไว้จะเกิดการตกตะกอน

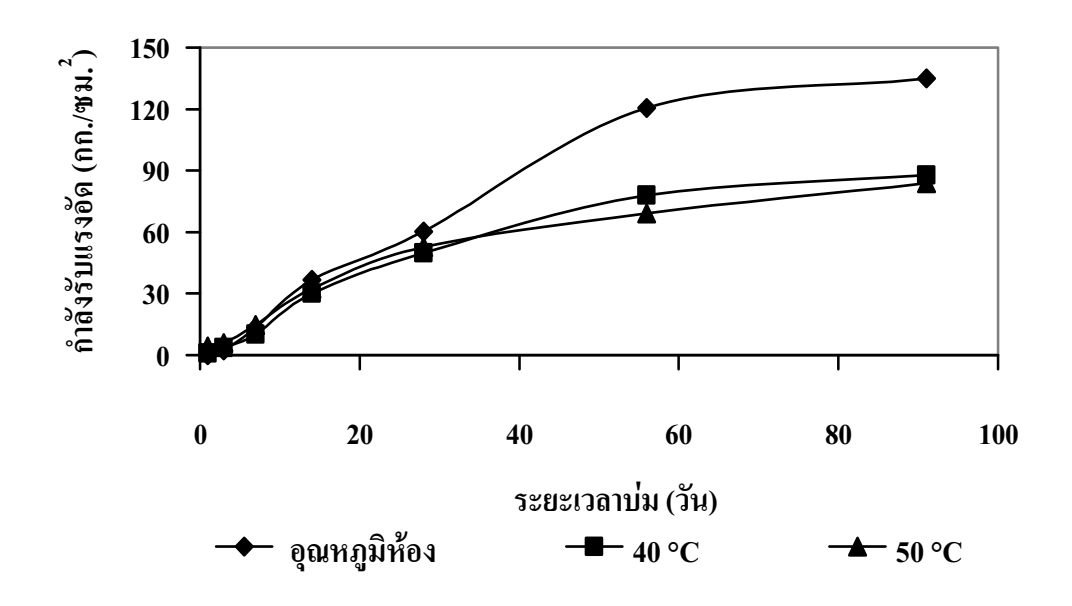
เหตุผลที่ 3 คือ โซเดียมซิลิเกตที่ Alkali Modulus ที่ 3.0 สามารถหาซื้อได้ตามท้องตลาด และราคาถูกกว่าโซเดียมซิลิเกตที่ Alkali Modulus 2.0 สำหรับโซเดียมซิลิเกตที่ Alkali Modulus 1.0 นั้นไม่มีขายตามท้องตลาด ต้องเตรียมขึ้นเองซึ่งมีความยุ่งยากหากมีการนำไปใช้งานจริง



รูปที่ 7 การพัฒนากำลังรับแรงอัดของซีเมนต์ผสมที่กระตุ้นปฏิกิริยาด้วย สารละลายโซเดียมซิลิเกตที่อุณหภูมิห้องที่ ก) Alkali Modulus 1.0, ข) Alkali Modulus 2.0 และ ก) Alkali Modulus 3.0

3.2.3.2 การศึกษากำลังรับแรงอัดของซีเมนต์ผสมระหว่างเถ้าแกลบดำและปูนขาวในสภาวะที่มี การกระตุ้นปฏิกิริยาด้วยความร้อน

ในการกระตุ้นปฏิกิริยาปอชโซลานด้วยความร้อน อัตราส่วนระหว่างเถ้าแกลบดำ:ปูนขาว ที่ใช้คือ 55:45 และบ่มที่อุณหภูมิห้อง (ประมาณ 30 – 32°ซ), 40°ซ และ 50°ซ ใน Water Bath 1 วัน หลังจากนั้นนำมาบ่มต่อที่อุณหภูมิห้อง และทำการทดสอบกำลังอัดที่อายุการบ่ม 1, 3, 7, 14, 21, 28, 56 และ 91 วัน การพัฒนากำลังรับแรงอัดของซีเมนต์ผสมที่บ่มที่อุณหภูมิต่างๆ ดัง แสดง ในรูปที่ 8



รูปที่ 8 การพัฒนากำลังรับแรงอัดของซีเมนต์ผสมที่บ่มที่อุณหภูมิต่างๆ

ซีเมนต์ผสมระหว่างเถ้าแกลบดำและปูนขาวที่อายุการบ่ม 1 วันที่อุณหภูมิห้องไม่สามารถ ทำการทดสอบกำลังรับแรงอัดได้ ในขณะที่ตัวอย่างที่ทำการบ่มที่อุณหภูมิ 40 และ 50° มีค่ากำลัง รับแรงอัดเท่ากับ 0.83 และ 4.11 กก./ชม. 2 ตามลำดับ จะเห็นได้ว่าการพัฒนากำลังรับแรงอัดสูงขึ้น เมื่ออุณหภูมิที่ใช้บ่มสูงขึ้น สาเหตุมาจากเมื่ออุณหภูมิสูงขึ้น จะเร่งให้ SiO_2 ละลายออกมาจาก อนุภาคของเถ้าแกลบดำ และทำปฏิกิริยากับ Ca^{2^+} ในสารละลายเกิดเป็น CSH gel เป็นผลทำให้มี การพัฒนากำลังรับแรงอัดสูงขึ้นในช่วงแรก [22]

ที่อายุการบ่ม 3 - 28 วัน กำลังรับแรงอัดของซีเมนต์ผสมที่บ่มที่อุณหภูมิ 40 และ 50°ซ มี อัตราการพัฒนากำลังรับแรงอัดสูงในช่วงแรกและลดลงจนมีค่าเกือบจะคงที่ สาเหตุมาจาก CSH gel ที่เกิดขึ้นในช่วงแรกห่อหุ้มอนุภาคของเถ้าแกลบดำ ทำให้อิออนต่างๆในสารละลายเข้าไปทำ ปฏิกิริยากับเถ้าแกลบดำได้ในอัตราที่ลดลง ส่วนก้อนหล่อแข็งที่บ่มที่อุณหภูมิห้องมีการพัฒนา กำลังอัดอย่างต่อเนื่องและสม่ำเสมอ ทำให้ในช่วงอายุการบ่มที่มากกว่า 28 วัน กำลังรับแรงอัดมีค่า สูงกว่าซีเมนต์ผสมที่บ่มที่อุณหภูมิ 40 และ 50° ซ

หลังจากอายุการบ่มที่ 28 วัน กำลังรับแรงอัดของซีเมนต์ผสมที่บ่มที่อุณหภูมิห้อง 40 และ 50 °ซ มีค่ากำลังรับแรงอัดเท่ากับ 60.4, 49.7 และ 52.6 กก./ซม.² ตามลำดับ โดยซีเมนต์ผสมที่บ่มที่ อุณหภูมิ 40 และ 50 °ซ มีค่ากำลังอัดเท่ากับร้อยละ 82 และ 87 เมื่อเทียบกับสภาวะที่บ่มที่ อุณหภูมิห้อง และเมื่ออายุการบ่มเพิ่มขึ้นเป็น 91 วัน กำลังรับแรงอัดของซีเมนต์ผสมที่บ่มที่ อุณหภูมิ 50 °ซ มีค่าต่ำกว่าที่บ่มด้วยอุณหภูมิ 40 °ซ เท่ากับร้อยละ 4 ซึ่งสอดคล้องกับงานวิจัยของ Shi และ Day [23] ที่ทำการกระตุ้นปฏิกิริยาระหว่างปูนขาวและเถ้าลอยจากภูเขาไฟ โดยทำการบ่ม ที่อุณหภูมิในช่วง 23 – 65 °ซ พบว่าอุณหภูมิในการบ่มที่สูงส่งผลต่อกำลังรับแรงอัดที่สูงขึ้น [22,24]

3.2.3.3 การศึกษากำลังรับแรงอัดของซีเมนต์ผสมระหว่างเถ้าแกลบดำและปูนขาวในสภาวะที่มี การกระตุ้นปฏิกิริยาด้วยสารเคมีร่วมกับความร้อน

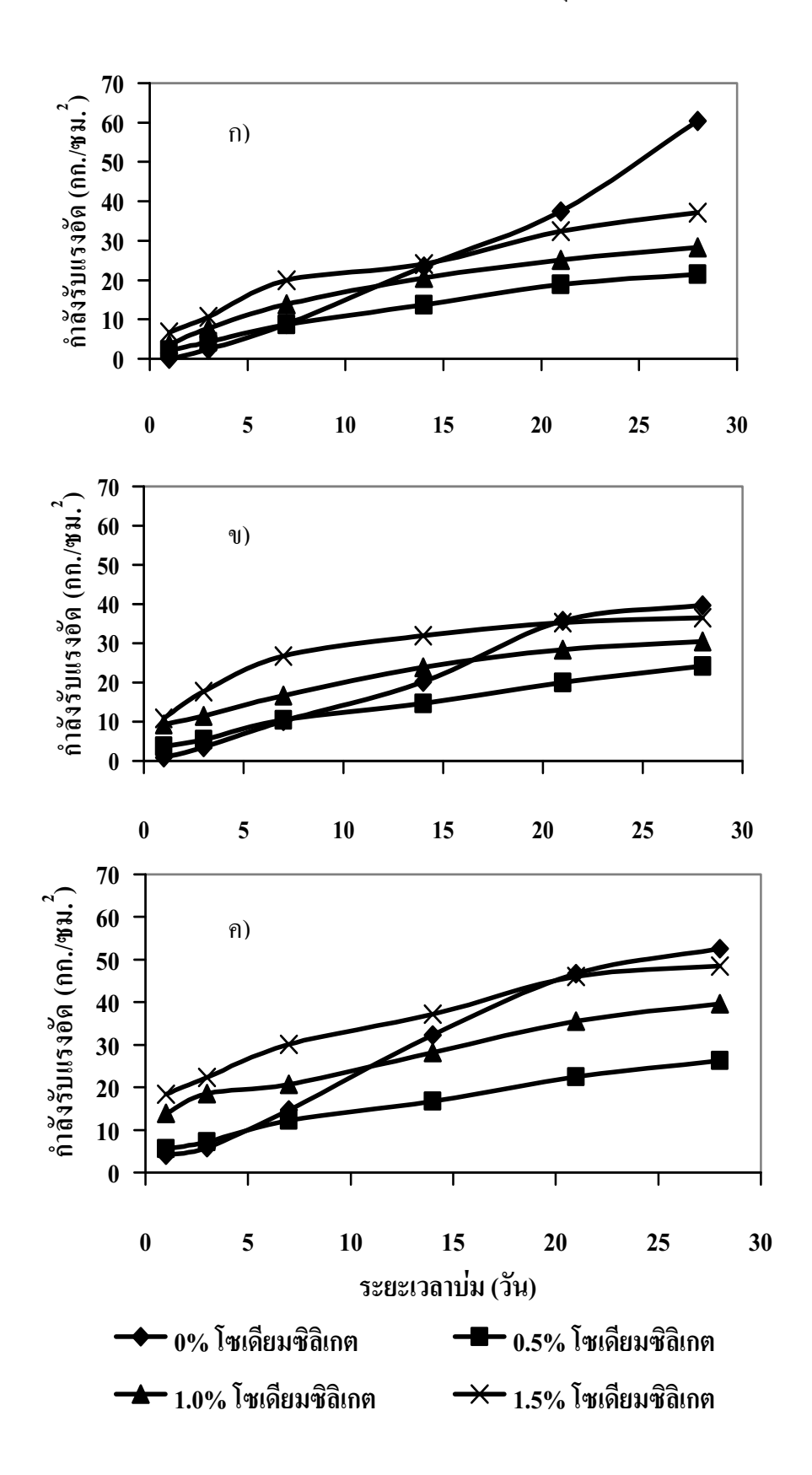
จากการศึกษากำลังรับแรงอัดของซีเมนต์ผสมระหว่างเถ้าแกลบดำและปูนขาวที่อัตราส่วน 55:45 และกระตุ้นปฏิกิริยาด้วยสารละลายโซเดียมซิลิเกต โดยทำการแปรเปลี่ยนค่า Alkali Modulus ที่ 1.0, 2.0 และ 3.0 ในปริมาณร้อยละ 0.5, 1.0 และ 1.5 โดยปริมาตรต่อน้ำหนักวัสดุยึด ประสาน และทำการบ่มที่อุณหภูมิห้อง, 40 และ 50 °ซ รูปที่ 9-11 ก-ค แสดงความสัมพันธ์ระหว่าง การพัฒนากำลังอัดของซีเมนต์ผสมในสภาวะที่มีการกระตุ้นด้วยสารเคมีร่วมกับความร้อนและ ระยะเวลาบ่ม

ที่อายุการบ่ม 1 วัน กำลังรับแรงอัดของซีเมนต์ผสมที่กระตุ้นปฏิกิริยาด้วยสารละลาย โซเดียมซิลิเกตที่ Alkali Modulus 1.0 ในปริมาณร้อยละ 0.5 ที่บ่มที่อุณหภูมิห้อง, 40 และ 50 °ซ มี ค่าเท่ากับ 2.16, 3.73 และ 5.57 กก./ซม.² ตามลำดับ และเพิ่มขึ้นเป็น 21.5, 24.2 และ 26.3 กก./ซม.² ตามลำดับ หลังจากที่ทำการบ่มเป็นเวลา 28 วัน โดยกำลังรับแรงอัดของตัวอย่างที่มีอายุ 1 วันและ ทำการบ่มที่อุณหภูมิ40 และ 50 °ซ สูงกว่าเมื่อทำการบ่มที่อุณหภูมิห้องร้อยละ 173 และ 258 ตามลำดับ และเพิ่มขึ้นในอัตราที่ลดลงเหลือร้อยละ 112 และ 122 ตามลำดับ หลังจากบ่มเป็นเวลา 28 วัน (รูปที่ 9 ก-ค)

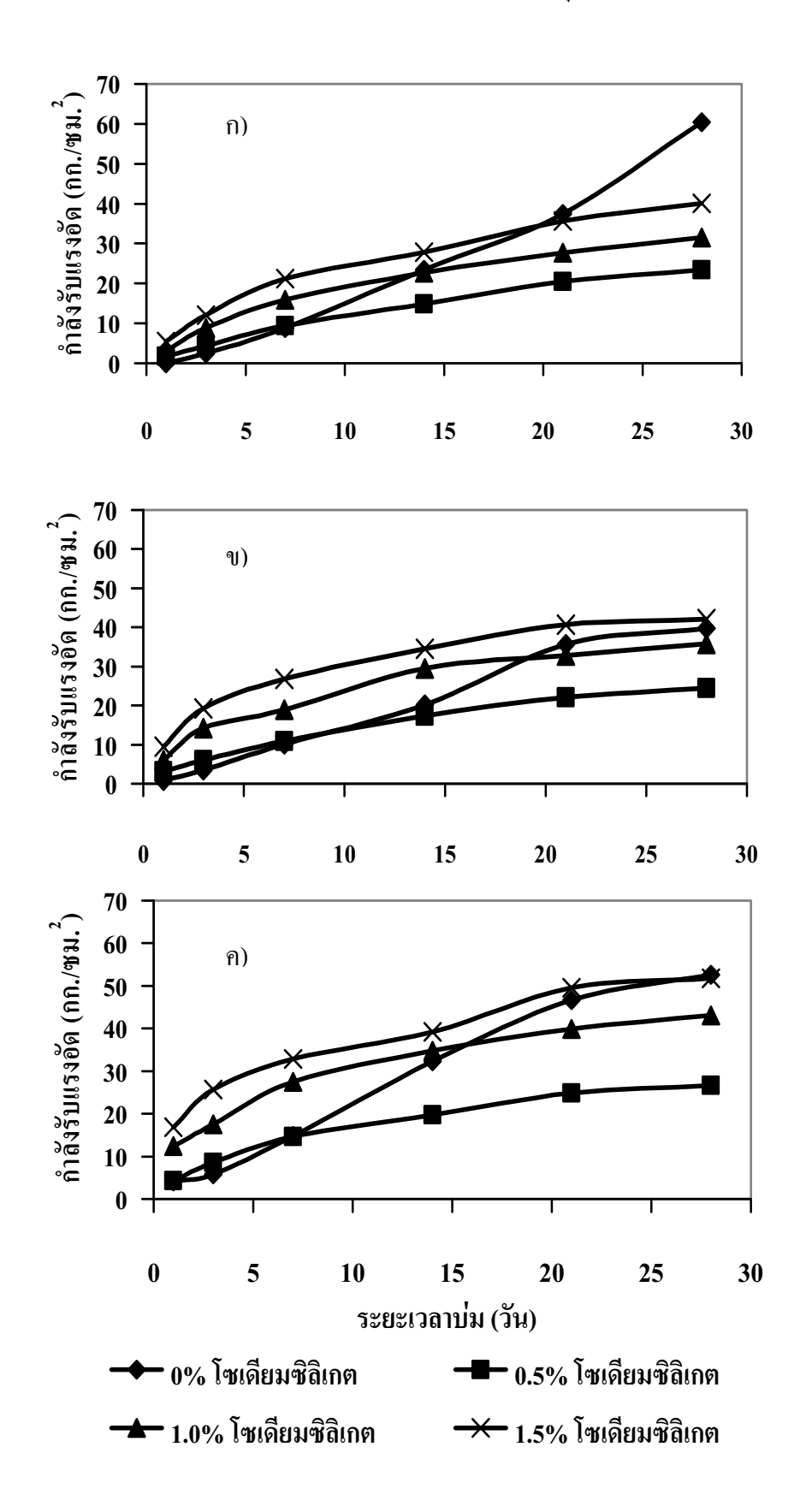
กำลังรับแรงอัดของซีเมนต์ผสมที่มีสารละลายโซเดียมซิลิเกตที่ Alkali Modulus 1.0 ใน ปริมาณร้อยละ 0, 0.5, 1.0 และ 1.5 และทำการบ่มที่อุณหภูมิ 40 °ซ เป็นเวลา 1 วัน พบว่าให้ค่า กำลังรับแรงอัดเท่ากับ 0.83, 3.73, 9.30 และ 10.89 กก./ซม.² ตามลำดับ และเพิ่มขึ้นเป็น20.2, 14.6, 23.9 และ 31.9 กก./ซม.² ตามลำดับ หลังจากที่บ่มเป็นเวลา 14 วัน และเพิ่มขึ้นอีกจนเท่ากับ 39.7, 24.2, 30.5 และ 36.2 กก./ซม.² ตามลำดับ ที่อายุ 28 วัน (รูปที่ 9 ข) จะเห็นว่าซีเมนต์ผสมที่มีการ กระตุ้นปฏิกิริยาด้วยสารเคมีร่วมกับความร้อน มีการพัฒนากำลังรับแรงอัดค่อนข้างมากในช่วง 7 วันแรกของการบ่ม และอัตราการพัฒนากำลังรับแรงอัดเพิ่มขึ้นในอัตราที่ลดลงจนเกือบจะมีค่าคงที่ หลังจากนั้น

การพัฒนากำลังรับแรงอัดของซีเมนต์ผสมที่มีสารละลายโซเดียมซิลิเกตที่ Alkali Modulus 1.0 ในปริมาณร้อยละ 0, 0.5, 1.0 และ 1.5 และทำการบ่มที่อุณหภูมิ 50 °ซ มีการเปลี่ยนแปลงที่มี แนวโน้มคล้ายกันกับตัวอย่างที่บ่มที่อุณหภูมิห้อง และ 40 °ซ แต่มีอัตราการพัฒนากำลังอัดที่สูง กว่า (รูปที่ 9 ค)

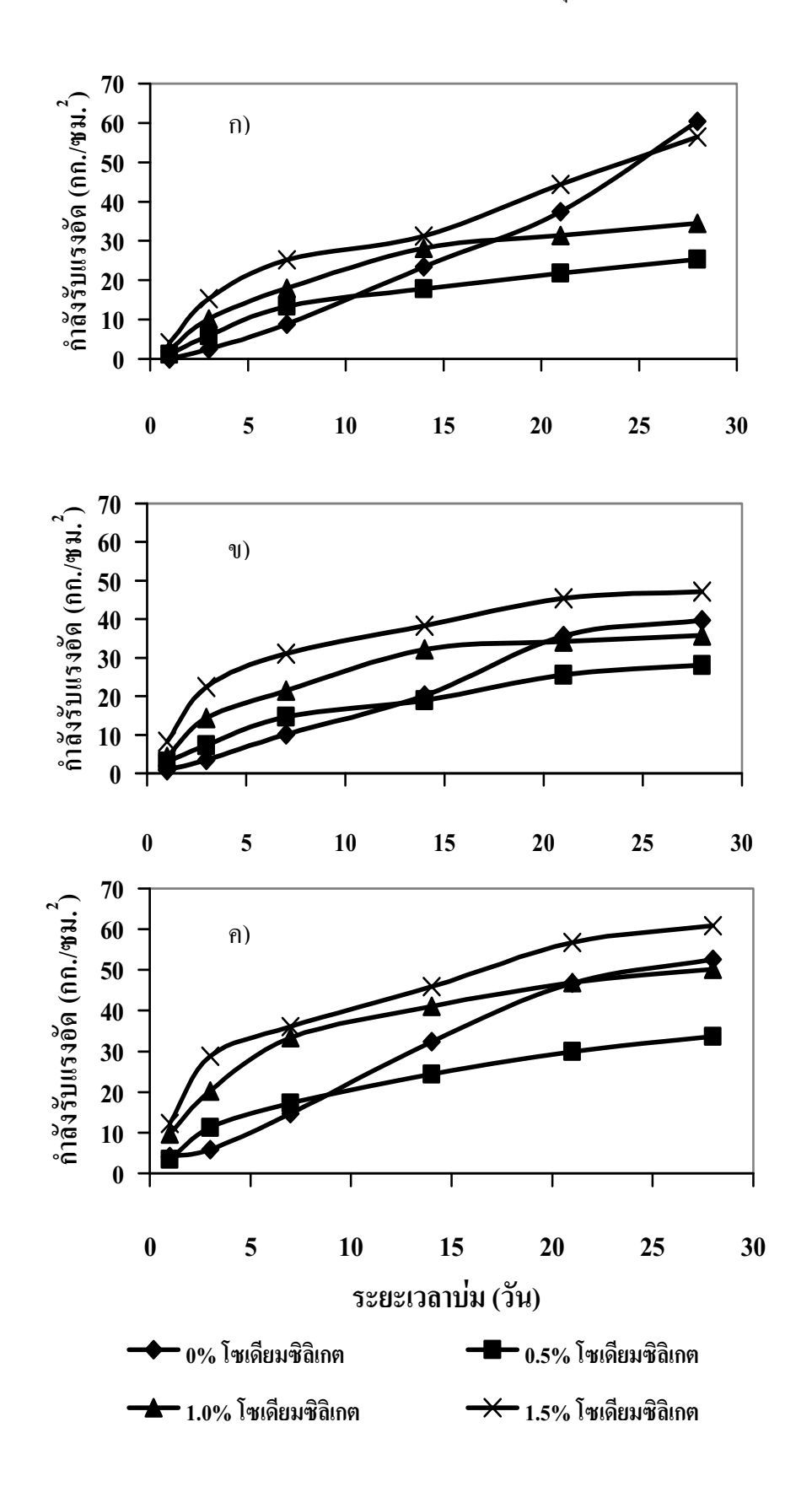
ซีเมนต์ผสมที่มีการกระตุ้นปฏิกิริยาด้วยโซเดียมซิลิเกตที่ Alkali Modulus 2.0 และ 3.0 ใน ปริมาณต่างๆกัน ให้ผลการพัฒนากำลังรับแรงอัดในลักษณะเดียวกันกับที่ Alkali Modulus 1.0 โดย ซีเมนต์ผสมที่มีการเติมโซเดียมซิลิเกตที่ Alkali Modulus 3.0 ให้ค่ากำลังรับแรงอัดสูงกว่าที่ Alkali Modulus 2.0 ในช่วงอายุการบ่ม 28 วัน นอกจากนี้กำลังรับแรงอัดของซีเมนต์ผสมเพิ่มขึ้นเมื่อ ปริมาณโซเดียมซิลิเกตและอุณหภูมิในการบ่มเพิ่มขึ้น (รูปที่ 10 และ 11 ก-ค)



ร**ูปที่ 9** การพัฒนากำลังรับแรงอัดของซีเมนต์ผสมที่กระตุ้นปฏิกิริยาด้วยโซเดียมซิลิเกตที่ Alkali Modulus 1.0 และบ่มที่ ก) อุณหภูมิห้อง, ข) 40°ซ และ ค) 50°ซ



ร**ูปที่ 10** การพัฒนากำลังรับแรงอัดของซีเมนต์ผสมที่กระตุ้นปฏิกิริยาด้วยโซเคียมซิลิเกตที่ Alkali Modulus 2.0 และบ่มที่ ก) อุณหภูมิห้อง, ข) 40°ซ และ ค) 50°ซ



ร**ูปที่ 11** การพัฒนากำลังรับแรงอัดของซีเมนต์ผสมที่กระตุ้นปฏิกิริยาด้วยโซเคียมซิลิเกตที่ Alkali Modulus 3.0 และบ่มที่ ก) อุณหภูมิห้อง, ข) 40°ซ และ ค) 50°ซ

การที่ซีเมนต์ผสมที่มีการกระตุ้นด้วยสารละลาย โซดียมซิลิเกตร่วมกับความร้อน มีการพัฒนา กำลังรับแรงอัด ในช่วงแรกสูงกว่าซีเมนต์ผสมที่มีการกระตุ้นด้วยสารละลาย โซดียมซิลิเกต หรือ ความร้อนเพียงอย่างเดียว เนื่องจากการเติมสารละลาย โซดียมซิลิเกตทำให้สภาพความเป็นด่างของ สารละลายที่อยู่ภาย ในซีเมนต์ผสมสูงขึ้น ทำให้เกิดการชะละลาย ${
m SiO}_2$ ออกมาจากผิวของเถ้าแกลบ คำมากขึ้น ในขณะที่การบ่มด้วยอุณหภูมิที่สูงขึ้น เป็นการเร่งให้ ${
m SiO}_2$ ที่อยู่บริเวณผิวของอนุภาค เถ้าแกลบดำเกิดการละลายออกมาได้มากขึ้น และก่อตัวเป็น CSH gel [22, 16]

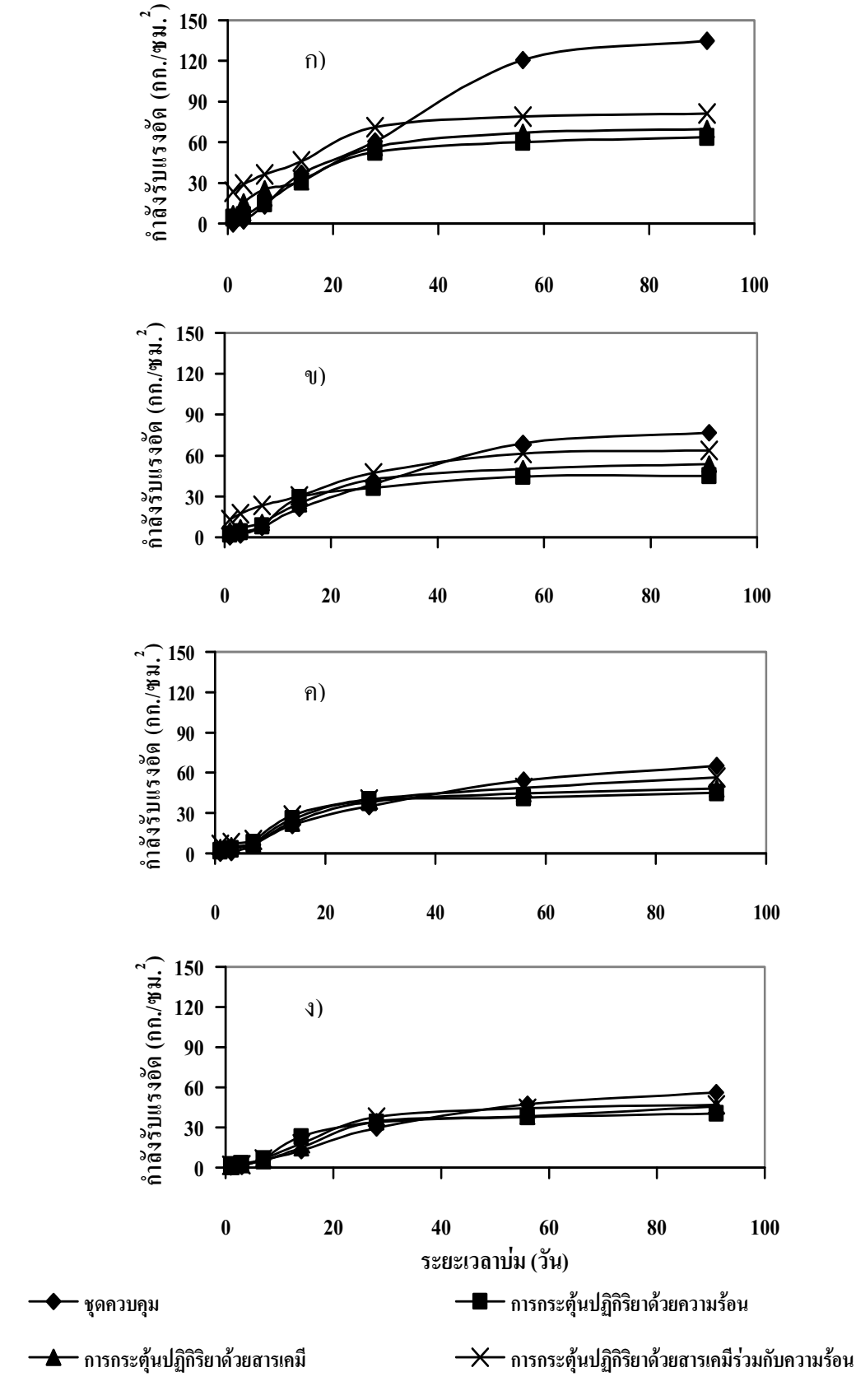
3.2.4 ผลการศึกษากำลังรับแรงอัดของก้อนหล่อแข็งของเสียที่มีการกระตุ้นปฏิกิริยาด้วยสารเคมี ความร้อน และสารเคมีร่วมกับความร้อน

จากผลการศึกษาอัตราส่วนที่เหมาะสมระหว่างเถ้าแกลบคำ:ปูนขาว ในสภาวะที่มีและไม่มี การกระตุ้นด้วยสารเคมีและความร้อน โดยพิจารณาจากการพัฒนากำลังรับแรงอัดในช่วง 28 วัน ซึ่งสามารถเลือกสัดส่วนการผสมระหว่างเถ้าแกลบคำ:ปูนขาว และสภาวะที่ใช้ในการกระตุ้น ปฏิกิริยาจากสารเคมี ความร้อน และสารเคมีร่วมกับความร้อน โดยมีรายละเอียดดังนี้

อัตราส่วนของเถ้าแกลบคำ:ปูนขาวคือ 55:45 สภาวะที่ใช้ในการกระตุ้นปฏิกิริยาคือ

- สภาวะที่มีการกระตุ้นปฏิกิริยาด้วยโซเดียมซิลิเกตที่ Alkali Modulus 3.0 ใน ปริมาณร้อยละ 1.5 โดยปริมาตรต่อน้ำหนักวัสดุยึดประสาน
 - สภาวะที่มีการกระตุ้นปฏิกิริยาด้วยความร้อนใช้อุณหภูมิในการบ่มที่ 50 °ซ
- สภาวะที่มีการกระตุ้นปฏิกิริยาด้วยสารเคมีร่วมกับความร้อนคือ เติมโซเดียม-ซิลิเกตที่ Alkali Modulus 3.0 ในปริมาณร้อยละ 1.5 โดยปริมาตรต่อน้ำหนักวัสดุยึดประสาน และ บ่มที่อุณหภูมิ 50 °ซ

ความสัมพันธ์ระหว่างกำลังรับแรงอัดและอายุการบ่มของก้อนหล่อแข็งของเสียที่มีกาก ตะกอนโลหะหนักร้อยละ 0, 10, 30 และ 50 ทั้งในสภาวะที่มีและไม่มีการกระตุ้นปฏิกิริยาด้วย สารเคมีและความร้อน แสดงดังรูปที่ 12 ก-ง



ร**ูปที่ 12** การพัฒนากำลังรับแรงอัดของก้อนหล่อแข็งของเสียที่มีกากตะกอน โลหะหนักร้อยละ ก) 0, ข) 10, ค) 30 และ ง) 50

การพัฒนากำลังรับแรงอัดของก้อนหล่อแข็งของเสียที่มีและ ไม่มีการกระคุ้นปฏิกิริยาด้วย สารเคมี ความร้อน และสารเคมีร่วมกับความร้อน ที่มีการเติมปริมาณกากตะกอน โลหะหนักใน ปริมาณร้อยละ 0, 10, 30 และ 50 โดยน้ำหนัก ที่อายุการบ่ม 1 วัน ก้อนหล่อแข็งของเสียในสภาวะที่ ไม่มีการกระตุ้นปฏิกิริยานั้นไม่สามารถทำการทดสอบกำลังรับแรงอัดได้ เนื่องจากก้อนหล่อแข็ง ของเสียมีความชื้นสูงมาก ไม่สามารถถอดออกจากแบบได้ (รูปที่ 12 ก – ง)

ที่อายุการบ่ม 3 วัน ก้อนหล่อแข็งของเสียที่ไม่มีการกระตุ้นปฏิกิริยา และเติมกากตะกอน โลหะหนักปริมาณร้อยละ 0, 10, 30 และ 50 มีค่ากำลังรับแรงอัดเท่ากับ 2.46, 1.52, 0.85 และ 0.66 กก./ซม.² ตามลำดับ ที่อายุการบ่ม 28 มีค่ากำลังรับแรงอัดเท่ากับ 60.4, 38.9, 33.6 และ 27.7 กก./ ซม.² ตามลำดับ เมื่อพิจารณากำลังรับแรงอัดของก้อนหล่อแข็งที่ไม่มีการกระตุ้นปฏิกิริยาพบว่า ทุกๆ อายุการบ่มกำลังรับแรงอัดของก้อนหล่อแข็งของเสียจะมีการพัฒนากำลังอัดอย่างช้าๆ และ กำลังอัดลดลงตามปริมาณกากตะกอน โลหะหนักที่ผสมเพิ่มในก้อนหล่อแข็งของเสีย

การพัฒนากำลังรับแรงอัดของก้อนหล่อแข็งของเสียที่มีการกระตุ้นปฏิกิริยาด้วยสารเคมี, ความร้อน และสารเคมีร่วมกับความร้อน ที่มีการเติมปริมาณกากตะกอนโลหะหนักในปริมาณ ร้อยละ 0, 10, 30 และ 50 โดยน้ำหนัก มีการพัฒนากำลังรับแรงอัดคล้ายกับก้อน หล่อแข็งของเสียที่ไม่มีการกระตุ้นปฏิกิริยาคือ กำลังรับแรงอัดลดลง เมื่อปริมาณกากตะกอนโลหะ หนักเพิ่มขึ้น และก้อนหล่อแข็งของเสียที่มีการกระตุ้นปฏิกิริยาด้วยสารเคมีร่วมกับความร้อนจะมี กำลังรับแรงอัดสูงสุด ทุกปริมาณกากตะกอนโลหะหนักที่ผสมเพิ่ม ในช่วงอายุการบ่ม 28 วันแรก หลังจากนั้นก้อนหล่อแข็งของเสียที่ไม่มีการกระตุ้นปฏิกิริยาจะมีกำลังรับแรงอัดสูงสุด

สาเหตุที่ทำให้ก้อนหล่อแข็งของเสียมีกำลังรับแรงอัดลดลง เมื่อปริมาณกากตะกอนโลหะ หนักมากขึ้น เนื่องจากโลหะหนักจะเข้าไปขัดขวางการทำปฏิกิริยาระหว่างปูนขาวและ เถ้าแกลบคำ โดยกลไกที่ขัดขวางการเกิดปฏิกิริยาปอสโซลานระหว่างเถ้าแกลบคำและปูนขาวโดย โลหะหนัก มี 2 ฐปแบบดังนี้

รูปแบบที่ 1 คือ โลหะหนักที่อยู่ในกากตะกอนที่เดิมลงในก้อนหล่อแข็งของเสียที่มีประจุ บวก (\mathbf{M}^{\dagger}) จะรวมตัวกับ $\mathbf{OH}^{\mathtt{T}}$ ที่เหลือจากการทำปฏิกิริยาระหว่างปูนขาวกับน้ำ เกิดเป็น โลหะ ไฮดร อก ไซด์ซึ่งตกตะกอนอยู่บนผิวหน้าของเถ้าแกลบดำทำให้ความสามารถในการซึมผ่านน้ำต่ำ ดังนั้นอิออนต่างๆ ในสารละลายจึง ไม่สามารถเข้า ไปทำปฏิกิริยากับเถ้าแกลบดำได้ ทำให้การ พัฒนากำลังรับแรงอัดต่ำลง[26]

รูปแบบที่ 2 คือ โดยปกติโลหะหนักนั้นเป็นสารแอมโฟเทอริก ซึ่งมีความสามารถใน การละลายต่ำในช่วง pH แคบๆ (pH 9 – 11) เกิดการละลายกลับออกมาบางส่วน เนื่องจากสภาวะ ภายในก้อนหล่อแข็งของเสียมีความเป็นค่างสูง โลหะหนักซึ่งมีประจุบวก ($\mathbf{M}^{^{\dagger}}$) จะสามารถเข้าไป แทนที่ $\mathbf{Ca}^{^{2+}}$ ใน CSH gel คังสมการ [2]

กลใกการแทนที่ : $CSH + M \longrightarrow MSH + Ca^{2+}$ M =ใจออนของโลหะหนักประเภทต่างๆ

อีกสาเหตุหนึ่งอาจจะเกิดจากการเพิ่มปริมาณตะกอนโลหะหนักทำให้สัดส่วนของวัสดุยึด ประสานมีค่าลดลง ทำให้สารตั้งต้นสำหรับปฏิกิริยาไฮเดรชั่นลดลง จึงส่งผลให้ความสามารถใน การรับแรงอัดลดลงตามไปด้วย

เมื่อทำการพิจารณากำลังรับแรงอัดของก้อนหล่อแข็งของเสียทุกอายุการบ่ม ทั้งสภาวะที่ ไม่มีและมีการกระตุ้นปฏิกิริยา พบว่า เมื่อปริมาณกากตะกอนโลหะหนักที่ผสมเพิ่มมากขึ้น ทำให้ กำลังรับแรงอัดลดลง ซึ่งสาเหตุดังกล่าวมาจากองค์ประกอบของกากตะกอนโลหะหนักที่มี ส่วนผสมของเหล็ก, โครเมี่ยม, สังกะสี และตะกั่ว อยู่ในปริมาณค่อนข้างมาก

เหล็กเป็นองค์ประกอบหลักของกากตะกอนโลหะหนัก เนื่องมาจากในกระบวนการบำบัด น้ำเสียได้ใช้การตกตะกอนโลหะหนักทางเคมีด้วยเฟอริกคลอไรด์ (FeCl₃) และเฟอริกซัลเฟต (FeSO₄) จึงทำให้มีเหล็กปริมาณมาก จากการศึกษาของ Asavapisit [27,28] ที่ใช้ปูนซีเมนต์ปอร์ต-แลนค์ผสมเหล็กไฮครอกไซค์ในปริมาณร้อยละ 10 และปูนซีเมนต์ปอร์ตแลนค์ผสมกากตะกอนโรงชุบ พบว่า เหล็กไม่ส่งผลกระทบต่อระยะเวลาการก่อตัวเริ่มต้น และสุดท้ายของวัสคุยึค ประสาน แต่จะทำให้กำลังรับแรงอัดของก้อนหล่อแข็งของเสียลคลงเพียงเล็กน้อย

สำหรับโครเมียม จากการศึกษาของ Rha [29] พบว่าโครเมียมจะเร่งให้เกิดปฏิกิริยา ไฮเครชั่นในช่วงแรก แต่ในระยะหลังอัตราการเกิดปฏิกิริยาไฮเครชั่นลดลง เนื่องจากโครเมียมจะ ก่อตัวเป็นสารประกอบเชิงซ้อนกับน้ำและทำให้ OH ถูกดึงออกจากน้ำมากขึ้น กลไกการ เกิดปฏิกิริยาไฮโครไลซิสของโครเมียมไฮครอกไซค์แสดงคังสมการ

$$Cr(H_2O)_6^{3+} \longrightarrow Cr(OH)(H_2O)_5^{2+} \longrightarrow Cr(OH)_3(H_2O)^3 \longrightarrow Cr(OH)_4(H_2O)_2^{2-}$$

เมื่อ OH ในน้ำถูกใช้ในการทำปฏิกิริยาดังสมการข้างต้น ทำให้สภาพความเป็นด่างของ สารละลายภายในก้อนหล่อแข็งของเสียลดลง ส่งผลให้การทำลายพันธะ Si-O เกิดได้ยากขึ้น ดังนั้นปฏิกิริยาไฮเดรชั่นจึงเกิดได้ช้าลง กำลังรับแรงอัดจึงต่ำลง

นอกจากนี้กากตะกอนโลหะหนักที่ใช้ในงานวิจัยนี้ยังมีสังกะสีเป็นองค์ประกอบ ทำให้ การพัฒนากำลังรับแรงอัดของก้อนหล่อแข็งของเสียลดลงเนื่องมาจาก 2 สาเหตุ คือ

สาเหตุที่ 1 จากการศึกษาวิจัยของ Li [30] สังกะสีไฮดรอกไซด์เป็นสารแอมโฟเทอริกมี ความสามารถในการละลายต่ำในช่วงพีเอชแคบ ๆ (พีเอช 8-10) ดังนั้นพีเอชที่สูงขึ้นจึงทำให้เกิด การละลายกลับออกมาของสังกะสีไฮดรอกไซด์ แล้วต่อมาเกิดการตกตะกอนกลับที่ผิวหน้าของ อนุภาคเถ้าแกลบดำในรูปของ $Zn(OH)_2$ และ $Zn(OH)_3$ และทำปฏิกิริยากับ $Ca(OH)_2$ ได้ Calcium Zinc Hydrate ($CaZn_2(OH)_2.2H_2O$) เคลือบอยู่ที่ผิวหน้าของเถ้าแกลบดำ ซึ่งสารประกอบนี้มี ความสามารถในการละลายต่ำมากจึงขัดขวางการซึมผ่านของอิออนต่างๆในสารละลาย ทำให้อิ ออนต่างๆในสารละลายที่จะเข้าไปทำปฏิกิริยากับอนุภาคเถ้าแกลบดำลดลง ส่งผลให้การ เกิดปฏิกิริยาไฮเดรชันลดลงด้วย โดยกลไกการเกิดสารประกอบ $CaZn_2(OH)_2.2H_2O$ มีดังนี้

$$Zn(OH)_2 + Ca^{2+} + 2(OH^{-}) + 2H_2O \rightarrow CaZn_2(OH)_6.2H_2O$$

 $2Zn(OH)_3^{-} + Ca^{2+} + 2H_2O \rightarrow CaZn_2(OH)_6.2H_2O$

สาเหตุที่ 2 จากการศึกษาของ Qain [31] พบว่าสังกะสีจะมีผลต่อสารกระตุ้น โซเดียมซิลิเกต เนื่องจากเกลือของสังกะสีเมื่อสัมผัสกับโซเดียมซิลิเกตจะทำปฏิกิริยากันทันที แล้ว ก่อตัวในรูป Insoluble zinc silicate gelatin ดังนั้นจึงส่งผลกระทบต่อการก่อตัวของ CSH

ตะกั่วก็เป็นโลหะหนักอีกตัวหนึ่งที่สามารถเข้าขัดขวางการเกิดปฏิกิริยาปอสโซลาน ระหว่างเถ้าแกลบดำและปูนขาวได้ เนื่องจากตะกั่วเมื่ออยู่ในสภาพที่เป็นค่างสูงของสารละลายจะ ละลายกลับออกมาและตกตะกอนในรูปเกลือของตะกั่ว (Pb Salt) เคลือบเป็นฟิล์มอยู่ที่ผิวของ อนุภาคเถ้าแกลบดำ โดยที่ Pb Salt มีค่าการละลายต่ำมาก ซึ่งจะขัดขวางอิออนต่างๆในสารละลายที่ จะเข้าไปทำปฏิกิริยากับอนุภาคเถ้าแกลบดำ [29] ซึ่งมีกลไกดังนี้

การเพิ่ม : C-S-H + Pb \longrightarrow Pb-C-S-H การแทนที่ : C-S-H + Pb \longrightarrow Pb-S-H + Ca

การตกตะกอนแล้วใค้สารประกอบใหม่ : Pb + OH + Ca + SO_4 \longrightarrow Mixed salts

เห็นได้ว่า OH^- และ Ca^{2+} ถูกดึงออกจากระบบ ทำให้รบกวนการเกิดปฏิกิริยาปอสโซลาน ซึ่ง ก่อให้เกิดปริมาณของ CSH ลดลง [32]

3.2.5 ผลการทดสอบการรั่วใหลของโลหะหนักจากก้อนหล่อแข็งของเสีย

การทดสอบการรั่วใหลของโลหะหนักจากก้อนหล่อแข็งของเสียใช้วิธี Toxicity Characteristic Leaching Procedure (TCLP) โดยทดสอบการรั่วใหลของโลหะหนักจากก้อนหล่อ แข็งของเสียที่มีอายุการบ่มที่ 28 วัน ตารางที่ 10 แสดงผลการทดสอบความเข้มข้นของโลหะหนัก ในน้ำชะละลายด้วยวิธี TCLP ตัวอย่างที่ใช้ในการทดสอบใค้แก่ ก้อนหล่อแข็งของเสียที่มีการ แปรเปลี่ยนปริมาณกากตะกอนโลหะหนักร้อยละ 0, 10, 30 และ 50 โดยน้ำหนักของวัสดุยึด ประสาน ก้อนหล่อแข็งของเสียที่มีการกระตุ้นด้วยโซเดียมซิลิเกตที่Alkali Modulus 3.0 ในปริมาณ ร้อยละ 1.5 โดยปริมาตรต่อน้ำหนักวัสดุยึดประสาน ก้อนหล่อแข็งของเสียที่บ่มที่อุณหภูมิ 50 °ซ และก้อนหล่อแข็งของเสียที่กระตุ้นปฏิกิริยาด้วยโซเดียมซิลิเกตร่วมกับการบ่มที่อุณหภูมิ 50 °ซ

ผลการทดลองพบว่าความเข้มข้นของโลหะหนักในน้ำสกัดเพิ่มขึ้น เมื่อปริมาณกาก ตะกอนในก้อนหล่อแข็งของเสียเพิ่มขึ้น โดยสังเกตเห็นว่าความเข้มข้นของเหล็กในน้ำสกัดมีค่าต่ำ มาก ซึ่งมีค่าสูงสุดเท่ากับ 3.24 มก./ล. เมื่อเปรียบเทียบกับความเข้มข้นของเหล็กเริ่มต้นที่มีอยู่ใน กากตะกอนโลหะหนักซึ่งมีอยู่ถึง 354,190 มก./กก.กากตะกอนแห้ง พบว่าก้อนหล่อแข็งของเสีย สามารถตรึงเหล็กไว้ได้ดีมาก ทั้งนี้เนื่องมาจากค่า pH ที่เหมาะสมต่อการตกตะกอนของ Fe^{+3} ตั้งแต่ 7.5 ขึ้นไป ในขณะที่ค่า pH ของน้ำสกัดมีค่าอยู่ในช่วง 12.2-12.3 จึงทำให้เหล็กส่วนใหญ่ไม่ ละลายกลับออกมา

สังกะสีเป็นโลหะหนักที่อยู่ในกากตะกอนในปริมาณที่มากรองลงมาจากเหล็กและนิเกิล ซึ่งมีค่าเท่ากับ 12750 มก./กก. ผลการทดสอบพบว่าความเข้มข้นของสังกะสีในน้ำสกัดจากทุก ตัวอย่างมีค่าอยู่ในช่าง 0.03-0.75 มก./ล. ซึ่งมีค่าต่ำกว่าเกณฑ์มาตรฐานที่กำหนดไว้เท่ากับ 5 มก./ ล. ปกติสังกะสีตกตะกอนได้ดีที่ pH ประมาณ 9 แต่ pH ของน้ำสกัดมีค่าสูงกว่า 9 จึงเป็นสาเหตุให้ สังกะสีเกิดการละลายกลับออกมาอยู่ในรูป $Zn(OH)_3$ ซึ่งสามารถทำปฏิกริยากับ $Ca(OH)_2$ ได้ Calcium Zinc Hydrate ($CaZn_2(OH)_6.2H_2O$) ซึ่งเป็นสารที่มีความสามารถในการละลายต่ำ จึงพบ สังกะสีในน้ำสกัดในระดับความเข้มข้นที่ไม่สูงเกินเกณฑ์มาตรฐาน อีกสาเหตุหนึ่งเนื่องมาจาก เกลือของสังกะสีสามารถทำปฏิกริยากับโซเดียมซิลิเกตกลายเป็น Insoluble Zinc Silicate Gelatin ซึ่งมีค่าการละลายที่ต่ำ [30.31]

ความเข้มข้นของโครเมียมในน้ำสกัดที่สัมผัสกับก้อนหล่อแข็งของเสียทุกตัวอย่างมีค่า ตั้งแต่ 0.2-0.36 มก./ล. ซึ่งความเข้มข้นคังกล่าวมีค่าไม่เกินเกณฑ์มาตรฐานที่กำหนดคือ 5.0 มก./a. Bishop [2] รายงานว่า Cr^{+3} ส่วนใหญ่ตะกอนอยู่ใน Silicate Matrix ทำให้สามารถตรึงโครเมียม ไว้ได้ประมาณร้อยละ 85 ของปริมาณโครเมียมทั้งหมด ปริมาณโครเมียมอีกร้อยละ 15 ที่เหลืออาจ หลุดออกมาได้เนื่องจาก ค่า pH ของสารละลายที่สกัดมีค่า pH ประมาณ 12 ซึ่งสูงกว่าค่า pH ที่ เหมาะสมต่อการตกตะกอนของโครเมียม ซึ่งมีค่าประมาณ 7-8 ทำให้เกิดการรั่วไหลของโครเมียมออกมาเพียงเล็กน้อย

ความเข้มข้นของแคดเมียมในน้ำสกัดจากก้อนหล่อแข็งของเสียมีค่าไม่เกินเกณฑ์ มาตรฐานซึ่งกำหนดไว้ที่ 1.0 มก./ล. ยกเว้นก้อนหล่อแข็งของเสียที่มีปริมาณกากตะกอนร้อยละ 50 ในสภาวะที่ไม่มีการกระตุ้นปฏิกิริยา (ชุดควบคุม) มีความเข้มข้นของแคดเมียมในน้ำสกัดเท่ากับ 1.39 มก./ล.

ค่าความเข้มข้นของตะกั่วในน้ำสกัดจากก้อนหล่อแข็งของเสียทั้งในสภาวะที่มีและไม่มี การกระตุ้นปฏิกิริยา มีค่าอยู่ในช่วง 0.4 – 1.4 มก./ล. ซึ่งมีค่าต่ำกว่าเกณฑ์มาตรฐานที่กำหนด ในขณะที่ความเข้มข้นของทองแดงและนิเกิลในน้ำสกัดจากทุกตัวอย่างมีค่าอยู่ระหว่าง 0 - 0.3 มก./ ล. และ 0.2 – 0.49 มก./ล. ตามลำดับ

ตารางที่ 10 ความเข้มข้นของโลหะหนักในน้ำสกัดด้วยวิธี TCLP

	กากตะกอน	ความเข้มข้น (มก./ล)							
ชุดตัวอย่าง	โลหะหนัก	Pb	Cr	Cd	Zn	Fe	Cu	Ni	pН
	(ร้อยละ)	5	5	1	5	-	-	-	
ชุดควบคุม	0	0.65	0.29	0.38	0.53	0.36	0.20	0.26	12.3
	10	0.67	0.31	0.47	0.56	0.91	0.21	0.28	12.3
	30	0.69	0.31	0.78	0.60	1.25	0.24	0.28	12.2
	50	0.90	0.36	1.39	0.63	3.24	0.25	0.29	12.2
	0	0.43	0.33	0.33	0.03	ND	ND	0.27	12.3
สภาวะที่กระตุ้นปฏิกิริยา	10	0.69	0.33	0.33	0.08	ND	0.02	0.29	12.3
ด้วยสารเคมี	30	0.93	0.34	0.34	0.37	0.99	0.20	0.37	12.2
	50	1.37	0.34	0.34	0.75	1.09	0.30	0.49	12.2
	0	0.63	ND	0.28	0.50	ND	0.19	0.24	12.3
สภาวะที่กระตุ้นปฏิกิริยา ด้วยความร้อน	10	0.63	ND	0.38	0.52	ND	0.18	0.26	12.3
	30	0.64	0.20	0.68	0.57	1.22	0.19	0.27	12.2
	50	0.78	0.25	0.83	0.57	2.39	0.21	0.28	12.2
สภาวะที่กระตุ้นปฏิกิริยา ด้วยสารเคมีร่วมกับ ความร้อน	0	0.62	0.32	0.04	0.03	ND	0.01	0.20	12.3
	10	0.63	0.34	0.14	0.07	ND	0.02	0.25	12.3
	30	0.90	0.35	0.31	0.33	0.10	0.08	0.30	12.2
	50	1.15	0.35	0.50	0.70	0.37	0.22	0.41	12.2

- : ไม่มีมาตรฐานควบคุม

ND : ความเข้มข้นของโลหะหนักเท่ากับหรือต่ำกว่าน้ำกลั่นที่ตรวจวัดได้ด้วยเครื่อง AAS

4. สรุปผลการศึกษา

4.1 การหาอัตราส่วนที่เหมาะสมระหว่างเถ้าแกลบดำ ปูนขาว และสภาวะที่กระตุ้นปฏิกิริยาปอซ โซลาน

ผลการศึกษาอัตราส่วนที่เหมาะสมระหว่างเถ้าแกลบดำและปูนขาว พบว่า ที่อัตราส่วนระหว่าง เถ้าแกลบดำ : ปูนขาวที่ 55:45 ให้ค่ากำลังรับแรงอัดสูงสุดเมื่อเทียบกับอัตราส่วนอื่น ดังนั้น จึง เลือกใช้อัตราส่วนนี้มาทำการกระตุ้นปฏิกิริยาด้วยสารเคมี, ความร้อน และสารเคมีร่วมกับความ ร้อน ดังนี้

- สภาวะที่มีการกระตุ้นด้วยสารเคมี เลือกโซเดียมซิลิเกตที่ Alkali Modulus 3.0 ในปริมาณ
 ร้อยละ 1.5 โดยปริมาตรต่อน้ำหนักของวัสดุยึดประสาน
- สภาวะที่มีการกระตุ้นด้วยความร้อน เลือกสภาวะที่บ่มที่อุณหภูมิ 50 °ซ เป็นเวลา 1 วัน หลังจากนั้นนำมาบ่มต่อที่อุณหภูมิห้อง
- สภาวะที่มีการกระตุ้นด้วยสารเคมีร่วมกับความร้อน เลือกโซเคียมซิลิเกตที่ Alkali
 Modulus 3.0 ในปริมาณร้อยละ 1.5 โดยปริมาตรต่อน้ำหนักของวัสดุยึดประสาน และบ่ม ที่อุณหภูมิ 50 °ซ

4.2 ความสามารถในการรับแรงอัดของก้อนหล่อแข็งของเสีย

ก้อนหล่อแข็งของเสียในสภาวะที่มีและไม่มีการกระตุ้นปฏิกิริยาด้วยสารเคมี ความร้อน และ สารเคมีร่วมกับความร้อน สามารถรองรับกากตะกอนโลหะหนักได้สูงถึงร้อยละ 50 โดยที่กำลังรับ แรงอัดของก้อนหล่อแข็งของเสียเป็นไปตามเกณฑ์มาตรฐานสำหรับการฝังกลบซึ่งกำหนดไว้ เท่ากับ 3.5 กก./ชม. ก้อนหล่อแข็งของเสียที่ไม่มีการกระตุ้นปฏิกิริยาจะมีการพัฒนากำลังรับ แรงอัดในช่วงอายุ 7 วันแรกในอัตราที่ต่ำ แต่เมื่อทำการกระตุ้นปฏิกิริยาด้วยสารเคมี, ความร้อน และสารเคมีร่วมกับความร้อนทำให้การพัฒนากำลังรับแรงอัดสูงขึ้น ทำให้สามารถนำมาลงใน แหล่งฝังกลบได้สะดวกและรวดเร็ว

4.3 ผลการทดสอบการรั่วใหลของโลหะหนักจากก้อนหล่อแข็งของเสีย

จากการทดสอบการรั่วใหลด้วยวิธี Toxicity Characteristic Leaching Procedure (TCLP) พบว่าความเข้มข้นของตะกั่ว โครเมียม สังกะสี แคดเมี่ยม เหล็ก ทองแดง และนิเกิล ของก้อนหล่อ แข็งของเสียมีค่าต่ำกว่าค่ามาตรฐานที่กำหนดไว้ ยกเว้นความเข้มข้นของโครเมียมในน้ำชะของ ก้อนหล่อแข็งของเสียที่ไม่มีการกระตุ้นปฏิกิริยา ที่ผสมกากตะกอนโลหะหนักร้อยละ 50 โดย น้ำหนักของวัสดุยึดประสานจะมีค่าสูงเกินมาตรฐาน

5. ข้อเสนอแนะ

- 1. ควรมีการศึกษาเกี่ยวกับปฏิสัมพันธ์ระหว่างโลหะหนักชนิดต่างๆกับวัสดุยึดประสาน เพื่อให้เกิดองค์ความรู้ที่สามารถนำไปพัฒนาเทคโนโลยีการบำบัดกากตะกอนโลหะหนักโดยการ ทำเป็นก้อนแข็ง
- 2. ควรหาวิธีการที่จะลดปฏิสัมพันธ์ระหว่างโลหะหนักชนิดต่างๆกับวัสดุยึดประสาน เพื่อให้ก้อนหล่อแข็งของเสียมีความสามารถในการเก็บกักโลหะหนักได้ดีขึ้น ซึ่งอาจทำโดยการ ปรับองค์ประกอบทางเคมี หรือปรับวิธีการผสม
- 3. ควรจะมีการศึกษาถึงความทนทานในระยะยาวของก้อนหล่อแข็งของเสียต่อการกัด กร่อนโดยสารละลายกรด
- 4. ในการเตรียมสารละลายโซเคียมซิลิเกตควรให้พอดีกับปริมาณที่ต้องการใช้ในแต่ละ ครั้ง เนื่องจากหากเตรียมทิ้งไว้นานเกินไป โซเคียมซิลิเกตจะตกผลึกซึ่งมีผลต่อความเข้มข้นของ โซเคียมซิลิเกต

5. เอกสารอ้างอิง

- 1. สุวิมล อัศวพิศิษฐ, 2546, "เอกสารประกอบการสอนวิชา Hazardous Waste" คณะพลังงาน และวัสดุ, มหาวิทยาลัยเทคโนโลยีพระจอมเกล้าธนบุรี
- Conner, J.R.,1990 , Chemival Fixtation and Solidification of Hazardous Waste, New York, Van Nostrand Reinhold, pp.638-651
- 3. สมพงษ์ ภววรพันธ์, 2543, การปรับปรุงคุณภาพเถ้าลอยและทรายโดยการผสมปูนขาว, วิทยานิพนธ์ปริญญาวิศวกรรมศาสตรบัณฑิต, ภาควิชาวิศวกรรมโยธา, มหาวิทยาลัย เทคโนโลยีพระจอมเกล้าธนบุรี, หน้า 13-22
- 4. นราธิป จันทร์ทอง, สมิต ส่งพิริยะกิจ, เสรี เกียรติยุทธชาติ, อวิรทธิ์ ทัยทิมแท้, 2533, การศึกษา กุณสมบัติเบื้องต้นของขี้เถ้าแกลบเพื่อใช้ในการทำคอนกรีต, วิทยานิพนธ์ปริญญวิศวกรรม ศาสตรบัณฑิต ภาควิชาวิศวกรรมโยธา สถาบันเทคโนโลยีพระจอมเกล้าธนบุรี, หน้า 7-11
- 5. กรมส่งเสริมวิชาการเกษตร กระทรวงเกษตรและสหกรณ์, http://www.oae.go.th [15 ธันวาคม 2545]
- 6. ทศพล ตุงคนาคร, 2546, การหล่อแข็งโลหะไฮดรอกไซด์โดยการกระตุ้นวัสดุยึดประสาน ประเภทปูนขาวและขี้เถ้าแกลบด้วยสารเคมี, วิทยานิพนธ์ปริญญาวิศวกรรมศาสตรมหาบัณฑิต , สาขาวิชาเทคโนโลยีสิ่งแวดล้อม, มหาวิทยาลัยเทคโนโลยีพระจอมเกล้าธนบุรี
- 7. นิพนธ์ ตันใพบูลย์กุล, 2545, รายงานสัมมนา : กระบวนการกระตุ้นปฏิกิริยาปอสโซลาน, สาขาวิชาเทคโนโลยีสิ่งแวคล้อม คณะพลังงานและวัสคุ มหาวิทยาลัยเทคโนโลยีพระจอมเกล้า ธนบุรี, หน้า 1–40
- 8. บุรฉัตร ฉัตรวีระ, วชิรพล ฐิตะสัจจา และ ปวีณา จริยฐิติพงศ์, 2542, "คุณสมบัติทางกลของ ปูนซีเมนต์ผสมเถ้าแกลบ", **วารสารการประชุมวิชาการวิศวกรรมโยธา**, ครั้งที่ 5 , เล่มที่ 1, หน้า MAT 23 MAT 28
- 9. Sidney, M., Francis, J.Y., David, D., 2003, **Concrete**, 2nd ed., Pearson Education, Inc., New Jersey, pp. 306.
- 10. ใมตรี สุทธจินต์, 2531, **สารพิษของเรา**, มหาวิยาลัยเชียงใหม่, หน้า 63-65
- 11. เกรียงศักดิ์ อุดมสินโรจน์, 2546, **ของเสียอันตราย**, ภาควิชาวิศวกรรมสิ่งแวดล้อม มหาวิทยาลัย รังสิต, กรุงเทพ,หน้า 535
- 12. บุตรฉัตร ฉัตรระวี และ พีรชล สุภัททธรรม, 2538, "คุณสมบัติทางกลและความทนทานของ ปูนซีเมนต์ผสมเถ้าแกลบ," **วิศวกรรมสารมหาวิทยาลัยธรรมศาสตร์**, ปีที่ 5 , ฉบับที่ 4 ,หน้า 36-42.

- 13. บุตรฉัตร ฉัตรระวี และ พิชัย นิมิตยงสกุล , 2537, "การผลิตเถ้าแกลบที่ไวต่อการทำปฏิกิริยา และประยุกต์ใช้ในบล็อกซีเมนต์ผสมดินแบบอัดแน่น," **วารสารศาย์เครื่องมือวิจัยวิทยาศาสตร์** และเทคโนโลยี, เล่มที่ 4 , ฉบับที่ 2 ,หน้า 119-137.
- 14. Cook, D.J., Rice Husk Ash, Cement replacement materials, pp.170-195.
- 15. Shi,C. and Day,R.L.,1993, "Chemical activation of blended cement made with lime and natural pozzolans," **Cement and Concrete Research**,Vol.23,No.6,pp.1389-1396.
- Asavapisit, S., and Chotklang, D., 2004, "Solidification of Electroplating Sludge using Alkali-Activated Pulverized Fuel Ash as cementitious binder", Cement and Concrete Research, vol.34, pp. 349-353.
- 17. Shi, C., and Day, R.L., 1993, "Acceleration of Strength Gain of Lime– Pozzolan Cements by Thermal Activation", **Cement and Concrete Research**, Vol. 23, pp. 824-832.
- Asavapisit, S., Intarawong, S. and Harnwajanawong, N., 2003, "Leaching Behavior of Heavy Metal from the Solidified Plating Sludge under Various Leaching Condition", Thammasat Int. J. Sc. Tech., Vol. 8, No. 1, pp. 1-12
- 19. จิตตินี เจริญจิตต์, 2546, การหล่อแข็งกากตะกอนชุบโลหะโดยการกระตุ้นวัสดุยึดประสาน ประเภทปูนขาวและขี่เถ้าแกลบ, วิทยานิพนธ์ปริญญาวิศวกรรมศาสตรมหาบัณฑิต, สาขาวิชา เทคโนโลยีสิ่งแวดล้อม, มหาวิทยาลัยเทคโนโลยีพระจอมเกล้าธนบุรี, หน้า 49
- 20. Fan,Y.,Yin S., Wen, Z. and Zhong J., 1999, "Activation of Fly Ash and its Effects on cement properties", **Cement and Concrete Research**, VOI.29, pp.467-472...
- 21. Shi, C, and Day, R.L., 1995, "A chemical activation of lime-slag blend, Proceedings Fifty International Conference Milkwaukee", Wilconsin, USA, SP 153-61, pp. 1168-1177.
- 22. Shi, C. and Day, R.L., 2000, "Pozzolanic Reaction in The Presence of Chemical Activators Part II. Reaction Product and Mechanism", Cement and Concrete Research, vol.30, pp. 607-613.
- 23. Shi C., Day R.L., 2001, "Comparison of different methods for enhancing reactivity of pozzolans", **Cement and Concrete Research.**, Vol. 31, pp. 813-818.
- 24. Li, X.D., Zhang, Y.M., Poon, C.S. and Lo, I.M.C., 2001, "Study of zinc in cementitious material stabilization /solidified wastes by sequential chemical extraction and microstructual analysis", Chemical Speciation and Bioavailability, Vol.13, No.1, pp.1-7.
- 25. ควงฤดี โชติกลาง, 2543, การตรึงโลหะหนักโดยการกระตุ้นวัสดุยึดประสานประเภทค่างและ ปอชโซลานด้วยสารเคมี, วิทยานิพนธ์ปริญญาวิทยาศาสตรมหาบัณฑิต, สาขาวิชาเทคโนโลยี สิ่งแวคล้อม, มหาวิทยาลัยเทคโนโลยีพระจอมเกล้าธนบุรี, หน้า 52.

- 26. Asavapisit S., Fowler G. and Cheeseman C.R., 1997, "Solution chemistry during cement hydration in the presence of metal hydroxide wastes", Cement and Concrete Research., Vol. 27, pp. 1249-1260
- 27. Asavapisit S., Naksrichum S. and Harnwajanawong N., 2005, "Strength, leachability and microstructure characteristics of cement-based solidified plating sludge", Cement and Concrete Research, Vol. 35, pp. 1042-1049
- 28. Asavapisit S. and Ruengrit N., 2005, "The role of RHA-blended cement in stabilizing metal-containing wastes", **Cement and Concrete Composites**, Vol. 27, pp. 782-787
- Rha, C.Y., Kang, K.K. and Kim, C.E., 2000, "Investigate of the stability of hardened slag paste for the stabilization/solidification of waste containing heavy metal ions", Journal of Hazardous Materials, Vol.73, pp. 255-267
- 30. Li, X.D., Zhang, Y.M., Poon, C.S. and Lo, I.M.C., 2001, "Study of zinc in cementitious material stabilization /solidified wastes by sequential chemical extraction and microstructual analysis", **Chemical Speciation and Bioavailability**, Vol. 13, No. 1, pp. 1-7.
- Qian, G.R., Sun, D.D. and Tay, J.W., 2003, "Characterization of Mercury- and Zinc-doped Alkali-activated Slag Matrix Part II. Zinc", Cement and Concrete Research, vol.33, pp. 1257-1262.
- 32. Palomo, A. and Palacios, M., 2003, "Alkali-activated Cementitious Materials: Alternative Matrices for The Immobilization of Hazardous Wastes Part II. Stabilization of Chromium and Lead", Cement and Concrete Research, vol.33, pp.289-295.

ภาคผนวก ก. การเตรียมสารเคมีและวิธีการทดลอง

1. ตัวอย่างการคำนวณการเตรียมโซเดียมซิลิเกต

เตรียมสารละลายโซเดียมชิลิเกตที่มี Alkaline Modulus 1.0
จากสารละลายที่ได้มามีปริมาณ Na2O = 12.2865 %, SiO2 = 27.3945 %
Na2SiO3 100 g จะมี Na2O = 12.29 g, SiO2 = 27.39 g และ H2O(1) = 60.32 g ต้องเติม Na2O = 27.39 - 12.29 = 15.10 g = $\frac{15.10}{62}$ = 0.2435 mole 2NaOH \iff Na2O + H2O 2Iติม NaOH = 2 × 0.2435 = 0.487 mole = 0.4871 × 40 = 19.48 g 2Iติม NaOH = 19.48 g/ Na2SiO3 100 g 2Irาปริมาณ % Na2O และ % SiO2 2Iri หนัก Na2O = 12.29g 2SiO2 = 27.39 g 2H2O(1) = 60.32 g 2H2O(2) = 0.2435×18 = 4.383 g 23มน้ำหนักพังหมด 104.383 g 23 % Na2O และ % SiO2 = 27.39 / 104.383

2. วิธีการตรวจสอบสารละลายโซเดียมซิลิเกต

วิธีการคำนวณหาเปอร์เซ็นต์น้ำหนักโซเดียมออกไซด์ (% Na,O)

- 1. นำขวดรูปชมพู่ปริมาตรขนาด 250 มิลลิลิตร ชั่งแล้วบันทึกน้ำหนักไว้ (W1)
- 2. นำขวดรูปชมพู่มาเติมสารละลายโซเดียมซิลิเกต ประมาณ 0.5 กรัม โดยสุ่มมาจาก ตัวอย่าง แล้วบันทึกค่าน้ำหนักไว้ (W2)
- 3. เติมน้ำกลั่นประมาณ 50 มิลลิลิตร เขย่าให้เข้ากัน เติมสารละลายเมทิลเรคอินดิเคเตอร์ 3 หยด จะได้สารละลายสีเหลือง (การเตรียมสารละลายเมทิลเรคอินดิเคเตอร์ ได้มาจากการนำ Methyl Red จำนวน 0.1 กรัม ละลายในเอทานอลปริมาตร 100 มิลลิลิตร)
- 4. นำสารละลายที่ได้มาไตรเตรตด้วยสารละลายมาตรฐานไฮโครคลอริก (HCl) ความเข้มข้น 0.5~N จนถึงจุดยุติ จะได้สารละลายสีส้ม จดปริมาตรของสารละลายมาตรฐานไฮโครคลอริก (HCl) ที่ใช้ไว้ ($V_{\rm HCl}$)
 - 5. คำนวณหาเปอร์เซ็นต์น้ำหนักโซเดียมออกไซค์ (% $\mathrm{Na_2O}$) ได้จากสูตร

%Weight Na₂O =
$$\frac{3.1 \times V_{HCl} \times \text{ความเข็มข้น HCl}}{W1 - W2}$$

วิธีการคำนวณหาเปอร์เซ็นต์น้ำหนักซิลิกอนไดออกไซด์ (% SiO,)

- 1. นำสารละลายที่ใตรเตรตจากข้อ 4 ข้างต้น มาเติมโซเคียมฟลูออไรค์ (NaF) จำนวน 2.5 กรัม จะได้สารละลายสีเหลือง จากนั้นเติมเอทานอลปริมาตร 30 มิลลิลิตร แล้วเขย่าให้เข้ากัน
- 2. นำสารละลายที่ได้มาไตรเตรตด้วยสารละลายมาตรฐานไฮโดรคลอริก (HCl) ความเข้มข้น $0.5\,$ N จนถึงจุดยุติ จะได้สารละลายสีชมพู จดปริมาตรสารละลายมาตรฐานไฮโดรคลอริก (HCl) ที่ใช้ไว้ (V_{HCl})
- 3. นำสารละลายที่ได้มาไตรเตรตด้วยสารละลายมาตรฐาน โพแทสเซียมไฮครอกไซด์ (KOH) ความเข้มข้น 0.5 N จนถึงจุดยุติ จะได้สารละลายสีเหลือง จดปริมาตรสารละลายมาตรฐาน โพแทสเซียมไฮครอกไซด์ (KOH) ที่ใช้ไว้ (V_{KOH})
- 4. คำนวณหาเปอร์เซ็นต์น้ำหนักซิลิกอนไดออกไซด์ (% SiO_2)ได้จากสูตร %Weight $Na_2O = \frac{1.5022 \times \left[\left(V_{HCl} \times \text{ความเข้มข้น HCl}\right) - \left(V_{KOH} \times \text{ความเข้มข้นKOH}\right)\right]}{W1 - W2}$

วิธีการคำนวณหาอัตราส่วนของซิลิกอนไดออกไซด์ (${f SiO}_2$) ต่อโซเดียมออกไซด์ (${f Na}_2{f O}$)

$$Weight Ratio = \frac{\%Weight SiO_2}{\%Weight Na_2O}$$

$$Moleacular Ratio = \frac{\%Weight SiO_2 \times 1.0315}{\%Weight Na_2O}$$

3.การผสมก้อนหล่อแข็งและก้อนหล่อแข็งของเสีย

ซึ่งวิธีการผสมได้ประยุกต์ใช้จากมาตรฐานวิธีผสมเพสต์ ASTM C 305 - 94

- 1. สำหรับก้อนหล่อแข็ง นำขี้เถ้าแกลบที่เตรียมไว้ผสมกับปูนขาวที่ผ่านการร่อนแล้ว และ สารกระตุ้นปฏิกิริยาที่ได้เตรียมไว้ใส่ลงในเครื่องกวนผสม คนให้เข้ากันด้วยทัพพีที่สะอาด ส่วนก้อนหล่อแข็งของเสียให้นำกากตะกอนที่เตรียมไว้ที่เปอร์เซ็นต์ต่างๆ กัน ได้แก่ 10 %, 30 % และ 50 % ของกากตะกอนของเสียมาผสมรวมกับส่วนผสมของก้อนหล่อแข็ง (ปูนขาว+ขี้เถ้า แกลบ+สารกระตุ้น)
- 2. เปิดเครื่องผสมความเร็วต่ำ (Speed 1) 140 ± 5 รอบ เป็นเวลา 1 นาที ทำการหยุดเครื่อง ผสม 15 วินาที ระหว่างนี้ให้กวาดซีเมนต์เพสต์ที่ติดอยู่ข้างๆ หม้อและใบพายให้รวมอยู่ตรงกลาง
- 3. เปลี่ยนความเร็วของเครื่องผสมให้เป็นความเร็วปานกลาง (Speed 2) 285 ± 10 รอบ เป็นเวลา 1 นาทีแล้วปิดเครื่อง

- 4. นำส่วนผสมที่ได้เทลงในแบบหล่อพีวีซีทรงกระบอกขนาดเส้นผ่านศูนย์กลาง 5 เซนติเมตร สูง 10 เซนติเมตร โดยเทใส่แบบหล่อให้มีความสูงกว่าขอบบนของแบบหล่อประมาณ 1 เซนติเมตร กระทุ้งด้วยแท่งแก้ว 5 ครั้ง จากนั้นนำมาเขย่าที่โต๊ะสั่นคอนกรีตนาน 30 วินาที
- 5. ค่อยๆ ใช้เกียงปาดซีเมนต์เพสต์ที่ล้นจากขอบบนของแบบหล่อออก จนซีเมนต์เพสต์ ใกล้จะแข็งตัวจึงปาดผิวหน้าให้เรียบ วางแบบหล่อทิ้งไว้ให้แข็งตัวที่อุณหภูมิห้องจนแข็งตัวดี และ ใช้แผ่นพลาสติกปิดผิวหน้าเพื่อไม่ให้สัมผัสกับอากาศ
- 6. เมื่อถอดออกจากแบบหล่อ ให้ห่อก้อนตัวอย่างด้วยฟิล์มพลาสติกให้เรียบแน่น ทิ้งไว้ที่ อุณหภูมิห้อง เพื่อรอเวลาทดสอบตามระยะเวลาการบ่มที่กำหนด หลังจากนั้นนำไปทำการทดสอบ ความสามารถในการรับแรงอัด

4. การทดสอบหาค่าความข้นเหลวปกติของซีเมนต์เพสต์โดยเครื่องมือไวแคต

ประยุกต์ใช้ตามมาตรฐาน ASTM C 187 – 86

- 1. ทำการผสมซีเมนต์เพสต์ โดยกะประมาณน้ำที่จะนำมาผสมให้ซีเมนต์เพสต์พอปั้นเป็น ก้อนได้ ซึ่งปริมาณน้ำนั้นจะคิดเป็นร้อยละของน้ำหนักซีเมนต์เพสต์
- 2. ปั้นซีเมนต์เพสต์ทั้งหมดเป็นก้อนกลม โยนจากมือหนึ่งไปอีกมือหนึ่ง 6 ครั้ง โดยมือทั้ง สองข้างห่างกันประมาณ 6นิ้ว
- 3. จับทรงกรวยใส่ฝ่ามือข้างหนึ่ง และนำซีเมนต์ในฝ่ามืออีกข้างหนึ่งกดซีเมนต์เพสต์เข้า แบบทรงกรวยทางด้านกว้างจนเต็ม ปาดซีเมนต์เพสต์ที่เหลือทางแบบด้านกว้างออกด้วยมือครั้ง เดียวให้หมด วางแบบพร้อมซีเมนต์เพสต์ลงบนแผ่นแก้วให้แบบด้านกว้างอยู่ด้านล่าง
- 4. ปาดซีเมนต์เพสต์ที่ล้นแบบทางด้านแคบออกด้วยเกียงครั้งเดียวให้เรียบ โดยเอียงทำมุม กับด้านบนของแบบเล็กน้อย ถ้ายังไม่เรียบดีอาจใช้ปลายเกียงแตะให้เรียบ พยายามอย่ากดซีเมนต์ เพสต์
- 5. เตรียมเครื่องมือไวแคตโดยใช้ก้านทางด้านป้าน (เส้นผ่านศูนย์กลาง 10 มิลลิเมตร) ใน การทดสอบนี้
- 6. นำแบบกรวยหัวตัดไปวางไว้ใต้เข็มทดสอบมาตรฐานขนาดเส้นผ่านศูนย์กลาง 10 มิลลิเมตร ของชุดทดสอบไวแคต ปรับให้เข็มทดสอบมาตรฐานแตะกับผิวหน้าของซีเมนต์เพสต์ และอยู่ตรงกลางกรวย แล้วปรับเข็มสเกลที่บอกระยะจมบนแผ่นสเกลให้เป็นเลข 0 แล้วทำการ ปล่อยเข็มทดสอบมาตรฐานทันทีหลังจากการผสมซีเมนต์เพสต์ด้วยเครื่องเสร็จแล้ว 30 วินาที จึง บันทึกระยะจม (Penetration) ได้
- 7. นำซีเมนต์เพสต์ในกรวยนี้ออกทิ้ง แล้วล้าง และเช็ดกรวยให้สะอาดจนแห้งสนิท พร้อม ที่จะทำการทดสอบปริมาณน้ำที่เพิ่มขึ้นครั้งต่อไป

- 8. ทำการผสมซีเมนต์กับปริมาณน้ำใหม่ โดยให้ปริมาณน้ำเพิ่มขึ้นจากครั้งแรก แล้วทำการ ทดสอบเหมือนกับข้อ 2 6 จนกระทั่งครบปริมาณน้ำที่กำหนดไว้จึงจะหยุดการทดสอบ ซึ่งจะได้ ค่าระยะจมกับปริมาณน้ำหลายค่า หรือจะหยุดการทดสอบเมื่อระยะจมของเข็มทดสอบมาตรฐานนี้ มากกว่า 10 มิลลิเมตร ประมาณ 2 ค่าก็ได้ (หากทำการทดสอบโดยใส่น้ำปริมาณมากในครั้งแรก แล้วค่อยลดปริมาณน้ำลงมา ก็ให้ระยะจมของเข็มทดสอบมาตรฐานน้อยกว่า 2 ค่าก็ได้)
- 9. เขียนกราฟแสดงความสัมพันธ์โดยให้ค่าระยะจมของเข็มทดสอบมาตรฐาน ซึ่งมีหน่วย เป็นมิลลิเมตรเป็นแกน X และค่าปริมาณน้ำมีหน่วยเป็นลูกบาศก์เซนติเมตรเป็นแกน Y แล้ว ลากเส้นตรงเชื่อมต่อระหว่างจุดที่ได้จาการทดสอบทั้งหมด การพิจารณาให้ลากเส้นตรงจากระยะ จม 10 มิลลิเมตร ขึ้นไปตัดกับเส้นกราฟ แล้วลากเส้นแนวนอนไปตัดกับแกนปริมาณน้ำ ค่าที่ได้ จากปริมาณน้ำนี้ ก็คือปริมาณน้ำที่ทำให้ซีเมนต์เพสต์เกิดความข้นเหลวปกติ (Normal Consistency) นำค่าปริมาณน้ำที่ได้ซึ่งมีหน่วยเป็นลูกบาศก์เซนติเมตร มาทำให้เป็นเปอร์เซ็นต์ (Percent Normal Consistency)

การหาระยะเวลาการก่อตัวนี้จะใช้เข็มไวแคตที่มีขนาดเส้นผ่านศูนย์กลาง 1 มิลลิเมตร และ ปริมาณน้ำที่จะผสมเข้าไปในซีเมนต์ เพื่อหาระยะเวลาการก่อตัวนี้จะใช้ปริมาณน้ำที่ทำให้ซีเมนต์ อยู่ในสภาวะความข้นเหลวปกติ (Normal Consistency) เท่านั้น โดยสามารถแบ่งระยะเวลาการก่อ ตัวของซีเมนต์เพสต์ออกได้เป็น 2 ระยะ คือ

- 1. ระยะเวลาการก่อตัวขั้นต้น (Initial Setting Time) คือ ระยะเวลาที่ซีเมนต์เพสต์ก่อตัวจน สามารถรับน้ำหนักของเข็มทคสอบมาตรฐานไวแคต ขนาคเส้นผ่านศูนย์กลาง 1 มิลลิเมตร ที่ปล่อย ให้จมลงในซีเมนต์เพสต์ 25 มิลลิเมตร ภายในเวลา 30 วินาที
- 2. ระยะเวลาการก่อตัวขั้นปลาย (Final Setting Time) คือ ระยะเวลาที่ซีเมนต์เพสต์ก่อตัว จนสามารถรับน้ำหนักของเข็มมาตรฐานไวแคตได้ โดยไม่จมลงในซีเมนต์เพสต์เลย เพียงแค่เป็น รอยกระแทกของเข็มเท่านั้น

5. ขั้นตอนการทดสอบการรั่วใหลโดยวิธี TCLP

- นำตัวอย่างของก้อนหล่อแข็งของเสียที่ได้ทำการทดสอบกำลังรับแรงอัด ที่อายุการบ่ม
 วัน มาทำการบดให้เป็นผงแล้วร่อนผ่านตะแกรง (Sieve) ให้ได้ขนาดเล็กกว่าหรือเท่ากับ 9.5
 มิลลิเมตร
- 2. นำน้ำกลั่นมาผสมกับสารละลายกรดกำมะถันและกรดในตริกในอัตราส่วน 80:20 ปรับ ให้มีค่า pH เท่ากับ 5 อัตราส่วนระหว่างน้ำหนักตัวอย่างต่อปริมาตรตัวชะลายเท่ากับ 1:20

- 3. นำตัวอย่างของก้อนหล่อแข็งของเสียที่บค 10 กรัม ใส่ขวด TCLP และเติมสารละลาย กำมะถันและกรดในตริก 200 มิลลิลิตร ลงไป จากนั้นปิดฝานำเข้าเขย่าบนเครื่องเขย่า (Rotary Extractor) ความเร็ว 30 รอบ/นาที เป็นเวลา 18 ชั่วโมง ที่อุณหภูมิ 25 °C
 - 4. กรองสารละลายที่ได้ด้วยกระดาษกรองที่มีขนาดรูกรอง 0.45 ไมครอน
- 5. นำตัวอย่างน้ำชะละลายโลหะหนักที่กรองได้ไปวิเคราะห์หาปริมาณโลหะหนักด้วย เครื่อง Atomic Absorption Spectrophotometer (AAS)

ภาคผนวก ข ผลการศึกษาความสามารถกำลังรับแรงอัดของก้อนหล่อแข็งของเสีย

ตารางที่ ข.1 ค่ากำลังรับแรงอัดของก้อนหล่อแข็งที่มีการแปรเปลี่ยนอัตราส่วนระหว่าง เถ้าแกลบคำ:ปูนขาวที่ 45:55, 50:50, 55:45 และ 60:40 ที่อายุ 7, 14, 28 และ 56 วัน

อัตราส่วนระหว่าง	ตัวอย่าง	กำลังรับแรงอัด (กก./ซม.²)				
เถ้าแกลบดำ:ปูนขาว	M 168 IJ	7 วัน	14 วัน	28 วัน	56 วัน	
	1	7.80	18.66	39.98	93.51	
	2	7.21	23.71	40.78	50.91	
45:55	3	7.21	17.30	43.63	75.56	
	ค่าเฉลี่ย	7.41	19.89	41.46	73.33	
50:50	1	8.76	22.75	50.32	104.34	
	2	9.85	23.07	48.12	110.49	
	3	9.61	20.19	50.21	109.47	
	ค่าเฉลี่ย	9.41	22.00	49.55	108.10	
	1	13.84	35.85	62.08	117.68	
55:45	2	13.18	35.99	59.10	122.31	
	3	13.73	fail	61.05	123.26	
	ก่าเฉลี่ย	13.58	35.92	60.74	121.08	
60:40	1	12.96	28.01	55.32	92.77	
	2	9.64	29.72	51.91	95.85	
	3	12.72	28.68	56.59	92.00	
	ค่าเฉลี่ย	11.77	28.80	54.61	93.54	

ตารางที่ ข.2 ค่ากำลังรับแรงอัดของก้อนหล่อแข็งที่อัตราส่วนระหว่างเถ้าแกลบคำ:ปูนขาวที่ 55:45 ในสภาวะที่มีการกระตุ้นปฏิกิริยาด้วยโซเดียมซิลิเกต ที่Alkali Modulus 1.0

ปริมาณโซเดียมซิลิเกต	ตัวอย่าง		กำ	ล้งรับแรง	อัด (กก./ๆ	ชม.²)	
(ร้อยละ)	หายยา ง	1 วัน	3 วัน	7 วัน	14 วัน	21 วัน	28 วัน
	1	2.17	4.55	8.87	14.75	18.48	20.50
0.5	2	1.98	4.25	9.09	13.94	18.22	21.95
0.5	3	2.33	3.99	8.14	12.27	19.79	22.14
	ค่าเฉลี่ย	2.16	4.26	8.70	13.65	18.83	21.53
	1	3.80	7.95	15.01	20.96	24.98	28.57
1.0	2	3.60	7.35	13.58	20.27	25.65	27.87
1.0	3	3.51	7.87	13.15	20.46	24.73	28.48
	ค่าเฉลี่ย	3.64	7.72	13.91	20.56	25.12	28.31
	1	6.33	10.70	19.73	24.76	32.95	43.35
1.5	2	6.60	10.13	20.47	23.27	32.40	39.90
	3	7.03	11.12	19.58	24.30	31.84	40.03
	ค่าเฉลี่ย	6.65	10.65	19.93	24.11	32.40	41.09

ตารางที่ ข.3 ค่ากำลังรับแรงอัดของก้อนหล่อแข็งที่อัตราส่วนระหว่างเถ้าแกลบคำ:ปูนขาวที่ 55:45 ในสภาวะที่มีการกระตุ้นปฏิกิริยาด้วยโซเดียมซิลิเกต ที่Alkali Modulus 2.0

ปริมาณโซเดียมซิลิเกต	ตัวอย่าง		กำ	ลังรับแรง	อัด (กก./ๆ	รม.²)	
(ร้อยละ)	M 168 14	1 วัน	3 วัน	7 วัน	14 วัน	21 วัน	28 วัน
	1	2.19	5.00	9.49	14.81	20.76	22.47
0.5	2	1.28	4.29	9.36	14.52	20.51	24.26
0.5	3	1.78	3.76	9.36	15.31	20.21	23.50
	ค่าเฉลี่ย	1.75	4.35	9.40	14.88	20.49	23.41
	1	3.16	8.32	15.82	23.91	28.11	32.43
1.0	2	2.79	9.05	16.96	22.30	26.33	31.10
1.0	3	3.44	9.03	15.05	22.07	28.55	30.87
	ค่าเฉลี่ย	3.13	8.80	15.94	22.76	27.66	31.47
	1	5.50	11.15	21.52	26.93	32.44	42.78
1.5	2	5.64	12.37	21.61	28.15	33.71	40.99
	3	5.10	12.56	20.64	28.64	34.72	42.34
	ค่าเฉลี่ย	5.41	12.03	21.26	27.91	33.62	42.04

ตารางที่ ข.4 ค่ากำลังรับแรงอัคของก้อนหล่อแข็งที่อัตราส่วนระหว่างเถ้าแกลบคำ:ปูนขาวที่ 55:45 ในสภาวะที่มีการกระตุ้นปฏิกิริยาด้วยโซเดียมซิลิเกต ที่Alkali Modulus 3.0

ปริมาณโซเดียมซิลิเกต	ตัวอย่าง		_{ກຳ}	ลังรับแรง	าอัด (กก./ๆ	ชม.²)	
(ร้อยละ)	AI 168 IJ	1 วัน	3 วัน	7 วัน	14 วัน	21 วัน	28 วัน
	1	1.15	5.47	13.32	17.24	21.67	26.65
0.5	2	1.26	6.71	12.13	17.84	23.38	25.86
0.3	3	1.10	5.43	14.63	18.32	20.28	23.44
	ค่าเฉลี่ย	1.17	5.87	13.36	17.80	21.78	25.32
	1	2.43	10.22	17.26	26.92	30.01	34.84
1.0	2	2.37	10.47	18.36	27.67	34.12	35.00
1.0	3	2.46	10.00	18.16	29.78	30.09	33.62
	ค่าเฉลี่ย	2.42	10.23	17.93	28.12	31.41	34.49
	1	4.09	15.74	24.94	31.60	44.29	53.75
1.5	2	4.03	15.46	23.80	30.13	43.08	56.68
	3	4.10	14.92	27.02	31.87	45.82	58.76
	ค่าเฉลี่ย	4.07	15.37	25.25	31.20	44.40	56.40

ตารางที่ ข.5 ค่ากำลังรับแรงอัดของก้อนหล่อแข็งของเสียที่อัตราส่วนระหว่างเถ้าแกลบคำ:ปูนขาว ที่ 55:45 ในสภาวะที่มีการกระตุ้นปฏิกิริยาด้วยโซเดียมซิลิเกต ที่Alkali Modulus 3.0 ปริมาณร้อยละ 1.5 โดยปริมาตรต่อน้ำหนักวัสดุยึดประสาน

ปริมาณกากตะกอน	ตัวอย่าง			กำลังรั	บแรงอัด (กก./ซม.²)		
โลหะหนัก (ร้อยละ)	N. 168 14	1 วัน	3 วัน	7 วัน	14 วัน	28 วัน	56 วัน	91 วัน
	1	6.25	15.74	24.94	31.60	53.75	54.97	61.74
0	2	7.82	15.46	23.80	30.13	56.68	58.31	60.08
0	3	6.04	14.92	27.02	31.87	58.76	58.07	56.95
	ค่าเฉลี่ย	6.70	15.37	25.25	31.20	56.40	57.12	59.59
	1	4.68	6.38	10.85	24.32	42.46	43.30	45.25
10	2	4.31	7.96	11.40	24.92	44.02	44.09	43.56
10	3	4.74	6.91	10.50	24.88	41.34	45.54	43.07
	ค่าเฉลี่ย	4.58	7.08	10.92	24.71	42.61	44.31	43.96
	1	4.33	5.33	7.03	21.93	38.44	39.76	41.22
30	2	3.83	5.00	8.10	23.10	36.83	40.16	40.81
30	3	4.51	6.14	7.26	22.95	39.71	41.51	41.24
	ค่าเฉลี่ย	4.22	5.49	7.46	22.66	38.33	40.48	41.09
	1	0.60	1.79	5.92	13.46	33.92	37.81	38.21
	2	1.53	2.36	5.09	14.93	35.14	39.16	40.20
50	3	0.89	2.10	5.25	15.78	34.48	37.30	40.02
	ค่าเฉลี่ย	1.01	2.08	5.42	14.72	34.51	38.09	39.48

ตารางที่ ข.6 ค่ากำลังรับแรงอัคของก้อนหล่อแข็งของเสียที่อัตราส่วนระหว่างเถ้าแกลบคำ:ปูนขาว ที่ 55:45 ในสภาวะที่มีการกระตุ้นปฏิกิริยาด้วยความร้อนที่อุณหภูมิห้อง

ปริมาณกากตะกอน	e a la c			กำลังร	รับแรงอัด	(กก./ซม.²ฺ)	
โลหะหนัก (ร้อยละ)	ตัวอย่าง	1 วัน	3 วัน	7 วัน	14 วัน	28 วัน	56 วัน	91 วัน
	1	0.00	2.87	14.47	36.85	59.83	126.94	134.94
0	2	0.00	2.09	12.76	36.78	60.25	117.74	130.31
0	3	0.00	2.41	13.06	36.88	61.11	116.70	139.78
	ค่าเฉลี่ย	0.00	2.46	13.43	36.84	60.40	120.46	135.01
	1	0.00	1.54	7.39	21.39	39.20	70.15	78.72
10	2	0.00	1.49	7.33	20.60	38.85	69.88	74.26
10	3	0.00	1.54	7.67	21.54	38.76	66.30	77.80
	ค่าเฉลี่ย	0.00	1.52	7.46	21.18	38.94	68.78	76.93
	1	0.00	0.35	1.04	6.13	30.43	35.15	54.44
30	2	0.00	1.03	6.25	20.17	35.11	54.59	62.43
30	3	0.00	1.17	6.34	20.64	35.34	53.82	65.43
	ค่าเฉลี่ย	0.00	0.85	4.54	15.65	33.63	47.85	60.77
	1	0.00	0.35	0.95	5.66	25.12	30.60	49.34
50	2	0.00	0.83	5.23	12.94	28.24	46.70	56.77
30	3	0.00	0.80	5.64	12.98	29.84	46.23	55.75
	ค่าเฉลี่ย	0.00	0.66	3.94	10.53	27.73	41.18	53.95

ตารางที่ ข.7 ค่ากำลังรับแรงอัดของก้อนหล่อแข็งของเสียที่อัตราส่วนระหว่างเถ้าแกลบคำ:ปูนขาว ที่ 55:45 ในสภาวะที่มีการกระตุ้นปฏิกิริยาด้วยความร้อนที่อุณหภูมิ 40 °ซ

ปริมาณกากตะกอน	ตัวอย่าง			กำลังรั	บแรงอัด ((กก./ซม.²)	
โลหะหนัก (ร้อยละ)	M 168 IJ	1 วัน	3 วัน	7 วัน	14 วัน	28 วัน	56 วัน	91 วัน
	1	0.83	3.29	10.53	29.07	49.03	76.50	89.12
0	2	0.83	3.91	9.69	30.08	49.56	78.22	84.12
0	3	0.82	3.18	10.13	31.42	50.52	78.99	89.62
	ค่าเฉลี่ย	0.83	3.46	10.12	30.19	49.70	77.90	87.62
	1	1.42	3.48	8.26	23.38	45.86	60.03	72.69
10	2	0.82	2.93	7.63	26.75	49.34	61.68	73.52
10	3	0.83	3.34	7.92	25.66	47.82	60.25	70.79
	ค่าเฉลี่ย	1.02	3.25	7.94	25.26	47.67	60.65	72.33
	1	1.64	3.09	6.42	24.78	37.34	56.30	58.18
30	2	1.48	2.41	5.12	22.32	37.04	52.13	62.12
30	3	1.66	3.27	6.88	23.05	37.42	53.07	64.68
	ค่าเฉลี่ย	1.59	2.92	6.14	23.38	37.27	53.83	61.66
	1	2.01	2.21	5.79	21.99	32.62	45.91	53.28
50	2	1.70	2.05	5.63	19.35	32.82	46.84	53.14
30	3	1.82	2.37	6.03	20.91	32.65	46.56	51.74
	ค่าเฉลี่ย	1.84	2.21	5.82	20.75	32.70	46.44	52.72

ตารางที่ ข.8 ค่ากำลังรับแรงอัดของก้อนหล่อแข็งของเสียที่อัตราส่วนระหว่างเถ้าแกลบคำ:ปูนขาว ที่ 55:45 ในสภาวะที่มีการกระตุ้นปฏิกิริยาด้วยความร้อนที่อุณหภูมิ 50 °ซ

ปริมาณกากตะกอน	ตัวอย่าง			กำลังรั	ับแรงฮัด (กก./ซม.²)		
โลหะหนัก (ร้อยละ)	AI 168 IJ	1 วัน	3 วัน	7 วัน	14 วัน	28 วัน	56 วัน	91 วัน
	1	4.18	5.65	15.04	33.45	52.97	78.90	83.33
0	2	4.43	6.15	14.88	31.71	52.52	82.93	81.38
U	3	3.72	5.70	14.33	31.79	52.23	80.23	86.96
	ค่าเฉลี่ย	4.11	5.83	14.75	32.32	52.57	80.69	83.89
	1	2.24	4.10	8.68	27.82	47.34	56.19	59.92
10	2	2.23	3.97	8.24	28.76	46.87	53.58	57.13
10	3	1.99	4.18	8.33	29.99	44.92	54.40	65.09
	ค่าเฉลี่ย	2.15	4.08	8.42	28.86	46.38	54.72	60.71
	1	1.41	3.15	8.39	26.49	40.72	53.12	54.96
30	2	2.03	3.82	6.81	24.91	39.36	52.63	56.28
30	3	2.51	2.87	7.75	24.95	38.28	52.26	57.95
	ค่าเฉลี่ย	1.98	3.28	7.65	25.45	39.45	52.67	56.40
	1	2.03	2.96	8.18	23.85	31.83	49.03	54.52
50	2	1.66	3.03	5.29	23.37	34.34	49.47	54.83
50	3	1.88	3.09	6.15	22.36	35.84	47.36	54.07
	ค่าเฉลี่ย	1.86	3.03	6.54	23.19	34.00	48.62	54.47

ตารางที่ ข.9 ค่ากำลังรับแรงอัคของก้อนหล่อแข็งของเสียที่อัตราส่วนระหว่างเถ้าแกลบคำ:ปูนขาว ที่ 55:45 ในสภาวะที่มีการกระตุ้นปฏิกิริยาค้วยโซเคียมซิลิเกต ที่Alkali Modulus 1.0 และที่อุณหภูมิ 40 °ซ

ปริมาณโซเดียมซิลิเกต	ตัวอย่าง		กำ	ลังรับแรง	อัด (กก./ๆ	รม.²)	
(ร้อยละ)	AI 168 IJ	1 วัน	3 วัน	7 วัน	14 วัน	21 วัน	28 วัน
	1	3.98	4.92	10.34	13.86	20.37	24.96
0.5	2	3.47	4.79	10.57	14.29	19.83	23.46
0.5	3	3.73	6.52	10.50	15.70	19.80	24.21
	ค่าเฉลี่ย	3.73	5.41	10.47	14.62	20.00	24.21
	1	9.53	12.43	16.99	23.70	28.48	35.36
1.0	2	9.15	10.88	14.40	24.24	28.73	37.36
1.0	3	9.21	11.12	18.62	23.62	27.90	33.74
	ค่าเฉลี่ย	9.30	11.47	16.67	23.85	28.37	35.49
	1	11.02	17.02	26.78	32.48	34.73	44.36
1.5	2	10.69	17.51	26.82	31.99	36.08	43.69
	3	10.96	18.59	26.69	31.39	35.10	45.55
	ค่าเฉลี่ย	10.89	17.71	26.76	31.95	35.30	44.53

ตารางที่ ข.10 ค่ากำลังรับแรงอัคของก้อนหล่อแข็งของเสียที่อัตราส่วนระหว่างเถ้าแกลบดำ:ปูนขาว ที่ 55:45 ในสภาวะที่มีการกระตุ้นปฏิกิริยาด้วยโซเคียมซิลิเกต ที่Alkali Modulus 1.0 และที่อุณหภูมิ 50°ซ

ปริมาณโซเดียมซิลิเกต	ตัวอย่าง		กำ	ลังรับแรง	อัด (กก./ข	ัม.²)	
(ร้อยละ)	AI 168 IJ	1 วัน	3 วัน	7 วัน	14 วัน	21 วัน	28 วัน
	1	5.26	7.07	13.49	17.66	20.33	26.26
0.5	2	5.82	6.86	12.42	15.83	23.38	24.74
0.3	3	5.63	7.50	10.93	16.83	23.67	27.90
	ค่าเฉลี่ย	5.57	7.15	12.28	16.77	22.46	26.30
	1	13.46	17.35	19.46	27.51	35.83	39.83
1.0	2	14.10	18.84	20.40	28.56	35.39	40.16
1.0	3	13.95	19.32	22.31	28.65	35.56	38.78
	ค่าเฉลี่ย	13.84	18.50	20.72	28.24	35.59	39.59
	1	18.15	22.93	30.66	37.19	46.30	49.86
1.5	2	17.96	21.40	29.99	37.71	46.07	50.27
	3	19.15	22.59	29.75	36.58	45.64	51.16
	ค่าเฉลี่ย	18.42	22.31	30.14	37.16	46.00	50.43

ตารางที่ ข.11 ค่ากำลังรับแรงอัคของก้อนหล่อแข็งของเสียที่อัตราส่วนระหว่างเถ้าแกลบดำ:ปูนขาว ที่ 55:45 ในสภาวะที่มีการกระตุ้นปฏิกิริยาด้วยโซเคียมซิลิเกต ที่Alkali Modulus 2.0 และที่อุณหภูมิ 40°ซ

ปริมาณโซเดียมซิลิเกต	ตัวอย่าง		กำ	ลังรับแรง	อัด (กก./ข	รม.²)	
(ร้อยละ)	AI 168 IJ	1 วัน	3 วัน	7 วัน	14 วัน	21 วัน	28 วัน
	1	3.26	5.93	11.26	16.18	23.20	23.67
0.5	2	3.00	5.33	10.30	18.81	21.67	24.37
0.5	3	3.41	6.77	10.85	16.89	21.45	25.44
	ค่าเฉลี่ย	3.22	6.01	10.80	17.29	22.11	24.49
	1	5.85	13.84	19.29	31.56	33.97	35.58
1.0	2	6.30	13.64	18.96	27.80	31.87	36.31
1.0	3	5.65	14.98	18.37	29.23	32.78	35.39
	ค่าเฉลี่ย	5.93	14.15	18.87	29.53	32.87	35.76
	1	8.92	18.10	26.96	35.81	40.53	57.15
1.5	2	9.31	19.32	25.70	33.13	41.42	56.73
	3	10.04	20.42	27.75	34.62	40.06	54.57
	ค่าเฉลี่ย	9.42	19.28	26.80	34.52	40.67	56.15

ตารางที่ ข.12 ค่ากำลังรับแรงอัดของก้อนหล่อแข็งของเสียที่อัตราส่วนระหว่างเถ้าแกลบดำ:ปูนขาว ที่ 55:45 ในสภาวะที่มีการกระตุ้นปฏิกิริยาด้วยโซเคียมซิลิเกต ที่Alkali Modulus 2.0 และที่อุณหภูมิ 50°ซ

ปริมาณโซเดียมซิลิเกต	ตัวอย่าง		กำ	ลังรับแรง	อัด (กก./ข	รม.²)	
(ร้อยละ)	N 168 IJ	1 วัน	3 วัน	7 วัน	14 วัน	21 วัน	28 วัน
	1	4.32	8.58	15.28	20.77	25.10	28.60
0.5	2	4.65	9.03	15.45	18.97	24.92	28.03
0.5	3	4.06	8.07	13.36	19.41	24.67	29.37
	ค่าเฉลี่ย	4.34	8.56	14.70	19.72	24.90	28.67
	1	12.68	17.36	27.31	34.90	39.00	46.74
1.0	2	12.91	17.69	27.50	34.91	40.62	44.26
1.0	3	11.52	17.75	27.64	34.54	40.28	47.16
	ค่าเฉลี่ย	12.37	17.60	27.48	34.78	39.97	46.05
	1	17.12	25.73	32.67	37.51	50.57	59.47
1.5	2	16.93	25.63	31.80	40.72	47.53	62.51
	3	16.29	25.69	34.04	39.27	50.76	60.24
	ค่าเฉลี่ย	16.78	25.68	32.84	39.17	49.62	60.74

ตารางที่ ข.13 ค่ากำลังรับแรงอัดของก้อนหล่อแข็งของเสียที่อัตราส่วนระหว่างเถ้าแกลบดำ:ปูนขาว ที่ 55:45 ในสภาวะที่มีการกระตุ้นปฏิกิริยาด้วยโซเคียมซิลิเกต ที่Alkali Modulus 3.0 และที่อุณหภูมิ 40°ซ

ปริมาณโซเดียมซิลิเกต	ตัวอย่าง		กำ	ล้งรับแรง	อัด (กก./ๆ	ชม.²)	
(ร้อยละ)	AI 1019 IA	1 วัน	3 วัน	7 วัน	14 วัน	21 วัน	28 วัน
	1	2.81	6.95	15.59	18.90	25.47	27.95
0.5	2	2.74	6.90	13.61	18.23	23.96	28.68
0.3	3	3.46	7.81	14.66	19.73	27.27	27.73
	ค่าเฉลี่ย	3.00	7.22	14.62	18.95	25.56	28.12
	1	4.30	16.51	21.95	32.44	34.68	40.76
1.0	2	4.32	17.25	20.54	31.95	34.46	38.29
1.0	3	4.19	18.24	21.94	32.07	33.28	37.30
	ค่าเฉลี่ย	4.27	17.33	21.48	32.15	34.14	38.78
	1	8.29	22.99	31.09	38.75	49.41	60.19
1.5	2	7.94	22.59	31.92	39.44	52.32	59.33
	3	8.32	21.48	30.31	36.87	49.45	61.06
	ค่าเฉลี่ย	8.18	22.35	31.11	38.35	50.39	60.19

ตารางที่ ข.14 ค่ากำลังรับแรงอัคของก้อนหล่อแข็งของเสียที่อัตราส่วนระหว่างเถ้าแกลบดำ:ปูนขาว ที่ 55:45 ในสภาวะที่มีการกระตุ้นปฏิกิริยาด้วยโซเคียมซิลิเกต ที่Alkali Modulus 3.0 และที่อุณหภูมิ 50°ซ

ปริมาณโซเดียมซิลิเกต	ตัวอย่าง	กำลังรับแรงอัด (กก./ชม.²)								
(ร้อยละ)	AI 168 IJ	1 วัน	3 วัน	7 วัน	14 วัน	21 วัน	28 วัน			
0.5	1	3.92	11.87	17.11	21.00	30.15	34.56			
	2	3.34	10.28	18.19	22.02	30.39	35.14			
	3	2.87	11.65	16.54	21.29	29.11	37.28			
	ค่าเฉลี่ย	3.38	11.27	17.28	21.44	29.88	35.66			
	1	9.56	20.93	33.85	41.21	47.69	50.27			
1.0	2	9.18	19.64	34.97	41.08	47.91	53.28			
1.0	3	10.47	20.19	37.38	40.69	45.21	49.91			
	ค่าเฉลี่ย	9.74	20.25	35.40	40.99	46.94	51.15			
	1	11.95	28.70	35.25	45.30	56.85	70.11			
1.5	2	12.18	28.40	36.98	44.83	55.37	70.23			
1.5	3	12.80	29.44	36.03	47.46	58.13	72.47			
	ค่าเฉลี่ย	12.31	28.85	36.09	45.86	56.78	70.94			

ตารางที่ ข.15 ค่ากำลังรับแรงอัคของก้อนหล่อแข็งของเสียที่อัตราส่วนระหว่างเถ้าแกลบคำ:ปูนขาว ที่ 55:45 ในสภาวะที่มีการกระตุ้นปฏิกิริยาด้วยโซเดียมซิลิเกต ที่Alkali Modulus 3.0 ในปริมาณร้อยละ 1.5 โดยปริมาตรต่อน้ำหนักวัสดุยึดประสาน และที่อุณหภูมิ 50°ซ

ปริมาณกากตะกอน	ตัวอย่าง							
โลหะหนัก (ร้อยละ)	N. 198 IA	1 วัน	3 วัน	7 วัน	14 วัน	28 วัน	56 วัน	91 วัน
	1	22.63	28.70	35.25	45.30	70.11	80.10	81.32
	2	22.98	28.40	36.98	44.83	70.23	79.03	81.66
0	3	24.31	29.44	36.03	47.46	72.47	77.32	80.44
	ค่าเฉลี่ย	23.31	28.85	36.08	45.86	70.94	78.82	81.14
10	1	13.35	17.80	19.76	29.42	45.89	50.26	53.83
	2	13.36	16.86	23.70	29.72	49.54	53.28	53.51
	3	11.87	17.03	27.24	31.31	46.68	51.58	53.58
	ค่าเฉลี่ย	12.86	17.23	23.57	30.15	47.37	51.71	53.64
	1	5.71	7.42	10.80	28.73	39.38	46.47	47.08
30	2	6.31	7.70	11.58	27.37	39.32	43.01	49.11
	3	7.00	7.84	12.36	28.02	41.89	45.70	50.11
	ค่าเฉลี่ย	6.34	7.65	11.58	28.04	40.20	45.06	48.77
	1	2.43	2.45	6.46	17.75	35.69	37.98	41.71
	2	2.51	2.31	6.61	17.65	37.01	36.57	40.23
50	3	2.71	2.31	5.92	18.16	36.08	38.56	40.10
	ค่าเฉลี่ย	2.55	2.36	6.33	17.85	36.26	37.70	40.68

ภาคผนวก ข. ผลงานวิจัยที่ได้รับการตีพิมพ์

EFFECTS OF ELEVATED TEMPERATURE CURING ON STRENGTH AND LEACHABILITY OF THE SOLIDIFIED WASTES USING LIME AND BHA AS SOLIDIFICATION BINDER

Rungroj Piyaphanuwat, Suwimol Asavapisit* and Sasidhorn Buddhawong

Received: Mar 1, 2005; Revised: Jan 8, 2005; Accepted: Jan 9, 2005

Abstract

This work studied the effects of elevated temperature curing on strength and leachability of the solidified wastes. The lime to BHA ratio of 45:55 was used as solidification binder. The metal-containing waste was added to the solidification binders at 10, 30, and 50 wt% by weight of binder. The sample were cured at 40°C and 50°C for 1 day and the followed by room temperature. It was observed that the elevated curing temperature accelerated the dissolution of monosilicate ion [SiO(OH)₃] and Ca²⁺ ion from BHA and lime. This resulted in an increase in the rate of strength development at the early ages (1 and 3 days); although a reduction of the strength at later age (28 days) was observed. In addition, the leachability of Pb, Cr, Ni, Cu, Fe, and Zn from the solidified wastes was very low except that of cadmium. This was due to the high buffering capacity of the solidified matrices.

Keywords: Black husk ash, sodium silicate, thermal activation, strength, leaching

Introduction

Stabilization/solidification is a widely used technology to treat heavy metal-containing wastes prior to landfilling. Heavy metals are chemically stabilized as insoluble hydroxides by controlling pH of the wastes to between 8 and 9.5. The metal hydroxide sludges were then solidified using ordinary Portland cement (OPC) as solidification binder. Several pozzolanic materials, for example pulverized fuel ash and rice husk ash, can be used to substitute for OPC or react with lime to produce monolithic materials. The hydration reactions of OPC or pozzolanic reactions between OPC or lime and

pozzolanic materials provide an interlocking matrix to physically encapsulate waste particles and account for the strength development.

Pozzolanic materials are high in SiO₂ and often also in Al₂O₃ but low in CaO. Most pozzolans do not undergo self-cementing reactions, but in the presence of lime and water can produce cementitious materials and act in a similar manner to hydraulic cement, (Wiles, 1987). The slow pozzolanic reactions make the pozzolan-based solidification processes unattractive for some applications although these types of treatment also reduce costs. Some

Environmental Technology Division, School of Energy and Materials, King Mongkut's University of Technology Thonburi, Bangkok 10140

Suranaree J. Sci. Technol. 12(2):91-97

^{*} Corresponding author

recent research has shown that the slow pozzolanic reactions could be accelerated using either chemical or thermal activation (Shi and Day, 1993a, 1993b, 2001; Roy, 1999).

Previous works have been done on thermal activation of blast furnace slag and fly ash cements (Shi et al., 1991; Paya et al., 2000; Asavapisit and Chotklang, 2004). Very few works were found on thermal activation of black husk ash (BHA) cement. The purpose of this work is to use BHA as solidification binder to solidify metal-containing waste. BHA is generated in large quantities from a boiler using rice husk to replace fossil fuel. In this work, BHA was used in combination with lime to solidify metal-containing waste and curing at room temperature (30°C - 32°C), 40°C and 50°C. Low temperatures curing 40°C and 50°C were selected to simulate the landfill conditions where the solidified wastes were placed and directly exposed to solar radiation. The metalcontaining waste was added to the solidification binders (BHA and lime) at 0, 10, 30, and 50 wt% Strength development and heavy metals released from the solidified wastes were measured to evaluate their performances.

Materials and Methods

Materials

BHA used in this work was from Lad Bua Luang District, Phra Nakhon Si Ayutthaya. It is generated from the cyclone burner using rice husk as fuel to remove moisture from the paddies. The BHA was ground to a particle size of less than 45 mm using Los Angeles Abrasion Machine. Chemical compositions of BHA were determined by X-ray fluorescence and are shown in Table 1. SiO₂ was present in BHA at 94.5% which was classified as pozzolan class C following ASTM C 618-97. In addition, the 28-day strength activity index of BHA was 95.4%.

The metal-containing sludge was brought from a central treatment plant in Bangkok, Thailand. The sludge was oven dried and ground to a particle size of less than 0.5 mm. The ground metal-containing waste was digested with 5 ml of concentrated nitric acid, 1 ml of hydrogenperoxide and 1 ml of hydrogenfluoride using microwave digestion. The concentration of heavy metals was analyzed using Atomic Absorption Spectroscopy (AAS) and the results are shown in Table 2.

Sample Preparation

Lime-BHA cements were prepared using lime and BHA at the ratios of 55: 45, 50: 50, 45: 55, and 40: 60, respectively. A water-to-solid ratio for each mix was obtained by conducting normal consistency test using the procedure described in the ASTM C 187-86 and results are shown in Table 3. The slurry was mixed following the ASTM C 305-94 standard test method to achieve a uniform distribution and later transferred to the cylindrical plastic mould. The optimum proportion between lime and BHA was selected from the strength development results during 56 days of curing under room temperature (30°C - 32°C).

The metal-containing waste was then loaded to the optimum proportion between lime and BHA at 0, 10, 30, and 50 wt% of binder.

Table 1. Chemical compositions of BHA (wt%)

SiO ₂	Al ₂ O ₃	Fe ₂ O ₃	CaO	MgO	SO ₃	LOI
94.45	< 0.01	0.14	0.80	0.26	0.04	2.45

Table 2. Concentration of heavy metals in the metal-containing waste (mg/kg dry waste)

Zn	Ni	Fe	Pb	Al	Cr	Cd	Cu
127.5	142.5	3,541.8	3.4	104.5	83.7	7.1	44.0

Water requirement for each mix is shown in Table 3. The sample specimens were wrapped with cling film and placed in the zip-locked plastic bag and sat in water bath. The sample specimens were cured under the controlled temperatures for 1 day and cured at room temperature thereafter (Table 4).

Unconfined Compressive Strength Test

Compressive strength of the samples was measured following ASTM D 1633-96 test method. The cylindrical moulds, 50 mm in diameter and 100 mm in height, were modified. Strength development of the solidified wastes was determined after curing for 1, 3, 7, 14, 28, 56, and 91 days. A set of three samples was used for the compression test to ensure the reproducibility of the results.

Leaching Test

Metal leaching from the solidified wastes was assessed using the test method defined by the Ministry of Industry on the samples cured for 28 days. A synthetic acid leachant composed of 80 wt% sulfuric acid and 20 wt% nitric acid and diluted with deionized water to a pH of 5 was used. This is designed to simulate waste exposure to acid rain.

The samples were crushed until the particle sizes were less than 9.5 mm. The crushed samples were then extracted with an amount of acid leachant equal to 20 times of the sample weight. The extraction vessels were rotated in an end-over-end manner at 30 rpm for 18 h. The leachates were filtered through a 0.45 µm membrane filter to remove suspended solids. The filtrates were measured for pH and heavy metals concentration by AAS. Each leachate was analysed in triplicate and the mean values were reported.

Results and Discussion

Strength Development of Lime-BHA Cements

Figure 1 shows the strength development of lime-BHA cements containing lime and BHA at various proportions. BHA does not undergo self-cementing reactions like OPC to low lime

content (Table 1). In the presence of lime and water SiO_2 dissociates from the surface of BHA. The dissolved monosilicate ion [$SiO(OH)_3$] then reacts with Ca^{2+} ion dissociates from lime and as a result C-S-H gels are formed (Shi and Day, 2000). The experimental results showed that the highest rate of the strength development was obtained from the proportion of 45% lime and 55% BHA. This proportion was selected for further study throughout this work.

Effect of Curing Temperatures on Strength of Lime-BHA Cements

The strength development of lime-BHA cements containing 45% lime and 55% BHA and cured at room temperature, 40°C and 50°C is shown in Figure 2. At the age of 1 day, lime-BHA cements cured at room temperature could not be demoulded whereas those cured at 40°C and 50°C gained strength of 0.82 and 4.11 kg/cm². A higher rate of the strength development from the samples cured at elevated temperatures was also observed at the age of

Table 3. Water requirement for each mix

Composition	W/S
BHA : Lime	9
40:60	0.570
45:55	0.575
55:45	0.585
60:40	0.590
BHA: Lime: Waste	
55:45:10	0.585
55:45:30	0.595
55:45:50	0.600
W / S = water to solid ratio	days. This is

Table 4. Curing conditions for lime-BHA cement and the solidified wastes

Identity	Curing condition
Curing regime 1	Room temperature
Curing regime 2	40°C for 1 day followed
meet le hours la	by room temperature
Curing regime 3	50°C for 1 day followed
50°C were 82%	by room temperature

94 Effects of Elevated Temperature Curing on Strength and Leachability of the Solidified Wastes

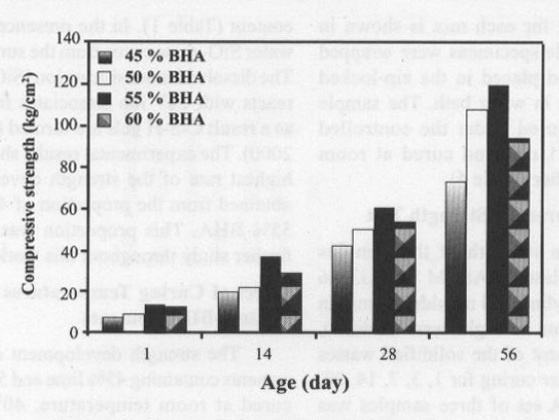


Figure 1. Strength development of lime-BHA cements

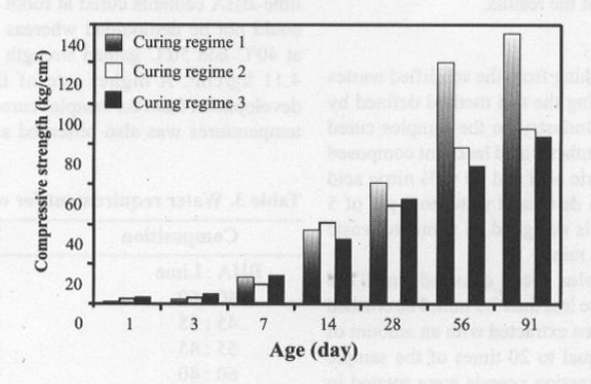
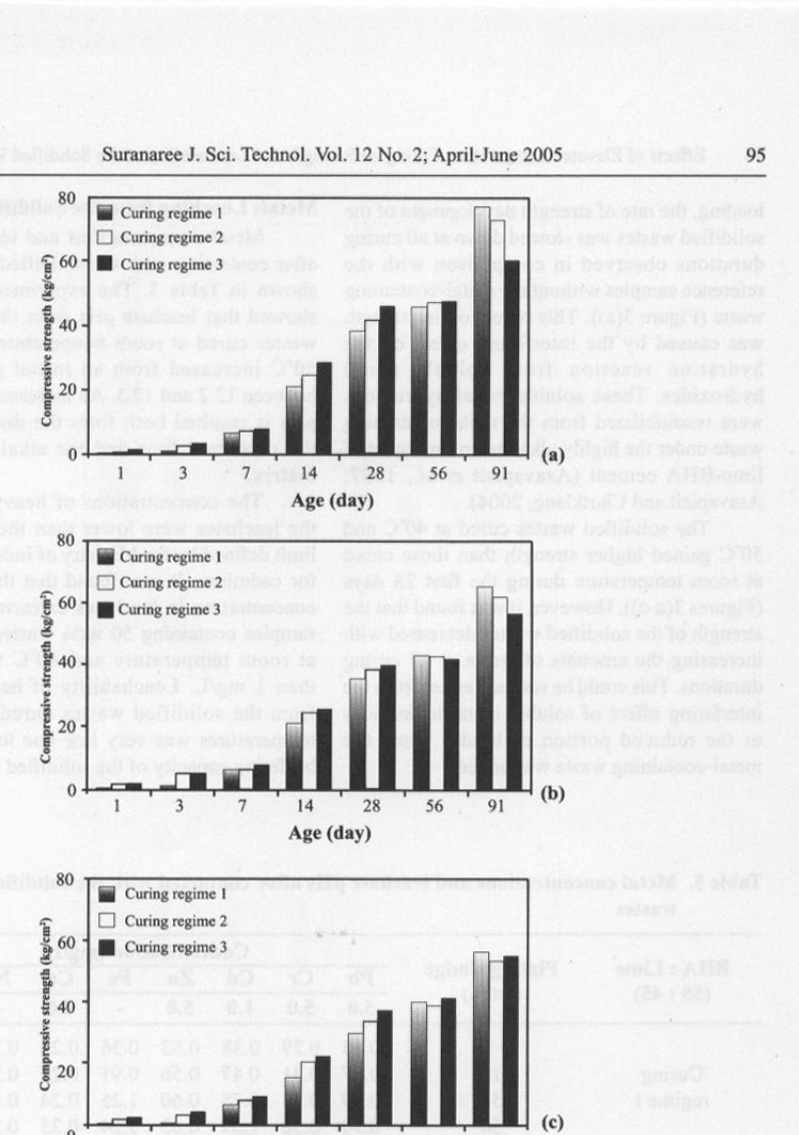


Figure 2. Strength development of lime-BHA cements containing 45% lime and 55% BHA cured at different temperatures

3 days. This is because the solubility of ${\rm SiO_2}$ from the surface of BHA under alkali environment increases at the increasing curing temperatures. As a result, the soluble silicate reacts with lime and C-S-H gels are formed. This is responsible for the early strength development of lime-BHA cements.

At the later ages (after 7 days of curing), the strength of lime-BHA cements cured at 40°C and 50°C was lower than that cured at room temperature. The 28-day strengths of lime-BHA cements cured at 40°C and 50°C were 82%

and 87% that of the control (cured at room temperature). In addition, the strength of lime-BHA cements cured at 50°C was lower than that cured at 40°C at the age of 56 and 91 days. Similar observation was reported by Shi and Day (2001) that a rise in curing temperature from 23°C to 65°C affected the hydration rate at the later ages and the later ages strength. Possible explanation for this phenomenon is that under elevated temperature curing the dissolution of SiO₂ from the surface of BHA is accelerated. This leads to the



Age (day)

Figure 3. Strength development of lime-BHA cements containing metal-containing waste at (a) 10%, (b) 30%, and (c) 50%

rapid formation of hydration products which precipitate and cover the BHA particles. The rate of hydration at the later ages is therefore controlled by diffusion through the thick layer of precipitated hydration products. (Shi and Day, 2000a, 2000b)

Effect of Curing Temperatures on Strength of the Solidified Wastes

The Strength development of the solidified wastes at different waste concentrations and cured at room temperature, 40°C and 50°C is shown in Figures 3(a-c). At 10 wt% of waste

6 Effects of Elevated Temperature Curing on Strength and Leachability of the Solidified Wastes

loading, the rate of strength development of the solidified wastes was slowed down at all curing durations observed in comparison with the reference samples without the metal-containing waste (Figure 3(a)). This reduction in strength was caused by the interfering effect on the hydration reaction from soluble metal hydroxides. These soluble metal hydroxides were resolubilized from the metal-containing waste under the highly alkaline environment of lime-BHA cement (Asavapisit et al., 1997; Asavapisit and Chotklang, 2004).

The solidified wastes cured at 40°C and 50°C gained higher strength than those cured at room temperature during the first 28 days (Figures 3(a-c)). However, it was found that the strength of the solidified wastes decreased with increasing the amounts of waste at all curing durations. This could be resulted either from the interfering effect of soluble metal hydroxides or the reduced portion of binder when the metal-containing waste was added.

Metals Leaching from the Solidified Wastes

Metal concentrations and leachate pHs after contacting with the solidified wastes are shown in Table 5. The experimental results showed that leachate pHs from the solidified wastes cured at room temperature, 40°C and 50°C increased from an initial pH of 5 to between 12.2 and 12.3. An increase of leachate pHs is resulted both from the dissolution of the unreacted lime and the alkali solidified matrix.

The concentrations of heavy metals in the leachates were lower than the regulatory limit defined by the Ministry of Industry except for cadmium. It was found that the cadmium concentration in leachates extracted from the samples containing 50 wt% wastes and cured at room temperature and 40°C was higher than 1 mg/L. Leachability of heavy metals from the solidified wastes cured at various temperatures was very low due to the strong buffering capacity of the solidified wastes. It is

Table 5. Metal concentrations and leachate pHs after contacted with the solidified plating wastes

				Con	tion (r	ion (mg/L)			
BHA: Lime	Plating sludge	- FD	Cr	Cd	Zn	Fe	Cu	Ni	pН
(55:45)	(wt%)	5.0	5.0	1.0	5.0	-	2.0	-	
	0	0.65	0.29	0.38	0.53	0,36	0.20	0.26	12.3
Curing	10	0.67	0.31	0.47	0.56	0.91	0.21	0.28	12.3
regime I	30	0.69	0.31	0.78	0.60	1.25	0.24	0.28	12.2
	50	0.90	0.36	1.39	0.63	3.24	0.25	0.29	12.2
	0	0.66	0.28	0.30	0.53	bd	0.19	0.25	12.3
Curing	10	0.67	0.29	0.41	0.55	0.05	0.20	0.26	12.3
regime II	30	0.68	0.30	0.71	0.59	1.76	0.20	0.28	12.2
	50	0.83	0.34	1.31	0.60	2.70	0.23	0.28	12.2
	0	0.63	bd	0.28	0.50	bd	0.19	0.24	12.3
Curing	10	0.63	bd	0.38	0.52	bd	0.18	0.26	12.3
regime III	30	0.64	0.02	0.68	0.57	1,22	0.19	0.27	12.2
	50	0.78	0.05	0.83	0.57	2.39	0.21	0.28	12.2

Curing regime I : room temperature (30 - 32°C)

Curing regime II : 40°C for 1 day followed by room temperature Curing regime III : 50°C for 1 day followed by room temperature

bd = Below analytical detection limit

therefore notpossible to assess the effect of the elevated temperature curing on leachability of heavy metals from the solidified wastes.

Conclusion

- BHA consists of 94.5 wt% SiO₂ with a 28-day strength activity index of 95.4% of the control. The lime-BHA cement gained the highest rate of strength development when lime was added at 45 wt%.
- Lime-BHA cements cured at the elevated temperatures (40°C and 50°C) have higher strength at the early age. This is due to an increase of the solubility of monosilicate ion [SiO(OH)₃] from the surface of BHA and rapidly reacts with Ca²⁺ to form C-S-H gels.
- The elevated temperature curing has a significant influence on the later age strength of lime-BHA cements. The experimental results showed that the 91-day strength of lime-BHA cements cured at 40°C and 50°C was 65% and 63% of the control.
- 4. Addition of metal-containing waste to lime-BHA cement matrices caused strength reduction of lime-BHA cements. The strength decreased with increasing the amounts of waste loading. This could be partly resulted from the interfering effects of heavy metals on hydration reactions and the dilution effect on binder. However, concentration of heavy metals in leachates contacted with the solidified wastes meets the regulatory limit defined by the Ministry of Industry except for cadmium.

Acknowledgements

The authors would like to give special thanks to the Thailand Research Fund and the Siam City Cement Public Co. Ltd. for the financial support. The Commission on Higher Education, Ministry of Education also deserves acknowledgement for partial support to this work. The Department of Civil Engineering and Department of Civil Technology Education, Faculty of Engineering, KMUTT, deserved appreciation for providing access to their laboratories.

References

- Asavapisit, S., and Chotklang, D., (2004).
 Solidification of electroplating sludge
 using alkali-activated pulverizes fuel ash
 as cementitious binder. Cement and
 Concrete Research, 34:349-353.
- Asavapisit, S., Fowler, G., and Cheeseman, C.R. (1997). Solution chemistry during cement hydration in the presence of metal hydroxide wastes. Cement and Concrete Research, 27:1,249-1,260.
- Paya, J., Monzo, J., Borrachero, M.V., Peris-Mora, E., and Amahjour, F. (2000). Mechanical treatment of fly ashes Part IV: Strength development of ground fly ash-cement mortars cured at different temperature. Cement and Concrete Research, 30:543-551.
- Roy, D.M. (1999). Alkali-activated cements: opportunities and challenges. Cement and Concrete Research, 29:249-254.
- Shi, C., and Day, R.L. (1993a). Acceleration of strength gain of lime-pozzolan cements by thermal activation. Cement and Concrete Research, 23:824-832.
- Shi, C., and Day, R.L. (1993b). Chemical activation of blended cements made with lime and natural pozzolans. Cement and Concrete Research, 23:1,389-1,396.
- Shi, C., and Day, R.L. (2000a). Pozzolanic reaction in the presence of chemical activators Part I: Reaction kinetics. Cement and Concrete Research, 30:51-58.
- Shi, C., and Day, R.L. (2000b). Pozzolanic reaction in the presence of chemical activators Part II: Reaction products and mechanism. Cement and Concrete Research, 30:607-613.
- Shi, C., and Day, R.L. (2001). Comparison of different methods for enhancing reactivity of pozzolans. Cement and Concrete Research, 31:813-818.
- Shi, C., Wu, X., and Tang, M. (1991). Hydration of alkali-slag cements at 150°C. Cement and Concrete Research, 21:91-100.
- Wiles, C.C. (1987). A review of solidification/ stabilization technology. Journal Hazard Waste Material, 14:5-21.